



دانشکده صنعتی شهرود

دانشکده مهندسی مکانیک

پایان نامه کارشناسی ارشد

مهندسی مکانیک- طراحی کاربردی

## تحلیل ترمولاستیک کره های جدار ضخیم چرخان از مواد ناهمگن FG تحت فشار داخلی

یحیی بیات

اساتید راهنما:

دکتر مهدی قناد کهتویی

دکتر حمید رضا ایپک چی

شهریور ۱۳۹۰

بِسْمِ اللَّهِ الرَّحْمَنِ الرَّحِيمِ



دانشکده صنعتی شهرود

دانشکده مهندسی مکانیک

گروه طراحی جامدات

## تحلیل ترمولاستیک کره‌های جدار ضخیم چرخان از مواد ناهمگن FG تحت فشار داخلی

دانشجو: یحیی بیات

اساتید راهنما:

دکتر مهدی قناد کهتویی

دکتر حمید رضا ایپک چی

پایان نامه ارشد جهت اخذ درجه کارشناسی ارشد

شهریور ۹۰

# دانشگاه صنعتی شاهرود

دانشکده مکانیک

گروه طراحی جامدات

پایان نامه کارشناسی ارشد آقای یحیی بیات

تحت عنوان:

تحلیل ترمو الاستیک کردهای جدار ضخیم چرخان از مواد ناهمگن FG. تحت فشار

داخلی

در تاریخ ..... توسط کمیته تخصصی زیر جهت اخذ مدرک کارشناسی ارشد ارزیابی و با

درجہ ..... مورد پذیرش قرار گرفت.

امضاء	اساتید مشاور	امضاء	اساتید راهنما
	نام و نام خانوادگی :		دکتر مهدی قناد
	نام و نام خانوادگی :		دکتر حمید رضا ایپکچی

امضاء	نماینده تحصیلات تمکیلی	امضاء	اساتید داور
	نام و نام خانوادگی :		نام و نام خانوادگی : دکتر محمود شریعتی
			نام و نام خانوادگی : دکتر علیرضا شاطر زاده

**تقدیم به:**

او که همواره دعایش باعث آرامش و تسلى است.

**مادر عزیزم**

و او که حضورش انگیزه، و همواره حامی و مشوق من است.

**همسر عزیزم**

## تشکر و قدردانی:

سپاس خدای را که دریای بیکران علم و رحمت است. آفریدگار بی نیازی که به انسان قدرت تفکر و اندیشیدن و توانایی مهر ورزیدن ارزانی داشت. حال که مراحل انجام پروژه به اتمام رسیده است بر خود لازم می‌دانم که از همکاری، یاری و محبت کلیه‌ی کسانی که در انجام این تحقیق خصوصاً از زحمات بی‌دریغ، تلاش‌های بی‌وقفه و راهنمایی‌های ارزشمند اساتید گرامی جناب آقا دکتر مهدی فناد و دکتر حمید رضا ایپکچی در راستای انجام این پروژه در طول دو سال گذشته تشکر و قدردانی نمایم.

### یحیی بیات

دانشجوی کارشناسی ارشد گروه طراحی کاربردی،  
دانشکده مهندسی مکانیک، دانشگاه صنعتی شاهرود

شهریور ۱۳۹۰

دانشجو تأیید می نماید که مطالب مندرج در این پایان نامه نتیجه تحقیقات خودش می باشد و در صورت استفاده از نتایج دیگران مرجع آن را ذکر نموده است.

کلیه حقوق مادی مرتبط از نتایج مطالعات ، آزمایشات و نوآوری ناشی از تحقیق موضوع این پایان نامه متعلق به دانشگاه صنعتی شاهرود می باشد .

شهریور ۱۳۹۰

تحلیل ترمولاستیک کره‌های جدار ضخیم تو خالی تحت تاثیر بارگذاری‌های دورانی، مکانیکی و انتقال حرارت یک بعدی در این پایان نامه انجام شده است. خواص مواد به صورت توانی در راستای شعاعی تغییر کند و ضریب پواسون ثابت باشد. همچنین توزیع دما به صورت تابعی از شعاع در نظر گرفته شده است. در تحلیل ارائه شده با تعریف اثر ناهمگنی به صورت یک پارامتر بی‌بعد  $n_i$  که می‌تواند مقداری دلخواه باشد حل تحلیلی ناویر برای سه حالت ریشه‌های حقیقی، مضاعف و مختلط به طور مجزا ارائه شده و توزیع تنش و جابجایی به صورت روابطی مجزا استخراج شده است. علاوه بر این، حل ترمولاستیک کره‌های FGM<sup>۱</sup> در دو حالت ارائه شده است. موارد بارگذاری فشاری و دمایی به طور مجزا و ترکیبی مورد مطالعه قرار گرفته است. با استفاده از روش المان محدود، دو روش تحلیلی و عددی در شرایط بارگذاری دمایی و فشاری با یکدیگر مقایسه شده است. که تطبیق مناسبی میان دو روش فوق مشاهده شده است. در مرحله‌ی بعد، بارگذاری دورانی با استفاده از روش المان محدود بررسی شده است. در انتهای بارگذاری دمایی، فشاری و دورانی با استفاده از روش المان محدود به صورت مجزا و ترکیبی بررسی شده است. مشاهده شده است که در بارگذاری دورانی کره تقارن خود را در راستای نصف‌النهاری از دست داده و توزیع تنش و جابجایی توابعی پریودیک می‌باشدند. همچنین ثابت ناهمگنی  $n_i$  پارامتر بسیار مهمی در کنترل تنش در این سازه‌ها می‌باشد به طوری با استفاده از آن می‌توان توزیع تنش را در یک راستای دلخواه بهینه کرد. علاوه بر این، با مقایسه میان سه نوع بارگذاری مشاهده شده است که اصل جمع آثار در این بارگذاری‌ها صادق می‌باشد.

### واژگان کلیدی: FGM، کره‌ی جدار ضخیم، ترمولاستیک، المان محدود، کره‌ی چرخان

---

<sup>۱</sup> Functionally Graded Materials

## لیست مقالات مستخرج از پایان نامه

[1] Bayat, Y., Ghannad, M., Torabi, H., (2011). "Analytical and Numerical Analysis for the FGM Thick Sphere under Combined Pressure and Temperature Loading" **Arch Appl Mech.**, DOI 10.1007/s00419-011-0552-x.

[۲] بیاتی، فنادی، بوژمهرانی، (۱۳۹۰). "تحلیل تئوری و عددی کره‌های جدار ضخیم تحت فشار از مواد ناهمگن"،

نوزدهمین کنفرانس سالانه مهندسی مکانیک ایران، جلد دوم، ص ۵۹، بیرجند

## فهرست مطالب

عنوان ..... صفحه

<i>Error! Bookmark not defined.</i>	فهرست علایم و نشانه‌ها
۱	فصل ۱- مروری بر تحلیل پوسته‌ها
۲	۱-۱- مقدمه
۲	۲-۱- دسته بندی پوسته‌ها
۴	۳-۱- تئوری پوسته‌ها
۵	۴-۱- کاربرد پوسته‌های کروی
۹	۵-۱- معرفی چند روش ساخت پوسته‌های کروی
۱۰	۶-۱- مواد FG
۱۲	۷-۱- پیشینه‌ی پژوهش
۱۶	۸-۱- معرفی پایان نامه‌ی حاضر
۱۸	۲- تحلیل الاستیک پوسته‌های کروی FG
۱۹	۱-۲- مقدمه
۱۹	۲-۲- روابط اساسی در دستگاه مختصات کروی
۲۱	۳-۲- تحلیل ریاضی پوسته‌های کروی همگن
۲۴	۴-۲- تحلیل ریاضی پوسته‌های کروی FGM
۳۱	۲-۴-۲- حالت‌های خاص
۳۲	۵-۲- تحلیل عددی پوسته‌های کروی FGM
۳۳	۱-۵-۲- تعیین تعداد لایه‌ها و مشبندی بهینه
۳۵	۶-۲- مطالعه‌ی موردی
۴۲	۷-۲- بررسی توزیع تنیش موثر در مواد FG
۴۵	۸-۲- بررسی دقیق المان محدود در تحلیل مواد با بارگذاری مکانیکی
۴۷	۳- تحلیل ترمومالاستیک پوسته‌ی کروی FG
۴۸	۱-۳- مقدمه
۴۸	۲-۳- تحلیل ریاضی پوسته‌های کروی همگن
۵۲	۳-۳- فرمول بندی ترمومالاستیک پوسته‌های کروی
۵۳	۴-۳- انتقال حرارت هدایتی یکنواخت یک بعدی
۵۵	۵-۳- حل معادله‌ی ناویر در پوسته‌های کروی FGM
۶۰	۶-۳- تحلیل عددی ترمومالاستیک پوسته‌های کروی FGM

۶۱	۷-۳- مطالعه‌ی موردی
۷۲	۸-۳- بررسی توزیع تنش موثر در مواد FG
۷۶	۹-۳- بررسی دقت المان محدود در تحلیل مواد FGM با بارگذاری مکانیکی
۷۹	فصل ۴- تحلیل الاستیک پوسته‌های کروی چرخان FGM
۸۰	۱-۴- مقدمه
۸۰	۲-۴- فرمول بندی کره‌های چرخان FGM
۸۲	۳-۴- تحلیل المان محدود
۸۳	۴-۴- بحث و مطالعه‌ی موردنی
۹۰	۵-۴- بررسی توزیع تنش موثر در مواد FG
۹۱	فصل ۵- تحلیل ترمومالاستیک کره‌های جدار ضخیم چرخان FGM
۹۲	۱-۵- مقدمه
۹۲	۲-۵- فرمول بندی کره‌های چرخان FGM
۹۴	۳-۵- تحلیل المان محدود
۹۵	۴-۵- بحث و مطالعه‌ی موردنی
۱۰۱	فصل ۶- نتیجه‌گیری و پیشنهادها
۱۰۲	۱-۶- مقدمه
۱۰۲	۲-۶- نتیجه‌گیری
۱۰۴	۳-۶- پیشنهادها
۱۰۵	مراجع

## فهرست شکل‌ها

عنوان.....	صفحه.....
شکل ۱-۱: کاربرد پوسته‌های کروی در جمجمه‌ی سر انسان.....	۶
شکل ۱-۲: زمین به عنوان یک کره‌ی دوار.....	۶
شکل ۱-۳: کاربرد کره در صنایع نفت و گاز و پتروشیمی .....	۶
شکل ۱-۴: کاربرد ترکیب پوسته‌های کروی و استوانه‌ای در صنایع نفت و گاز و پتروشیمی.....	۷
شکل ۱-۵: کاربرد در طراحی ایوان و طاق در ساختمان‌ها.....	۷
شکل ۱-۶: کاربرد در سازه‌های پیشرفته.....	۸
شکل ۱-۷: کاربرد مخازن کروی دوار در ماشینهای پرنده.....	۸
شکل ۱-۸: مخزن ساخته شده به روش شکل‌دهی انفجاری.....	۹
شکل ۱-۹: تنش‌های یک المان در مختصات کروی.....	۱۹
شکل ۲-۱: مختصات کروی.....	۲۲
شکل ۲-۲: نوع المان انتخاب شده.....	۳۳
شکل ۲-۳: ناحیه‌ی مشبندی نیم کره .....	۳۴
شکل ۲-۴: تغییرشکل و توزیع تنش فن میزس در کره‌ی FGM تحت فشار داخلی .....	۳۵
شکل ۲-۵: تغییرات تنش شعاعی در امتداد ضخامت جداره ( $p_i = p; p_o = 0$ ) .....	۳۶
شکل ۲-۶: تغییرات تنش محیطی در طول ضخامت جداره ( $p_i = p; p_o = 0$ ) .....	۳۶
شکل ۲-۷: تغییرات جابجایی شعاعی در امتداد ضخامت جداره ( $p_i = p; p_o = 0$ ) .....	۳۷
شکل ۲-۸: تغییرات جابجایی شعاعی در امتداد ضخامت جداره ( $p_i = 0; p_o = p$ ) .....	۳۸
شکل ۲-۹: تغییرات تنش شعاعی در امتداد جداره ( $p_i = 0; p_o = p$ ) .....	۳۹
شکل ۲-۱۰: تغییرات تنش محیطی در امتداد جداره ( $p_i = 0; p_o = p$ ) .....	۴۰
شکل ۲-۱۱: تغییرات جابجایی در امتداد جداره ( $p_i = 0; p_o = p$ ) .....	۴۱
شکل ۲-۱۲: تغییرات تنش شعاعی در امتداد جداره ( $p_i = p; p_o = p$ ) .....	۴۱
شکل ۲-۱۳: تغییرات تنش محیطی در امتداد جداره ( $p_i = p; p_o = p$ ) .....	۴۱

- شکل ۲-۱۴: تغییرات جابجایی در امتداد جداره ( $p_i = p$ ;  $p_o = p$ ) ..... ۴۲
- شکل ۲-۱۵: تغییرات تنش فن میزس در امتداد جداره ( $p_i = p$ ;  $p_o = 0$ ) ..... ۴۳
- شکل ۲-۱۶: تغییرات تنش فن میزس در امتداد جداره ( $p_i = 0$ ;  $p_o = p$ ) ..... ۴۴
- شکل ۲-۱۷: تغییرات تنش فن میزس در امتداد جداره ( $p_i = p_o = p$ ) ..... ۴۴
- شکل ۳-۱: نمایش هندسه کره جدار ضخیم ..... ۴۸
- شکل ۳-۲: تغییرشکل جداره و توزیع تنش فن میزس در کره‌ی FGM تحت فشار داخلی و انتقال حرارت پایدار ..... ۶۰
- شکل ۳-۳: تغییرات تنش شعاعی در امتداد جداره کره تحت انتقال حرارت ( $p_i = 0$ ;  $p_o = 0$ ) ..... ۶۲
- شکل ۳-۴: تغییرات تنش محیطی در امتداد جداره کره تحت انتقال حرارت ( $p_i = 0$ ;  $p_o = 0$ ) ..... ۶۲
- شکل ۳-۵: تغییرات جابجایی شعاعی در امتداد جداره کره تحت انتقال حرارت ( $p_i = 0$ ;  $p_o = 0$ ) ..... ۶۳
- شکل ۳-۶: تغییرات دما در امتداد جداره کره تحت انتقال حرارت ( $p_i = 0$ ;  $p_o = 0$ ) ..... ۶۳
- شکل ۳-۷: تغییرات تنش شعاعی در امتداد ضخامت کره تحت انتقال حرارت ( $p_i = p$ ;  $p_o = 0$ ) ..... ۶۵
- شکل ۳-۸: تغییرات تنش محیطی در امتداد ضخامت کره تحت انتقال حرارت ( $p_i = p$ ;  $p_o = 0$ ) ..... ۶۶
- شکل ۳-۹: تغییرات جابجایی شعاعی در امتداد ضخامت کره تحت انتقال حرارت ( $p_i = p$ ;  $p_o = 0$ ) ..... ۶۶
- شکل ۳-۱۰: تغییرات تنش شعاعی در امتداد جداره کره تحت انتقال حرارت ( $p_o = p$ ,  $p_i = 0$ ) ..... ۶۸
- شکل ۳-۱۱: تغییرات تنش محیطی درامتداد جداره کره تحت انتقال حرارت ( $p_o = p$ ,  $p_i = 0$ ) ..... ۶۸
- شکل ۳-۱۲: تغییرات جابجایی شعاعی درامتداد جداره کره تحت انتقال حرارت ( $p_o = p$ ,  $p_i = 0$ ) ..... ۶۹
- شکل ۳-۱۳: تغییرات تنش شعاعی در امتداد جداره کره تحت انتقال حرارت ( $p_o = p_i = p$ ) ..... ۷۰
- شکل ۳-۱۴: تغییرات تنش محیطی در امتداد جداره کره تحت انتقال حرارت ( $p_o = p_i = p$ ) ..... ۷۱
- شکل ۳-۱۵: جابجایی شعاعی در امتداد جداره کره تحت انتقال حرارت ( $p_o = p_i = p$ ) ..... ۷۱
- شکل ۳-۱۶: تغییرات تنش فن میزس  $\sigma_{eff}$  در امتداد جداره کره تحت انتقال حرارت ( $p_i = p_o = 0$ ) ..... ۷۳
- شکل ۳-۱۷: تغییرات تنش فن میزس در امتداد جداره کره تحت انتقال حرارت ( $p_i = p$ ;  $p_o = 0$ ) ..... ۷۳
- شکل ۳-۱۸: تغییرات تنش فن میزس در امتداد جداره کره تحت انتقال حرارت ( $p_i = 0$ ;  $p_o = p$ ) ..... ۷۴

شکل ۳-۱: تغییرات تنفس فن میزس در امتداد جداره کره تحت انتقال حرارت ( $p_i = p_o = p$ )	۷۴
شکل ۴-۱: مختصات کروی	۸۱
شکل ۴-۲: تغییرات تغییرشکل و توزیع تنفس فن میزس در کره‌ی چرخان FGM تحت فشار داخلی	۸۳
شکل ۴-۳: تغییرات تنفس شعاعی در راستای ضخامت برای $\phi = \pi/4$	۸۴
شکل ۴-۴: تغییرات تنفس نصفالنهاری در راستای ضخامت برای $\phi = \pi/4$	۸۴
شکل ۴-۵: تغییرات تنفس محیطی در راستای ضخامت برای $\phi = \pi/4$	۸۵
شکل ۴-۶: تغییرات تنفس برشی در راستای ضخامت برای $\phi = \pi/4$	۸۵
شکل ۴-۷: تغییرات جابجایی شعاعی در راستای ضخامت برای $\phi = \pi/4$	۸۶
شکل ۴-۸: تغییرات جابجایی نصفالنهاری در راستای ضخامت برای $\phi = \pi/4$	۸۶
شکل ۴-۹: تغییرات تنفس شعاعی و نصفالنهاری برای $n=1$	۸۷
شکل ۴-۱۰: تغییرات تنفس برشی و محیطی برای $n=1$	۸۸
شکل ۴-۱۱: تغییرات جابجایی شعاعی و نصفالنهاری برای $n=1$	۸۸
شکل ۴-۱۲: تغییرات تنفس فن میزس (کره‌ی چرخان تحت فشار داخلی) برای $n=1$	۹۰
شکل ۵-۱: مختصات کروی	۹۲
شکل ۵-۲: تغییرشکل و توزیع تنفس فن میزس در کره‌ی چرخان FGM تحت فشار داخلی و انتقال حرارت پایدار	۹۵
شکل ۵-۳: تغییرات تنفس شعاعی در راستای ضخامت برای $\phi = \pi/4$	۹۶
شکل ۵-۴: توزیع تنفس نصفالنهاری در راستای ضخامت برای $\phi = \pi/4$ (کره‌ی چرخان تحت فشار و دما)	۹۶
شکل ۵-۵: توزیع تنفس محیطی در راستای ضخامت برای $\phi = \pi/4$ (کره‌ی چرخان تحت فشار و دما)	۹۷
شکل ۵-۶: تغییرات تنفس برشی در راستای ضخامت برای $\phi = \pi/4$ (کره‌ی چرخان تحت فشار و دما)	۹۷
شکل ۵-۷: توزیع جابجایی شعاعی در راستای ضخامت برای $\phi = \pi/4$ (کره‌ی چرخان تحت فشار و دما)	۹۸
شکل ۵-۸: جابجایی نصفالنهاری در راستای ضخامت برای $\phi = \pi/4$ (کره‌ی چرخان تحت فشار و دما)	۹۸
شکل ۵-۹: تغییرات تنفس شعاعی و نصفالنهاری برای $n=1$ (کره‌ی چرخان تحت فشار و دما)	۹۹

شكل ۱۰-۵: تغییرات تنفس برشی و محیطی برای  $n=1$  (کره‌ی چرخان تحت فشار و دما) ۱۰۰

شكل ۱۱-۵: تغییرات جابجایی شعاعی و نصفالنهاری برای  $n=1$  (کره‌ی چرخان تحت فشار و دما) ۱۰۰

## فهرست جداول

عنوان.....	صفحة.....
جدول ۱-۱-تاریخچه‌ی بررسی پوسته‌های کروی و استوانه‌ای .....	۱۵
جدول ۱-۲ : تنش محیطی یک نقطه با هدف تعیین تعداد لایه‌ها و اندازه مش بهینه.....	۳۳
جدول ۳-۱: مقایسه‌ی نتایج تحلیلی و المان محدود برای $n = 1$ کره تحت انتقال حرارت .....	۷۷
جدول ۳-۲: مقایسه‌ی نتایج تحلیلی و المان محدود برای $n = 1$ .....	۷۷
جدول ۵-۱- نتایج عددی تحلیل کرده در لایه‌های داخلی، میانی و خارجی برای $n = 1$ .....	۸۹

## فهرست علایم و نشانه‌ها

عنوان	..... علامت اختصاری
تنش شعاعی	$\sigma_r$
تنش محیطی	$\sigma_\theta$
تنش نصف النهاری	$\sigma_\phi$
تنش موثر	$\sigma_{eff}$
مولفه‌های تنش برشی	$\tau_{r\theta}, \tau_{r\phi}, \tau_{\theta\phi}$
کرنش شعاعی	$\epsilon_r$
کرنش محیطی	$\epsilon_\theta$
کرنش نصف النهاری	$\epsilon_\phi$
مولفه‌های کرنش برشی	$\gamma_{r\theta}, \gamma_{r\phi}, \gamma_{\theta\phi}$
جابجایی بی‌بعد شعاعی	$u_r$
جابجایی بی‌بعد محیطی	$u_\theta$
جابجایی نصف النهاری	$u_\phi$
مختصات شعاعی	$R$
مختصات شعاعی بی‌بعد	$r$
شعاع داخلی	$a$
شعاع خارجی	$b$
ضریب پواسون	$v$
مدول الاستیسیته	$E$
ضریب انبساط حرارت	$\alpha$
ضریب انتقال حرارت هدایتی	$\lambda$
دانسیته	$\rho$
مدول الاستیسیته در جدار داخلی	$E_i$
ضریب انبساط حرارتی در جدار داخلی	$\alpha_i$
ضریب انتقال حرارت هدایتی در جدار داخلی	$\lambda_i$
دانسیته در جدار داخلی	$\rho_i$
ثابت‌های ناهمگنی	$n_1, n_2, n_3, n_4$
فشار داخلی	$p_i$
فشار خارجی	$p_o$
تغییرات دما نسبت به دمای مرجع	$\Theta$

$T_i$	دماي داخلی
$T_o$	دماي خارجي
$\omega$	سرعت زاويه اي
$c_1, c_2, \dots, c_6$	ثابت هاي انتگرال گيري

## فصل ۱

مرواری بر تحلیل پوسته‌ها

## ۱-۱ - مقدمه

پوسته‌ها به طور کلی، سازه‌های خمیده هستند که از لحاظ رفتاری در برابر نیروها و لنگرهای وارد شده، از مطلوبیت ویژه‌ای برخوردار هستند. مطالعه‌ی این رفتارها از گذشته‌ی نه چندان دور تا به امروز مورد توجه دانشمندان زیادی قرار گرفته و به دلیل فراوانی کاربرد، همچنان ادامه دارد.

در این فصل ابتدا با دسته‌بندی پوسته‌ها مروری گذرا به تئوری‌هایی که تاکنون برای تحلیل پوسته‌ها ارائه شده است، انجام می‌شود. سپس به کاربردهای پوسته‌ها از جمله پوسته‌های کروی در زمینه‌های مختلف پرداخته می‌شود. در گام بعدی با بررسی چند روش معمول ساخت پوسته‌های کروی به معایب و مزایای آنها ارائه می‌شود. سپس با معرفی مواد ناهمگن یا FGM مروری بر کارهای پژوهشی که تاکنون در زمینه‌ی پوسته‌ها علی‌الخصوص پوسته‌های کروی انجام شده‌است خواهد شد. و در انتها با مشخص نمودن اهداف کلی این تحقیق روش مطالعه و نوآوری‌های آن معرفی می‌شوند.

## ۲-۱ - دسته‌بندی پوسته‌ها [۱]

الف) از دیدگاه هندسی پوسته‌ی حاصل از انتقال (شامل ورق‌ها و...): از انتقال یک منحنی یا یک سطح مادی در امتداد خط راست خارج از صفحه‌ی قوس، حاصل می‌شود.

پوسته‌ی حاصل از دوران (شامل استوانه و کره‌ها و...): از دوران یک منحنی یا یک سطح مادی حول محور واقع در صفحه‌ی قوس، حاصل می‌شود.

پوسته‌ی جدار نازک: پوسته‌ای که نسبت ضخامت به شعاع انحنای سطح میانی آن کوچکتر از  $\frac{1}{20}$  باشد.

پوسته‌ی جدار ضخیم: پوسته‌ای که نسبت ضخامت به شعاع انحنای سطح میانی آن بزرگتر از  $\frac{1}{20}$  باشد.

ب) از دیدگاه مادی:

پوسته‌های همگن<sup>۱</sup>: در این نوع پوسته‌ها خواص مکانیکی ماده‌ی پوسته در نقاط مختلف جسم

یکسان است و تابع موقعیت نقاط نمی‌باشد.

پوسته‌های ناهمگن<sup>۲</sup>: در این نوع پوسته‌ها خواص مکانیکی ماده‌ی پوسته در نقاط مختلف جسم

یکسان نیست و تابع موقعیت نقاط می‌باشد.

پوسته‌های همسانگرد: در این نوع پوسته‌ها خواص مکانیکی ( $E, v$ ) ماده‌ی پوسته در جهات مربوط

به هر نقطه یکسان است.

پوسته‌های نا همسانگرد: در این نوع پوسته‌ها خواص مکانیکی ( $E, v$ ) ماده‌ی پوسته در جهات

مربوط به هر نقطه یکسان نیست.

ج) از دیدگاه رفتاری :

تغییر شکل کوچک<sup>۳</sup>: جابجایی هر نقطه از پوسته بین شرایط بارگذاری و باربرداری کوچک است،

(رفتار خطی از نظر هندسی).

تغییر شکل بزرگ<sup>۴</sup>: جابجایی هر نقطه از پوسته بین شرایط بارگذاری و باربرداری کوچک نیست،

(رفتار غیر خطی از نظر هندسی).

پوسته با رفتار کشسان: تغییر شکل‌ها بازگشت‌پذیرند و روابط تنش-کرنش از قانون عمومی هوک

پیروی می‌کنند، (رفتار خطی از نظر مادی).

پوسته با رفتار موسمان: تغییر شکل‌ها بازگشت ناپذیرند و روابط تنش-کرنش از قانون عمومی

هوک پیروی نمی‌کنند، (رفتار غیرخطی از نظر مادی).

---

<sup>1</sup>Homogeneous shells

<sup>2</sup>Inhomogeneous shells

<sup>3</sup>Small deflection

<sup>4</sup>Large deflection

### ۳-۱- تئوری پوسته ها [۱]

روش های تحلیلی تقریبی موجود برای تحلیل پوسته ها بر اساس فرضیاتی است که تئوری پوسته ها را تشکیل می دهند. تا کنون چندین تئوری برای تحلیل پوسته ها ارائه شده است. که می توان به صورت زیر تقسیم کرد:

#### الف- تئوری پوسته های نازک

برای پوسته های جدار نازک سه نوع تحلیل ارائه شده است.

- تئوری با تقریب مرتبه صفر (تئوری غشایی)
- تئوری با تقریب مرتبه یک (تئوری خمسی)
- تئوری با تقریب مرتبه دو (تئوری فلوگه<sup>۱</sup>)

#### ب- تئوری پوسته های جدار ضخیم

برای پوسته های جدار ضخیم دو نوع تحلیل ارائه شده است.

##### ۱- تئوری کلاسیک (تئوری الاستیسیته میستوی<sup>۲</sup>)

مبنا این تئوری اولین بار توسط لامه<sup>۳</sup> در ۱۸۵۲ پایه گذاری شد [۲]. در تئوری الاستیسیته میستوی، فرض می شود که مقاطع میستوی عمود بر محور مرکزی استوانه پس از اعمال فشار و تغییر شکل، همچنان میستوی و عمود بر محور استوانه باقی بمانند. در حقیقت کرنش برشی و تنفس برشی صفر در نظر گرفته می شود. در این تئوری مقاطع پس از بارگذاری همچنان میستوی و عمود باقی می مانند.

##### ۲- تئوری تغییر شکل برشی

<sup>1</sup> Flügge

<sup>2</sup> Plane Elasticity Theory(PET)

<sup>3</sup> Lame

نقدی<sup>۱</sup> در سال ۱۹۵۶ جزو نخستین کسانی می‌باشد که در این زمینه مطالعه کرده است[۳]. در این تئوری مقاطع مستوی و عمود بر سطح میانی پس از تغییر شکل الزاماً عمود باقی نمی‌مانند. لذا این تئوری را می‌توان به صورت زیر تقسیم بندی کرد.

تئوری تغییر شکل برشی مرتبه‌ی صفر: در این تئوری مقاطع مستوی و عمود بر سطح میانی پس از تغییر شکل عمود باقی می‌مانند، (در واقع همان تئوری الاستیسیته‌ی مستوی).

تئوری تغییر شکل برشی مرتبه‌ی یک: در این تئوری مقاطع مستوی پس از تغییر شکل مستوی باقی می‌مانند. اما بر سطح میانی عمود باقی نخواهند ماند.

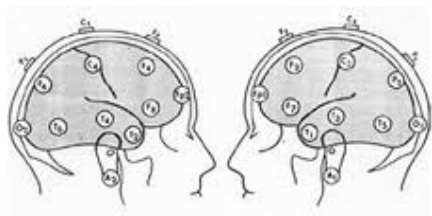
تئوری تغییر شکل برشی مرتبه‌ی دو و بالاتر: در این تئوری مقاطع مستوی و عمود بر سطح میانی، پس از تغییر شکل عمود باقی نمی‌مانند. به عبارت دیگر، مقاطع مستوی پس از تغییر شکل، راست و عمود بر سطح میانی باقی نمی‌مانند.

#### ۴-۱- کاربرد پوسته‌های کروی [۴]

از میان پوسته‌ها، پوسته‌های استوانه‌ای و کروی بدلیل کاربردهای فراوانی که در زمینه‌های مختلف مهندسی و صنعت از قبیل زیردریایی‌ها، صنایع نظامی، کاربردهای ماوراء زمینی، سیلوها، لوله‌های نمونه بردار<sup>۲</sup> در کاربردهای عمرانی و راکتورهای تحت فشارآب و ... دارند، دارای اهمیت ویژه‌ای می‌باشند. خصوصاً کاربرد پوسته‌های کروی در صنعت و حتی در طبیعت کاملاً محسوس می‌باشد. به عنوان چند نمونه طبیعی می‌توان به هندسه‌ی کروی جمجمه‌ی انسان در شکل(۱-۱)، هندسه‌ی کروی سیارات و ستاره‌ها در شکل(۲-۱) و حتی پوسته‌ی سخت لاکپشت‌هاو... اشاره کرد. در کاربردهای صنعتی، مخازن کروی از جمله تجهیزات ذخیره‌سازی سیالات بوده که در صنایع مختلف کاربرد فراوانی پیدا نموده است.

<sup>1</sup> Naghdi

<sup>2</sup> Core barrels



شکل ۱-۱: کاربرد پوسته های کروی در جمجمه ای سر انسان



شکل ۱-۲: زمین به عنوان یک کره ای دوار



شکل ۱-۳: کاربرد کره در صنایع نفت و گاز و پتروشیمی

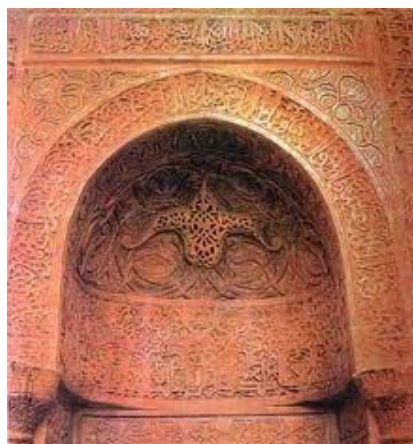
شکل هندسی مناسب آن در تحمل فشارهای بالا از یک سو و نحوه ساخت آن از سوی دیگر کاربری این تجهیزات را تحت الشعاع قرار می دهد.

در صنایع نفت و گاز و پتروشیمی مخازن کروی (شکل‌های ۱-۳ و ۱-۴) از اهمیت ویژه‌ای برخوردار هستند. ذخیره سازی گاز دردمای محیط تنها به روش متراکم سازی و مایع نمودن در فشار بالا امکان پذیر می باشد و مخازن کروی به دلیل هندسه مناسب قادر به تحمل این فشارهای بالا می باشند. در برخی موارد می توان از ترکیب پوسته‌های استوانه‌ای و کروی نیز استفاده کرد. به عنوان مثال در شکل (۱-۴) از ترکیب پوسته‌های کروی و استوانه‌ای در طراحی مخازن گاز استفاده شده است.



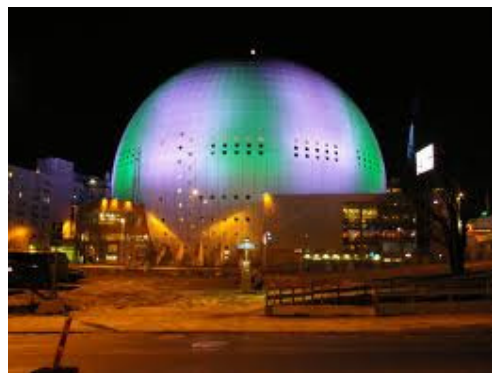
شکل ۱-۴: کاربرد ترکیب پوسته‌های کروی و استوانه‌ای در صنایع نفت و گاز و پتروشیمی

در صنایع ساختمانی نیز از شکل هندسی کره در توزیع مناسب نیروهای حجمی حاصل از وزن سازه در گنبدها، طاق‌ها و... بسیار استفاده می‌شود.



شکل ۱-۵: کاربرد در طراحی ایوان و طاق در ساختمان‌ها

حتی امروزه نیز مهندسین از این ویژگی هندسی کره در توزیع مناسب نیروهای حجمی در طراحی ساختمان‌ها بهره می‌برند.



شکل ۱-۶: کاربرد در سازه‌های پیشرفته

کره‌های چرخان نیز در کاربردهای مختلف از اهمیت ویژه‌ای برخوردار هستند. بررسی تغییر شکل سیاره‌ها از جمله کره‌ی زمین در اثر دوران توسط بسیاری از دانشمندان مورد بررسی قرار گرفته است [۶، ۵]. اخیراً مهندسان از مخازن کروی چرخان ساخته شده از مواد کامپوزیتی با سرعت‌های دورانی بالا در ماشین‌های پرنده استفاده کرده‌اند که وزن آن از بسیاری از ماشین‌های پرنده کمتر و قابلیت عمود پرواز بودن را دارد (شکل ۱-۷).



شکل ۱-۷: کاربرد مخازن کروی دوار در ماشین‌های پرنده

## ۱-۵- معرفی چند روش ساخت پوسته های کروی [۴]

روش متداول ساخت مخازن کروی به صورت شکل دهی ورق های فولادی و برشکاری و مونتاژ و جوشکاری می باشد. شکل دهی ورق معمولاً به وسیله دستگاههای پرس و استفاده از قالب های سنگین که دارای انحنای مناسب می باشد، صورت می گیرد. پس از فرم دهی ورق ها، اقدام به برش ورق های شکل داده شده، جهت مونتاژ به یکدیگر می شود. به علت شکل کروی قطعات لبه ورق ها بایستی به صورت منحنی برش و پخ مناسب اعمال شود. این عملیات بسیار زمان بر و پر هزینه می باشد. در مخازن کروی با ضخامت بالا پس از اتمام مونتاژ و جوشکاری عملیات حرارتی به صورت درجا بر روی مخزن انجام می شود.

دیگر روش تولید این نوع مخازن روش انفجاری می باشد. در این روش که بر مبنای شکل دهی انفجاری می باشد، شکل دهی ورق ها نسبت به حالت قبل ساده تر بوده و حداقلتر به صورت قطعات مخروطی مخزن کروی پیش فرم آماده می گردد. سپس با کمک انفجاری کنترل شده بدون نیاز به قالب مخزن به شکل کره کامل در می آید.



شکل ۱-۸: مخزن ساخته شده به روش شکل دهی انفجاری

مزایای این روش را می‌توان به شرح زیر برشمرد:

- ۱- کاهش مراحل و زمان ساخت
- ۲- کاهش هزینه تمام شده
- ۳- عدم نیاز به عملیات حرارتی
- ۴- کاهش و سهولت عملیات جوشکاری
- ۵- امکان ساخت مخازن به صورت چند جداره
- ۶- ساخت مخازن با ضخامت کم که به روش متداول امکان پذیر نمی‌باشد(کمتر از ۵ میلیمتر)

## ۶-۱ مواد FG

مواد FG اولین بار در سال ۱۹۸۴ توسط دانشمندان هوا فضای ژاپن مطرح شد [۷]، و از سال ۱۹۸۶ مطالعات امکان‌سنجی تولید این مواد در ژاپن شروع شد. سازه‌هایی که از مواد تابعی ساخته می‌شوند، عموماً دارای بدنه‌ای ناهمگن از دو جنس متفاوت می‌باشند که به صورت کاملاً پیوسته با یکدیگر ترکیب شده‌اند، به طوری که در صد تغییرات حجمی این دو نسبت به هم در سازه می‌تواند به طور کاملاً یکنواخت تغییر کند. در اکثر موارد خواص مکانیکی بین دو فاز فلزی و سرامیک تغییر می‌کنند. سرامیک در یک FGM نوعی عایق حرارتی می‌باشد، و از خوردگی و اکسیده شدن فلز جلوگیری می‌کند، در حالی که این مواد با ترکیب فلزی‌شان از استحکام بالایی نیز برخوردار می‌باشند. در نتیجه این مواد قابلیت مقاومت در گرادیان‌های بالای حرارتی بدون خرابی و شکست در سازه را دارا می‌باشند. این ویژگی به خصوص در فرآناوری‌ها و علوم مربوط به آن اهمیت ویژه‌ای دارد. در این میان استفاده از مواد FG در طراحی و ساخت پوسته‌های کروی و استوانه‌ای مورد توجه بسیاری از مهندسین و دانشمندان قرار گرفته است.

در مقایسه با مواد همگن (ایزوتروب‌ها) و مواد ناهمسانگرد (کامپوزیت‌ها)، مواد ناهمگن FG دارای ویژگی‌هایی به شرح زیر می‌باشند:

۱- مقاومت زیاد در برابر گرadiان دمایی بالا. در حقیقت این گونه مواد با کاهش تنش های حرارتی،

آثار منفی آنها را به نحو قابل توجهی کاهش می دهند. در واقع به کمک مواد FG می توان در مناطقی که تنش های حرارتی به حالت بحرانی می رسند، آنها را کنترل کرد به طوری که این تنشها کاهش یابند. این فرایند ممکن است با تغییرات خواص ترمومکانیکی ماده به طور پیوسته در این مناطق، به نحوی که بتواند تنش های حرارتی را تحمل کند، باشد.

۲- مقاومت زیاد در برابر بارهای مکانیکی بالا. به کمک مواد FG می توان استحکام مواد را افزایش

داد تا از ورود اجسام به ناحیه مومسان و حتی شکست تا حدود زیادی جلوگیری شود.

۳- یکی از مهم ترین ویژگی هایی مواد FG کاهش تمرکز تنش در اجسام جامد است. در بسیاری

از اجسام به دلیل وجود شکل های خاص هندسی، تمرکز تنش در برخی از نقاط جسم ایجاد می شود، مانند لبه های جسم و نزدیکی سوراخ ها و گشودگی ها. به کمک مواد FG می توان آثار تمرکز تنش را به نحو چشم گیری کاهش داد. این فرایند ممکن است با تقویت خواص مکانیکی لایه هایی که در مجاورت مناطق بحرانی می باشند، به طور پیوسته صورت گیرد.

۴- بهترین ترکیب برای تغییر خواص ماده که مانع ایجاد با رشد ترک شود، مواد FG است.

۵- اگر پوشش ترد بر روی مواد نرم به صورت لایه های جدا انجام شود، احتمال جدا شدن لایه های ترد بسیار زیاد است. به کمک مواد FG، این کار با تغییرات پیوسته و تدریجی انجام می پذیرد.

۶- تغییرات تدریجی خواص در ساختار مواد FG موجب استحکام بین لایه های مختلف آن می-

شود. درصورتی که در کامپوزیتها، تداخل بین ساختارهای زمینه و الیاف، نوعی ناهمانگی در خواص مکانیکی ایجاد می کند. به عنوان مثال هنگامی که مواد کامپوزیت در معرض بارهای حرارتی بالا قرار می گیرند، ترک، ابتدا در مرز زمینه و الیاف ایجاد و سپس در لایه ها و مقاطع ضعیف داخل زمینه و الیاف منتشر می شود. در مواد FG به دلیل پیوستگی موجود در خواص مکانیکی، حرارتی و مغناطیسی، تنش ها و گرادیان آنها حالت پیوسته های پیدا می کنند که باعث استحکام ماده می شوند.

ساخت مخازن FGM از ترکیب مواد مختلف با استفاده از روش متالورژی پودر می‌باشد. به عنوان مثال یک پروسه‌ی ساختی که می‌توان این روش را بکار برد استفاده از نیروی گریز از مرکز در ساخت مخزن می‌باشد که در آن درصد حجمی مواد مختلف در افشاننده به طور یکنواخت تغییر می‌کند.

## ۷-۱ - پیشینه‌ی پژوهش

بدلیل کاربردهایی که در بخش قبل بیان شد، مطالعه برروی توزیع تنش در یک پوسته‌ی کروی از اهمیت ویژه‌ای برخوردار است. اولین بار لامه در سال ۱۸۵۲ با استفاده از تئوری الاستیسیته‌ی مستوی، حل دقیق پوسته‌های استوانه‌ای همگن را تحت فشار یکنواخت ارائه کرد[۸]. هوپکینسون<sup>۱</sup> در ۱۸۷۹ تنش‌های حرارتی در یک کره ایزوتrop را بدست آورد[۹]. چوانک<sup>۲</sup> و همکارانش در ۱۹۷۴ استفاده از تئوری اصلاح شده‌ی پوسته‌ها، رفتار ترمولاستیک در حالت گذار کره‌های توخالی را بررسی نمودند[۱۰]. در همین زمینه راجو<sup>۳</sup> در ۱۹۷۴ با استفاده از تئوری اصلاح شده‌ی پوسته‌ها، رفتار ترمولاستیک کره‌های جدار نازک توخالی را بررسی نمودند[۱۱]. یک حل تحلیلی یک پوسته‌ی کروی تحت انتقال حرارت گذار به وسیله‌ی منبع حرارتی چرخان توسط تاکیوتی<sup>۴</sup> در ۱۹۸۲ انجام شد[۱۲]. لیختنسکی<sup>۵</sup> در ۱۹۸۰ تئوری الاستیسیته‌ی اجسام مرکب را پایه‌گذاری نمود[۱۳]. در پوسته‌های ساخته‌شده از اجسام مرکب، بدلیل تغییر ناگهانی در ساختار ماده، تغییرات ناگهانی در رفتار مواد ایجاد می‌شود. لذا تمرکز تنش و گسیختگی در مز لایه‌ها ایجاد خواهد شد. از این رو مواد پیشرفته با تغییرات تدریجی خواص (mekanikی، ترمومکانیکی، مغناطیسی) یا FGM در سال‌های اخیر مورد توجه بسیاری از مهندسین و دانشمندان قرار گرفته‌اند.

<sup>1</sup> Hopkinson

<sup>2</sup> Cheung

<sup>3</sup> Raju

<sup>4</sup> Takeuti

<sup>5</sup> Lekhnitskii

هدف محققین بررسی و مطالعه‌ی اثر ترکیب دو جنس مختلف در مواد FG بر روی تنش‌ها و طراحی بهینه‌ی مخازن استوانه‌ای و کروی می‌باشد. از این‌رو مطالعات زیادی در این زمینه انجام شده است. برای نمونه، تانیگاوا<sup>۱</sup> در ۱۹۹۵ یک بررسی گستره‌های بر روی موارد مختلفی از مسائل ترمولاستیک و غیر الاستیک انجام داد. او یک لیست جامعی از مقالاتی گرد آوری کرد که در آن مدل‌هایی برای تحلیل رفتار ترمولاستیک مواد FG ارائه شده است[۱۴].

اوباتا<sup>۲</sup> در ۱۹۹۴ به مطالعه‌ی تنش‌های حرارتی در استوانه و کره‌های تو خالی ساخته شده از مواد FG در شرایط انتقال حرارت پایدار پرداختند[۱۵]. حل دقیق مخازن استوانه‌ای و کروی تحت فشار از مواد FG توسط توتنچو<sup>۳</sup> و همکارش در ۲۰۰۱ انجام شد[۱۶]. در این تحلیل تنش‌های شعاعی و محیطی در استوانه و کره‌ی تحت فشار داخلی، با توزیع توانی مدول الاستیسیته به ازای توان‌های مثبت و منفی بررسی شده است. تحلیل تنش‌های حرارتی تحت تاثیر انتقال حرارت غیر یکنواخت در یک استوانه‌ی توخالی FGM توسط کیم<sup>۴</sup> در ۲۰۰۲ ارائه شد[۱۷]. این تحلیل بر اساس روش چند لایه‌ای کردن استوانه با استفاده از تابع گرین انجام شد. شرایط مختلف بارگذاری حرارتی و بررسی ترکیب آنها در مطالعات ردی<sup>۵</sup> و همکارانش در سالهای ۲۰۰۰ تا ۲۰۰۳ ارائه شد[۱۸-۲۳]. آنها حل تئوری به همراه تحلیل المان محدود را برای استوانه‌ها، ورق‌ها و پوسته‌ها انجام دادند.

یو<sup>۶</sup> و همکارانش در ۲۰۰۴ در کاری مشابه، به تحلیل مخازن کروی FG تحت فشار داخلی پرداختند[۲۴]. در این کار، با در نظر گرفتن لایه‌های همگن در جدار داخلی و خارجی کره، و لایه‌های ناهمگن FG در میانه، روابط مربوط به توزیع تنش ارائه شده است. یک کار تحلیلی دیگر برای یک مخزن کروی FGM، تحت فشار در شرایط انتقال حرارت یک بعدی پایا توسط اسلامی

<sup>1</sup> Tanigawa

<sup>2</sup> Obata

<sup>3</sup> Tutuncu

<sup>4</sup> Kim

<sup>5</sup> Reddy

<sup>6</sup> You

وهمکارانش در ۲۰۰۵ ارائه شد[۲۵]. آنها در مطالعهٔ خود خواص مکانیکی و ترمومکانیکی مواد FGM را تابعی در نظر گرفته و به حل معادلهٔ ناویر و انتقال حرارت پرداختند. وانگ<sup>۱</sup> و همکارانش در ۲۰۰۶ به تحلیل اثر بارگذاری الکترومغناطیسی در پوسته‌های کروی پرداختند[۲۶]. در یک تحقیق جدید که توسط توتونچو در ۲۰۰۷ انجام شده است با فرض تغییرات نمایی در توزیع خواص مواد FG به تحلیل مخازن استوانه‌ای تحت فشار داخلی پرداخته شده است[۲۷]. در همین زمینه توتونچو<sup>۲</sup> در ۲۰۰۹ یک روش جدیدی را برای تحلیل تنش در استوانه، دیسک و کره‌ی FGM ارائه دادند[۲۸]. در این کار تنش‌ها و جابجایی‌ها در شرایطی که بارگذاری فشاری و متقارن می‌باشد، با استفاده از روش تئوری الاستیسیته‌ی مستوی و همچنین روش توابع کامپلیمنتاری<sup>۳</sup> انجام و با هم مقایسه شده‌اند.

تحلیل ترمولاستیک کره‌های FG با استفاده از تئوری گرین لیندسی<sup>۴</sup> توسط قوش<sup>۵</sup> و همکارانش در ۲۰۰۹ ارائه شد[۲۹]. در این تحقیق سطوح داخلی و خارجی کره بدون فشار فرض شده و دما در جدار داخلی متغیر با زمان به صورت یک شوک حرارتی در نظر گرفته شده است، در حالی که دما در جدار خارجی ثابت فرض شده است. در کاری دیگر، قربانپور و همکارانش در ۲۰۰۹ اثر میدان مغناطیسی و انتقال حرارت گذار را در کره‌های FGM بررسی کردند[۳۰]. ایشان در این کار فرض کردند که خواص مغناطیسی و ترمومکانیکی به صورت تابعی توانی در راستای شعاع کره تغییر کند. قناد و همکارانش در ۲۰۰۹ با استفاده از تئوری الاستیسیته‌ی مستوی، یک حل عمومی برای استوانه‌های تحت فشار ناهمگن ارائه کردند[۳۱]. آنها در همین زمینه، با استفاده از تئوری اصلاح شده‌ی پوسته‌ها، تحلیل استوانه‌های ناهمگن تحت فشار را ارائه کردند[۳۲]. اخیراً بوریسو<sup>۶</sup> در ۲۰۱۰ حل

<sup>1</sup> Wang

<sup>2</sup> Temel

<sup>3</sup> Complementary Functions method

<sup>4</sup> Green–Lindsay theory

<sup>5</sup> Ghosh

<sup>6</sup> Borisov

کره‌های جدار ضخیم FG را تحت بارگذاری خارجی با استفاده از روش چند لایه‌ای<sup>۱</sup> ارائه کرده است [۳۳]. در این کار فشار داخلی به صورت یکنواخت فرض شده است.

در جدول (۱-۱) به طور خلاصه کارهای عمدی که در زمینه‌ی تحلیل بارگذاری‌های مختلف بر روی پوسته‌های کروی و استوانه‌ای بررسی شده است، آورده شده است.

**جدول ۱-۱-تاریخچه‌ی بررسی پوسته‌های کروی و استوانه‌ای**

جنس	موضوع	مؤلف	سال
ایزوتروپ	پایه‌گذاری تئوری الاستیسیته	Navier	۱۸۲۷
ایزوتروپ	تحلیل استوانه‌های جدار ضخیم متقارن محوری	Lamé	۱۸۵۲
ایزوتروپ	تحلیل تنش‌های حرارتی در یک کره	Hopkinson	۱۸۷۹
ایزوتروپ	تحلیل تنش‌های حرارتی در یک کره تحت انتقال حرارت گذار با استفاده تئوری تغییر شکل برشی	Cheung	۱۹۷۴
ایزوتروپ	تنش‌های حرارتی در یک کره جدار نازک با استفاده تئوری اصلاح شده پوسته‌ها	Raju	۱۹۷۵
ایزوتروپ	حل تحلیلی یک پوسته‌ی کروی تحت انتقال حرارت گذار به وسیله‌ی منبع حرارتی چرخان	Takeuti	۱۹۸۲
FGM	تحلیل کره‌های جدار ضخیم تحت انتقال حرارت پایا با استفاده از روش (perturbation) اغتشاشات	Obata	۱۹۹۴
FGM	حل دقیق استوانه و کره‌های تحت فشار داخلی با استفاده از روش PET	Tutuncu	۲۰۰۱
ایزوتروپ	تحلیل مخازن کروی تحت فشار داخلی با استفاده از روش PET	You	۲۰۰۴
FGM	تحلیل مخازن کروی تحت انتقال حرارت پایدار با استفاده از روش PET	Eslami	۲۰۰۵
ایزوتروپ	بررسی پاسخ‌های گذار یک پوسته‌ی کروی تحت بارگذاری الکترومغناطیسی با استفاده از روش PET	Wang	۲۰۰۶
FGM	بررسی اثر میدان مغناطیسی و انتقال حرارت گذار در پوسته‌های کروی	Ghorbanpour Arani	۲۰۰۸

<sup>۱</sup> Multilayer

	با استفاده از روش PET		
FGM	حل استوانه و کره‌های تحت فشار داخلی با استفاده از روش توابع تکمیلی(Complementary Functions)	Tutuncu	۲۰۰۹
FGM	بررسی اثر شوک حرارتی در جدار داخلی با استفاده تئوری Green–Lindsay	Ghosh	۲۰۰۹
FGM	حل عمومی استوانه‌های جدار ضخیم با استفاده روش PET	Ghannad	۲۰۰۹
FGM	حل عمومی استوانه‌های جدار ضخیم با استفاده تئوری تغییرشکل برشی	Ghannad	۲۰۰۹
FGM	حل الاستیک کره‌های جدار ضخیم تحت بارگذاری خارجی با استفاده از روش چند لایه (Multilayer)	Borisov	۲۰۱۰

## ۸-۱- معرفی پایان نامه‌ی حاضر

در این پایان‌نامه یک مخزن چرخان کروی ساخته شده از مواد ناهمگن، که تحت انتقال حرارت یک بعدی پایا قرار دارد، برای حالتی که بارگذاری آن به صورت کلی(دماهی-مکانیکی) می‌باشد، مورد مطالعه قرار گرفته است. خواص ترمومکانیکی مواد را به صورت تابع توانی در نظر گرفته که در راستای شعاعی تغییرات دارد. بارگذاری مکانیکی، حرارتی و دوران هر کدام به طور مجزا بررسی شده تا اثر هر کدام جداگانه و به طور ترکیبی مطالعه شود.

در فصل دوم حل تحلیلی و عددی کره‌های جدار ضخیم تحت فشار داخلی و خارجی ارائه شده است. در این فصل معادله‌ی ناویر با در نظر گرفتن سه ریشه‌ی ساده، مضاعف و مختلط حل شده است و روابط تنش و جابجایی برای سه ریشه به طور مجزا ارائه شده است.

در فصل سوم حل تحلیلی و عددی کره‌های جدار ضخیم تحت فشار داخلی و خارجی و انتقال حرارت پایدار ارائه شده است. در این فصل حل معادله‌ی انتقال حرارت در دو حالت مجزا برای مواد FG ارائه شده است. که به تبع آن توزیع تنش و جابجایی با روابطی مجزا ارائه شده است.

در دو فصل دوم و سوم حل تحلیلی و نتایج بدست آمده از روش المان محدود<sup>۱</sup> با یکدیگر مقایسه و انطباق مناسبی میان دو روش مشاهده شده است. با توجه به تطابق مناسب نتایج حل عددی با حل دقیق تحلیلی، از نرم‌افزار مبتنی بر روش المان محدود در مطالعه اثر بارگذاری‌هایی که منجر به پیچیدگی مسئله می‌شود (از جمله بارهای حجمی)، استفاده شده است. از این رو در فصل چهارم حل عددی کره‌های FG چرخان تحت فشار ارائه شده است. در فصل پنجم به حل عددی کره‌ی چرخان تحت بار مکانیکی و دمایی پرداخته شده و فصل ششم به جمع‌بندی نتایج اختصاص یافته است.

---

<sup>۱</sup> Finite Element Method (FEM)

## فصل ۲

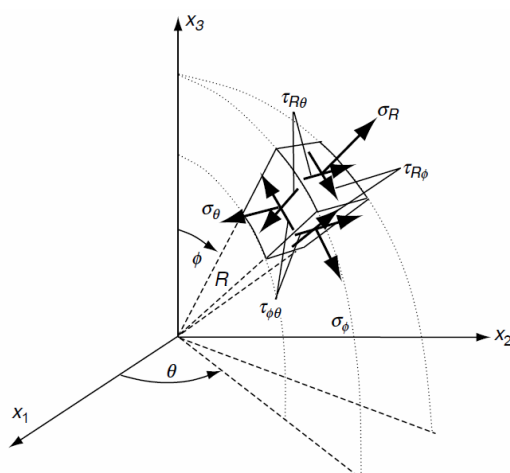
# تحلیل الاستیک پوسته‌های کروی FGM

## ۱-۲ - مقدمه

در این فصل ابتدا با ارائه‌ی روابط کلی الاستیک یا الاستیسیته حاکم بر پوسته‌های کروی، معادلات ناویر در پوسته‌های جدار ضخیم کروی از مواد همگن بدست آمده است. سپس با در نظر گرفتن اثر مواد FGM در معادلات ناویر، یک حل کلی از کره‌ی FGM جدار ضخیم، تحت فشار داخلی و خارجی FGM ارائه شده است. پس از آن با استفاده از روش المان محدود به شبیه‌سازی پوسته‌های کروی در نرم‌افزار ABAQUS پرداخته و در انتهای این فصل نتایج تحلیلی و عددی را با یک مثال نمونه مقایسه شده است.

## ۲-۲ - روابط اساسی در دستگاه مختصات کروی

با درنظر گرفتن دستگاه مختصات راستگرد تنش‌های یک المان دلخواه از یک جسم در مختصات کروی به صورت شکل زیر نمایش داده می‌شود.



شکل ۲: تنش‌های یک المان در مختصات کروی [۳۴]

که در این المان تانسور تنش به صورت زیر می‌باشد.

$$\begin{bmatrix} \sigma_{ij} \end{bmatrix} = \begin{bmatrix} \sigma_R & \tau_{R\phi} & \tau_{R\theta} \\ \tau_{R\phi} & \sigma_\phi & \tau_{\phi\theta} \\ \tau_{R\theta} & \tau_{\phi\theta} & \sigma_\theta \end{bmatrix} \quad (1-2)$$

به همین ترتیب تانسور کرنش و بردار جابجایی را می‌توان به صورت زیر نشان داد.

$$\begin{bmatrix} \varepsilon_{ij} \end{bmatrix} = \begin{bmatrix} \varepsilon_R & \frac{\gamma_{R\phi}}{2} & \frac{\gamma_{R\theta}}{2} \\ \frac{\gamma_{R\phi}}{2} & \varepsilon_\phi & \frac{\gamma_{\phi\theta}}{2} \\ \frac{\gamma_{R\theta}}{2} & \frac{\gamma_{\phi\theta}}{2} & \varepsilon_\theta \end{bmatrix} \quad (2-2)$$

$$\{u\} = \begin{Bmatrix} u_R \\ u_\phi \\ u_\theta \end{Bmatrix} \quad (3-2)$$

معادلات تعادل تنش در مختصات کروی در حالت کلی به صورت زیر می‌باشند.

$$\begin{cases} \frac{\partial \sigma_R}{\partial R} + \frac{1}{r} \frac{\partial \tau_{R\phi}}{\partial \phi} + \frac{1}{RSin\phi} \frac{\partial \tau_{R\theta}}{\partial \theta} + \frac{1}{R} (2\sigma_R - \sigma_\phi - \sigma_\theta + \tau_{R\phi} Cot\phi) + F_R = 0 \\ \frac{\partial \tau_{R\phi}}{\partial R} + \frac{1}{R} \frac{\partial \sigma_\phi}{\partial \phi} + \frac{1}{RSin\phi} \frac{\partial \tau_{\phi\theta}}{\partial \theta} + \frac{1}{R} [(\sigma_\phi - \sigma_\theta) Cot\phi + 3\tau_{R\phi}] + F_\phi = 0 \\ \frac{\partial \tau_{R\theta}}{\partial R} + \frac{1}{R} \frac{\partial \tau_{\phi\theta}}{\partial \phi} + \frac{1}{RSin\phi} \frac{\partial \sigma_\theta}{\partial \theta} + \frac{1}{R} (2\tau_{\phi\theta} Cot\phi + 3\tau_{R\theta}) + F_\theta = 0 \end{cases} \quad (4-2)$$

اگر معادلات تعادل گشتاورها نیز نوشته شود، این رابطه منجر به متقارن شدن تانسور تنش خواهد

شد و تقارن تانسور کرنش با در نظر گرفتن تغییرشکل‌های بسیار کوچک نتیجه می‌شود. روابط

سینماتیک در مختصات کروی به صورت زیر می‌باشند.

$$\left\{ \begin{array}{l} \varepsilon_R = \frac{\partial u_R}{\partial R} \\ \varepsilon_\phi = \frac{1}{R} \left( u_R + \frac{\partial u_\phi}{\partial \phi} \right) \\ \varepsilon_\theta = \frac{1}{RSin\phi} \left( \frac{\partial u_\theta}{\partial \theta} + Sin\phi u_R + Cos\phi u_\phi \right) \\ \varepsilon_\theta = \frac{1}{RSin\phi} \left( \frac{\partial u_\theta}{\partial \theta} + Sin\phi u_R + Cos\phi u_\phi \right) \\ \gamma_{R\phi} = \frac{1}{R} \frac{\partial u_R}{\partial \phi} + \frac{\partial u_\phi}{\partial R} - \frac{u_\phi}{R} \\ \gamma_{\phi\theta} = \frac{1}{R} \left( \frac{1}{Sin\phi} \frac{\partial u_\phi}{\partial \theta} + \frac{\partial u_\theta}{\partial \phi} - Cot\phi u_\theta \right) \\ \gamma_{\theta R} = \frac{1}{RSin\phi} \frac{\partial u_R}{\partial \theta} + \frac{\partial u_\theta}{\partial R} - \frac{u_\theta}{R} \end{array} \right. \quad (5-2)$$

همچنین معادلات رفتاری در یک مختصات دلخواه به صورت زیر ارائه می‌شوند.

$$\left\{ \begin{array}{ll} \sigma_i = \frac{E}{(1+\nu)(1-2\nu)} [(1-\nu)\varepsilon_i + \nu(\varepsilon_j + \varepsilon_k)] & i, j, k = R, \phi, \theta \\ \tau_{ij} = \frac{E}{2(1+\nu)} \gamma_{ij} & i \neq j \end{array} \right. \quad (6-2)$$

معادلات رفتاری را می‌توان به صورت زیر نیز نوشت.

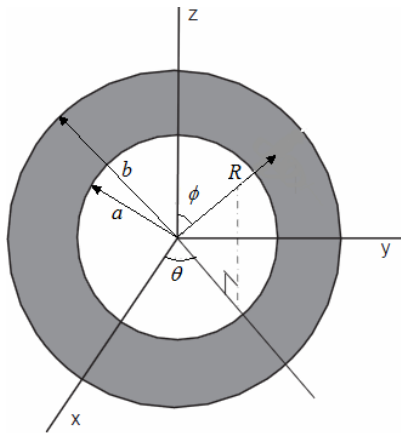
$$\left\{ \begin{array}{ll} \varepsilon_i = \frac{1}{E} [\sigma_i - \nu(\sigma_j + \sigma_k)] & i, j, k = R, \phi, \theta \\ \gamma_{ij} = \frac{2(1+\nu)}{E} \tau_{ij} & i \neq j \end{array} \right. \quad (7-2)$$

### - ۳-۲ - تحلیل ریاضی پوسته های کروی همگن [ ۲۵ ]

یک کره‌ی جدار ضخیم، با شعاع داخلی  $a$  و شعاع خارجی  $b$  و شعاع بی‌بعد  $r$  که بصورت

نرمالیز شده که در آن  $R$  مقداری میان  $a$  و  $b$  دارد، را در نظر بگیرید. برای تحلیل، دستگاه مختصات

کروی  $(R, \phi, \theta)$  که مبدا آن مرکز کره می‌باشد در نظر گرفته می‌شود. هندسه‌ی کره نسبت به محور-های مختصات در شکل (۲-۲) نشان داده شده است.



شکل ۲-۲: مختصات کروی

در این قسمت به دلیل تقارن در هندسه، بار گذاری و ماده‌ی کره، تحلیل ریاضی مدل مورد نظر را می‌توان با استفاده از تئوری الاستیسیته‌ی مستوی (PET) انجام داد. لذا در این شرایط کره در دو جهت دارای شرایط تقارن محوری می‌باشد.

$$\frac{\partial}{\partial \theta} = 0, \quad \frac{\partial}{\partial \phi} = 0 \quad (8-2)$$

همچنین  $\sigma_{\phi} = \sigma_{\theta} = u_{\phi} = u_{\theta} = 0$  خواهد بود. لذا با قرار دادن شرایط (۸-۲) در رابطه‌ی (۵-۲)، معادلات سینماتیک به صورت زیر ساده می‌شوند.

$$\varepsilon_r = \frac{du_r}{dr}; \quad \varepsilon_{\phi} = \varepsilon_{\theta} = \frac{u_r}{r}; \quad \gamma_{r\phi} = \gamma_{\phi\theta} = \gamma_{r\theta} = 0 \quad (9-2)$$

که در آن  $u_r = \frac{u_R}{a}$  می‌باشد. صفر شدن کرنش‌های برشی طبق رابطه‌ی (۶-۲) منجر به صفر شدن

تنش‌های برشی خواهد شد. لذا تانسور تنش، تانسور کرنش و بردار جابجایی در یک کره‌ی جدار ضخیم متقارن محوری به صورت زیر حاصل می‌گردد.

$$[\sigma_{ij}] = \begin{bmatrix} \sigma_r & 0 & 0 \\ 0 & \sigma_\phi & 0 \\ 0 & 0 & \sigma_\phi \end{bmatrix} \quad (10-2)$$

$$[\varepsilon_{ij}] = \begin{bmatrix} \varepsilon_r & 0 & 0 \\ 0 & \varepsilon_\phi & 0 \\ 0 & 0 & \varepsilon_\phi \end{bmatrix} \quad (11-2)$$

$$[u_i] = \begin{Bmatrix} u_r \\ 0 \\ 0 \end{Bmatrix} \quad (12-2)$$

از جایگذاری تانسور تنش بدست آمده در معادلات تعادل (14-2) معادله‌ی زیر بدست می‌آید.

$$\frac{d\sigma_r}{dr} + \frac{2}{r}(\sigma_r - \sigma_\phi) = 0 \quad (13-2)$$

با فرض همگن و همسانگرد بودن ماده‌ی کره، معادلات رفتاری ارائه شده در بخش قبل به صورت

زیر نوشته می‌شود.

$$\begin{cases} \sigma_r = \frac{E}{(1+\nu)(1-2\nu)} [(1-\nu)\varepsilon_r + 2\nu\varepsilon_\phi] \\ \sigma_\phi = \sigma_\theta = \frac{E}{(1+\nu)(1-2\nu)} [\nu\varepsilon_r + \varepsilon_\phi] \end{cases} \quad (14-2)$$

حال می‌توان در این رابطه با استفاده از رابطه‌ی (9-2) به جای کرنش‌های  $\varepsilon_r, \varepsilon_\phi$  از روابط مربوط

به جا بجایی استفاده نمود.

$$\begin{Bmatrix} \sigma_r \\ \sigma_\phi \end{Bmatrix} = \frac{E}{(1+\nu)(1-2\nu)} \begin{bmatrix} 1-\nu & 2\nu \\ \nu & 1 \end{bmatrix} \begin{Bmatrix} \frac{du_r}{dr} \\ \frac{u_r}{r} \end{Bmatrix} \quad (15-2)$$

که در روابط زیر علامت (') نشان دهنده مشتق نسبت به  $r$  است. اکنون که دومتغیر ارائه شده در معادله‌ی تعادل با یک متغیر  $u_r$  بیان شده‌اند، می‌توان رابطه‌ی (۱۵-۲) را در معادله‌ی تعادل (۲-۲) قرارداد و آن را حل کرد.

$$\begin{aligned} \frac{d}{dr} \left[ (1-\nu) \frac{du_r}{dr} + 2\nu \frac{u_r}{r} \right] + \frac{2}{r} \left[ ((1-\nu) \frac{du_r}{dr} + 2\nu \frac{u_r}{r}) - (\nu \frac{du_r}{dr} + \frac{u_r}{r}) \right] &= 0 \\ \Rightarrow u_r'' + 2 \frac{u_r'}{r} - 2 \frac{u_r}{r^2} &= 0 \end{aligned}$$

معادله‌ی بالا می‌توان به صورت زیر نیز نوشت.

$$\frac{d}{dr} \left[ \frac{1}{r^2} \frac{d}{dr} (r^2 u_r) \right] = 0 \quad (16-2)$$

با دو بار انتگرال گیری از این معادله می‌توان نوشت.

$$u_r(r) = c_1 r + \frac{c_2}{r^2} \quad (17-2)$$

که در آن  $c_1, c_2$  ثابت‌هایی مجھول هستند که با استفاده از شرایط مرزی بدست می‌آیند.

#### ۴-۴-۲- تحلیل ریاضی پوسته‌های کروی FGM

همانطور که در فصل (۱) اشاره شد در مواد FG، خواص (مکانیکی، حرارتی، مغناطیسی) ماده به طور پیوسته تغییر می‌کند. در این تحلیل خواص مکانیکی به جز ضریب پواسون در راستای ضخامت کره به صورت تابع توانی بر حسب شعاع کره تغییر می‌کنند. لذا با در نظر گرفتن شکل هندسی و محورهای مختصات تعریف شده در بخش قبل، تغییرات مدول الاستیسیته برای مواد FG به صورت زیر فرض می‌شود.

$$E(r) = E_i r^{n_i} \quad (18-2)$$

که در آن  $n_i$  ثابت ناهمگنی می‌باشد. ضریب پواسون نیز ثابت فرض می‌شود. لذا این مواد فقط در معادلات رفتاری تاثیر گذاشته و در نتیجه معادلات رفتاری به صورت زیر برای مواد FG تغییر می‌کند.

$$\begin{cases} \sigma_r = \frac{E_i r^{n_1}}{(1+\nu)(1-2\nu)} [(1-\nu)\epsilon_r + 2\nu\epsilon_\phi] \\ \sigma_\phi = \sigma_\theta = \frac{E_i r^{n_1}}{(1+\nu)(1-2\nu)} [\nu\epsilon_r + \epsilon_\phi] \end{cases} \quad (19-2)$$

لذا در اینجا نیز همان معادلهٔ تعادل (۱۳-۲) حاکم می‌باشد. برای حل این معادله می‌توان در رابطهٔ (۱۹-۲) با استفاده از معادلات سینماتیک (۹-۲) به جای کرنش‌های  $\epsilon_r, \epsilon_\phi$  از روابط معادل جابجایی استفاده کرد.

$$\begin{Bmatrix} \sigma_r \\ \sigma_\phi \end{Bmatrix} = \frac{E_i r^{n_1}}{(1+\nu)(1-2\nu)} \begin{bmatrix} 1-\nu & 2\nu \\ \nu & 1 \end{bmatrix} \begin{Bmatrix} \frac{du_r}{dr} \\ \frac{u_r}{r} \end{Bmatrix} \quad (20-2)$$

اکنون که دو متغیر ارائه شده در معادلهٔ (۱۹-۲) با یک متغیر  $u$  بیان شده‌اند، می‌توان رابطهٔ (۱۹-۲) را در معادلهٔ تعادل (۱۳-۲) قرارداد و آن را حل کرد.

$$r^2 u'' + A r u' + B u = 0 \quad (21-2)$$

که در این رابطه  $A, B$  به صورت زیر تعریف می‌شوند.

$$A = 2 + n_1 ; \quad B = \frac{2[\nu(n_1 + 1) - 1]}{1 - \nu} \quad (22-2)$$

معادلهٔ دیفرانسیل (۲۱-۲) یک معادلهٔ اولرکوشی همگن می‌باشد که با در نظر گرفتن یک حل کلی به صورت  $u(r) = cr^m$  و قراردادن آن در معادله دیفرانسیل، معادله مشخصهٔ زیر بدست می‌آید.

$$m^2 + (A - 1)m + B = 0 ; \quad \Delta = (A - 1)^2 - 4B \quad (23-2)$$

ریشه‌های معادله مشخصه به صورت زیر بدست می‌آید.

### الف: ریشه‌های حقیقی

اگر  $\Delta > 0$  باشد، معادله دارای ریشه‌های حقیقی می‌شود.

$$m_1 = \frac{1-A+\sqrt{\Delta}}{2} ; \quad m_2 = \frac{1-A-\sqrt{\Delta}}{2} \quad (24-2)$$

حل معادله اولر کوشی (21-2) در این حالت به صورت زیر می باشد.

$$u_r(r) = c_1 r^{m_1} + c_2 r^{m_2} \quad (25-2)$$

که در آن  $c_1, c_2$  دو ثابت دلخواه می باشند و  $m_1, m_2$  مطابق رابطه (24-2) تعریف می شوند.

برای اینکه این دو ثابت مشخص شود، بایستی از شرایط مرزی استفاده کرد. لذا ابتدا با جایگذاری

رابطه (25-2) در (20-2) می توان نوشت.

$$\begin{Bmatrix} \sigma_r \\ \sigma_\phi \end{Bmatrix} = \frac{E_i r^{n_1}}{(1+\nu)(1-2\nu)} \begin{bmatrix} (1-\nu) & 2\nu \\ \nu & 1 \end{bmatrix} \begin{Bmatrix} m_1 c_1 r^{m_1-1} + m_2 c_2 r^{m_2-1} \\ c_1 r^{m_1-1} + c_2 r^{m_2-1} \end{Bmatrix}$$

که این رابطه را می توان به صورت زیر مرتب کرد.

$$\begin{cases} \sigma_r = \frac{E_i r^{n_1}}{(1+\nu)(1-2\nu)} [c_1 Q_1 r^{m_1-1} + c_2 Q_2 r^{m_2-1}] \\ \sigma_\phi = \frac{E_i r^{n_1}}{(1+\nu)(1-2\nu)} [c_1 G_1 r^{m_1-1} + c_2 G_2 r^{m_2-1}] \end{cases} \quad (26-2)$$

که در آن توابع  $Q$  و  $G$  به صورت زیر تعریف می شوند.

$$\begin{cases} Q_1 = 2\nu + (1-\nu)m_1 & ; \quad G_1 = 1 + \nu m_1 \\ Q_2 = 2\nu + (1-\nu)m_2 & ; \quad G_2 = 1 + \nu m_2 \end{cases} \quad (27-2)$$

فرض می شود که کره تحت فشار یکنواخت داخلی  $p_i$  در جدار داخلی و تحت فشار یکنواخت

خارجی  $p_o$  در جدار خارجی قرار گیرد. شرایط مرزی را می توان به صورت زیر بیان کرد.

$$\begin{aligned} \sigma_r \Big|_{r=1} &= -p_i \\ \sigma_r \Big|_{r=k} &= -p_o \end{aligned} \quad (28-2)$$

که در آن  $k = b/a$  لذا با استفاده از رابطه‌ی (۲۶-۲) می‌توان نوشت.

$$\frac{E_i}{(1+\nu)(1-2\nu)} \begin{bmatrix} Q_1 & Q_2 \\ Q_1 k^{n_1} k^{m_1-1} & Q_2 k^{n_1} k^{m_2-1} \end{bmatrix} \begin{Bmatrix} c_1 \\ c_2 \end{Bmatrix} = \begin{Bmatrix} -p_i \\ -p_o \end{Bmatrix} \quad (29-2)$$

با یک معکوس گیری از ماتریس ضرایب، دو مجهول بالا را می‌توان بدست آورد.

$$\begin{cases} c_1 = \frac{(1+\nu)(1-2\nu)[k^{m_2} p_i - k^{1-n} p_o]}{E_i Q_1 (k^{m_1} - k^{m_2})} \\ c_2 = -\frac{(1+\nu)(1-2\nu)[k^{m_1} p_i - k^{1-n} p_o]}{E_i Q_2 (k^{m_1} - k^{m_2})} \end{cases} \quad (30-2)$$

پس از جایگزینی  $c_1$  و  $c_2$  در معادلات (۲۵-۲) و (۲۶-۲) می‌توان نوشت.

$$\begin{cases} \sigma_r = \frac{r^{n_1-1}}{k^{m_1} - k^{m_2}} \left[ r^{m_1} (k^{m_2} p_i - k^{(1-n_1)} p_o) - r^{m_2} (k^{m_1} p_i - k^{(1-n_1)} p_o) \right] \\ \sigma_\phi = \frac{r^{n_1-1}}{k^{m_1} - k^{m_2}} \left[ \frac{Q_1}{Q_2} r^{m_1} (k^{m_2} p_i - k^{(1-n_1)} p_o) - \frac{Q_2}{Q_1} r^{m_2} (k^{m_1} p_i - k^{(1-n_1)} p_o) \right] \\ u_r = \frac{(1+\nu)(1-2\nu)}{E_i (k^{m_1} - k^{m_2})} \left[ \frac{r^{m_1}}{Q_1} (k^{m_2} p_i - k^{(1-n_1)} p_o) - \frac{r^{m_2}}{Q_2} (k^{m_1} p_i - k^{(1-n_1)} p_o) \right] \end{cases} \quad (31-2)$$

روابط (۳۱-۲) یک حل کلی از یک کره‌ی جدارضخیم تحت تاثیرفشار داخلی  $p_i$  و فشار خارجی  $p_o$

با در نظر گرفتن ریشه‌های حقیقی معادله‌ی اولر کوشی را ارائه می‌دهند.

همانطور که روابط (۳۱-۲) نشان می‌دهند تنش فشاری مستقل از خواص مکانیکی بوده در حالی

که تنش محیطی و جابجایی وابسته به خواص مکانیکی می‌باشند.

## ب: ریشه‌های مضاعف

اگر  $\Delta = 0$  باشد، معادله دارای ریشه‌های مضاعف می‌شود.

$$m_{1,2} = m = \frac{1-B}{2} \quad (32-2)$$

در این صورت حل معادله‌ی اولر کوشی (۲۱-۲) را می‌توان به صورت زیر نوشت.

$$u_r(r) = (c_1 + c_2 \ln r) r^m \quad (33-2)$$

که در آن  $c_1, c_2$  دو ثابت دلخواه می‌باشند. برای اینکه این دو ثابت مشخص شوند بایستی از شرایط

مرزی استفاده نمود. لذا ابتدا با جایگذاری رابطه‌ی (۳۲-۲) در (۲۰-۲) می‌توان نوشت.

$$\begin{cases} \sigma_r = \frac{E_i r^{n+m-1}}{(1+\nu)(1-2\nu)} [Qc_1 + (Q \ln r + (1-\nu))c_2] \\ \sigma_\phi = \sigma_\theta = \frac{E_i r^{n+m-1}}{(1+\nu)(1-2\nu)} [Gc_1 + (G \ln r + \nu)c_2] \end{cases} \quad (34-2)$$

که در آن توابع  $Q$  و  $G$  به صورت زیر تعریف می‌شوند.

$$Q = 2\nu + (1-\nu)m \quad ; \quad G = 1 + \nu m \quad (35-2)$$

با استفاده از شرایط مرزی (۲۸-۲) و جایگذاری آن در رابطه‌ی (۳۳-۲) می‌توان نوشت.

$$\frac{E_i}{(1+\nu)(1-2\nu)} \begin{bmatrix} Q & (1-\nu) \\ Qk^{n_1}k^{m_1-1} & (Q \ln k + (1-\nu))k^{n_1}k^{m_2-1} \end{bmatrix} \begin{Bmatrix} c_1 \\ c_2 \end{Bmatrix} = \begin{Bmatrix} -p_i \\ -p_o \end{Bmatrix} \quad (36-2)$$

با یک معکوس گیری از ماتریس ضرایب، دو مجهول بالا را می‌توان بدست آورد.

$$\begin{cases} c_1 = -\frac{(1+\nu)(1-2\nu)}{E_i Q \ln k} [(Q \ln k + (1-\nu))p_i - (1-\nu)k^{1-n-m} p_o] \\ c_2 = \frac{(1+\nu)(1-2\nu)}{E_i Q \ln k} [p_i - k^{1-n-m} p_o] \end{cases} \quad (37-2)$$

پس از جایگزینی  $c_1$  و  $c_2$  در معادلات (۳۳-۲) و (۳۴-۲) می‌توان نوشت

$$\left\{ \begin{array}{l} \sigma_r = -\frac{r^{n+m-1}}{\ln k} \left[ \left( \ln \frac{k}{r} \right) p_i + (\ln r) k^{1-n-m} p_o \right] \\ \sigma_\phi = \sigma_\theta = \frac{r^{n+m-1}}{(Q \ln k)} \left[ \left( G \ln \frac{r}{k} - \frac{G}{Q} (1-\nu) + \nu \right) p_i \right. \\ \left. - \left( G \ln r - \frac{G}{Q} (1-\nu) + \nu \right) k^{1-n-m} p_o \right] \\ u_r(r) = \frac{(1+\nu)(1-2\nu)}{E_i Q \ln k} r^m \left[ \left( \ln \frac{r}{k} - \frac{(1-\nu)}{Q} \right) p_i - \left( \ln r - \frac{(1-\nu)}{Q} \right) k^{1-n-m} p_o \right] \end{array} \right. \quad (38-2)$$

روابط (38-2) یک حل کلی ازیک کره‌ی جدارضخیم تحت تاثیرفشار داخلی  $p_i$  و فشار خارجی  $p_o$  با در نظر گرفتن ریشه‌های مضاعف معادله‌ی اولرکوشی را ارائه می‌دهند. همانطور که این روابط نشان می‌دهند تنش فشاری مستقل از خواص مکانیکی بوده در حالی که تنش محیطی و جابجایی وابسته به خواص مکانیکی می‌باشند.

### ج: ریشه‌های مختلط

اگر  $\Delta < 0$  باشد، معادله دارای ریشه‌های مختلط می‌شود.

$$m_1 = z + iy, \quad m_2 = z - iy \quad (39-2)$$

که در آن

$$z = \frac{1-A}{2}; \quad y = \frac{\sqrt{-\Delta}}{2} \quad (40-2)$$

حل معادله اولرکوشی (21-2) را می‌توان به صورت زیر نوشت.

$$u_r(r) = [c_1 \cos(y \ln r) + c_2 \sin(y \ln r)] r^z \quad (41-2)$$

که در آن  $c_1, c_2$  دو ثابت دلخواه می‌باشند. با جایگذاری رابطه (41-2) در رابطه (20-2)، می‌توان رابطه‌ی تنش‌ها را به صورت زیر نوشت.

$$\left\{ \begin{array}{l} \sigma_r = \frac{E_i r^{n+z-1}}{(1+\nu)(1-2\nu)} [c_1 q_1 + c_2 q_2] \\ \sigma_\phi = \sigma_\theta = \frac{E_i r^{n+z-1}}{(1+\nu)(1-2\nu)} [c_1 q_3 + c_2 q_4] \end{array} \right. \quad (42-2)$$

$$q_1 = Q \cos(y \ln r) - y(1-\nu) \sin(y \ln r)$$

$$q_2 = Q \sin(y \ln r) + y(1-\nu) \cos(y \ln r)$$

$$q_3 = G \cos(y \ln r) - y\nu \sin(y \ln r)$$

$$q_4 = G \sin(y \ln r) + y\nu \cos(y \ln r)$$

که در آن توابع  $Q$  و  $G$  را به صورت زیر تعریف می‌شود:

$$Q = 2\nu + (1-\nu)z \quad ; \quad G = 1 + \nu z \quad (43-2)$$

با استفاده از شرایط مرزی (۲۸-۲) و جایگذاری آن در رابطه‌ی (۳۳-۲) می‌توان نوشت:

$$\left\{ \begin{array}{l} c_1 = -\frac{(1+\nu)(1-2\nu)}{E_i (Q^2 + y^2(1-\nu)^2) \sin(y \ln k)} [(Q \sin(y \ln k) + y(1-\nu) \cos(y \ln k)) p_i \\ \quad - k^{1-n-z} y(1-\nu) p_o] \\ c_2 = \frac{(1+\nu)(1-2\nu)}{E_i (Q^2 + y^2(1-\nu)^2) \sin(y \ln k)} [(Q \cos(y \ln k) - y(1-\nu) \sin(y \ln k)) p_i \\ \quad - k^{1-n-z} Q p_o] \end{array} \right. \quad (44-2)$$

پس از جایگزینی  $c_1$  و  $c_2$  در معادلات (۲۵-۲) و (۲۶-۲) می‌توان نوشت:

$$\left\{ \begin{array}{l} \sigma_r = -\frac{r^{n+z-1}}{\sin(y \ln k)} \left[ p_i \sin\left(y \ln \frac{k}{r}\right) + p_o k^{1-n-z} \sin(y \ln r) \right] \\ \sigma_\phi = \frac{E_i r^{n+z-1}}{(Q^2 + y^2(1-\nu)^2)} \left\{ p_i \left[ (QG - \nu y^2(1-\nu)) \sin\left(y \ln \frac{k}{r}\right) + (Q\nu + G(1-\nu)) y \cos\left(y \ln \frac{k}{r}\right) \right] \right. \\ \quad \left. - p_o k^{1-n-z} \left[ (QG - \nu y^2(1-\nu)) \sin(y \ln r) + (Q\nu + G(1-\nu)) y \cos(y \ln r) \right] \right\} \\ u_r(r) = -\frac{(1+\nu)(1-2\nu)r^z}{E_i (Q^2 + y^2(1-\nu)^2)} \left[ p_i \left( Q \sin\left(y \ln \frac{k}{r}\right) + y(1-\nu) \cos\left(y \ln \frac{k}{r}\right) \right) \right. \\ \quad \left. + p_o k^{1-n-z} (Q \sin(y \ln r) - y(1-\nu) \cos(y \ln r)) \right] \end{array} \right. \quad (45-2)$$

روابط (۴۵-۲) یک حل کلی از یک کره‌ی جدارضخیم تحت تاثیر فشار داخلی  $p_i$  و فشار خارجی  $p_o$  با در نظر گرفتن ریشه‌های مختلط معادله‌ی اولرکوشی را ارائه می‌دهند. همانطور که این روابط نشان می‌دهند تنش فشاری مستقل از خواص مکانیکی بوده در حالی که تنش محیطی و جابجایی وابسته به خواص مکانیکی می‌باشند.

#### ۲-۴-۲- حالت‌های خاص

در این بخش با در نظر گرفتن روابط تنش و جابجایی در شرایطی که معادله‌ی ناویر دارای ریشه‌های حقیقی باشد چند حالت خاص که دارای کاربرد بیشتری هستند ارائه شده است.

**(الف) کره تحت فشار داخلی ( $p_o = 0, p_i = p$ )**

در حالتی که کره فقط تحت فشار داخلی  $p_i = p$  باشد روابط (۲۸-۲) به صورت زیر ساده می‌شوند:

$$\begin{cases} \sigma_r = \frac{pr^{n_1-1}}{k^{m_1} - k^{m_2}} \left[ k^{m_2} r^{m_1} - k^{m_1} r^{m_2} \right] \\ \sigma_\phi = \frac{pr^{n_1-1}}{k^{m_1} - k^{m_2}} \left[ \frac{G_1}{Q_1} k^{m_2} r^{m_1} - \frac{G_2}{Q_2} k^{m_1} r^{m_2} \right] \\ u_r = \frac{(1+\nu)(1-2\nu)p}{E_i(k^{m_1} - k^{m_2})} \left[ \frac{k^{m_2} r^{m_1}}{Q_1} - \frac{k^{m_1} r^{m_2}}{Q_2} \right] \end{cases} \quad (46-2)$$

**(ب) کره تحت فشار خارجی ( $p_o = p, p_i = 0$ )**

در حالتی که مخزن کروی فقط تحت فشار خارجی  $p_o = p$  باشد روابط (۲۸-۲) به صورت زیر ساده می‌شوند:

$$\begin{cases} \sigma_r = \frac{pk^{(1-n_1)}r^{n_1-1}}{k^{m_1}-k^{m_2}} \left[ -r^{m_1} + r^{m_2} \right] \\ \sigma_\phi = \frac{pk^{(1-n_1)}r^{n_1-1}}{k^{m_1}-k^{m_2}} \left[ -\frac{G_1}{Q_1}r^{m_1} + \frac{G_2}{Q_2}r^{m_2} \right] \\ u_r = \frac{(1+\nu)(1-2\nu)pk^{(1-n_1)}}{E_i(k^{m_1}-k^{m_2})} \left[ -\frac{r^{m_1}}{Q_1} + \frac{r^{m_2}}{Q_2} \right] \end{cases} \quad (47-2)$$

(پ) کره تحت فشار داخلی و خارجی یکسان ( $p_o = p_i = p$ )

در حالتی که مخزن کروی تحت فشار خارجی  $p_o = p$  باشد، روابط (۲۸-۲)

به صورت زیر ساده می‌شوند:

$$\begin{cases} \sigma_r = \frac{pr^{n_1-1}}{k^{m_1}-k^{m_2}} \left[ r^{m_1} \left( k^{m_2} - k^{(1-n_1)} \right) - r^{m_2} \left( k^{m_1} - k^{(1-n_1)} \right) \right] \\ \sigma_\phi = \frac{pr^{n_1-1}}{k^{m_1}-k^{m_2}} \left[ \frac{G_1}{Q_1}r^{m_1} \left( k^{m_2} - k^{(1-n_1)} \right) - \frac{G_2}{Q_2}r^{m_2} \left( k^{m_1} - k^{(1-n_1)} \right) \right] \\ u_r = \frac{(1+\nu)(1-2\nu)p}{E_i(k^{m_1}-k^{m_2})} \left[ \frac{r^{m_1}}{Q_1} \left( k^{m_2} - k^{(1-n_1)} \right) - \frac{r^{m_2}}{Q_2} \left( k^{m_1} - k^{(1-n_1)} \right) \right] \end{cases} \quad (48-2)$$

## ۵-۲ - تحلیل عددی پوسته های کروی FGM

یک نمونه در نرم‌افزار ABAQUS مدل شده است. در مدل FEM مذکور بدلیل تقارن، تنها نصف

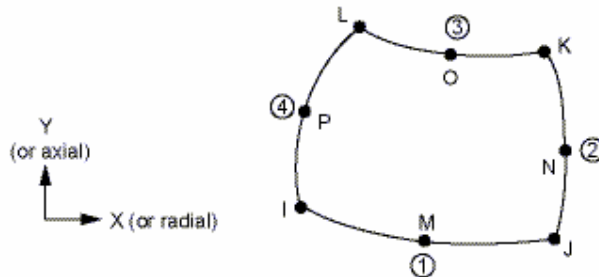
کره به صورت دوبعدی (متقارن محوری) در نظر گرفته شده است. با توجه به اینکه مازول مربوط به

مدل‌سازی مواد FG در نرم‌افزار آباکوس تعریف نشده، لذا مدل مورد نظر با یک کره‌ی کامپوزیتی

تقریب زده می‌شود. برای اعمال تغییرات خواص مواد، ضخامت کره به چند لایه تقسیم شده به طوری

که در هر لایه، خواص مواد ثابت فرض می‌شود. المان‌های مورد استفاده در تحلیل، از نوع المان‌های

هشت گره‌ای CAX8RH می‌باشند. در شکل (۳-۲) این المان نشان داده شده است.



شکل ۲-۳: نوع المان انتخاب شده

#### ۲-۵-۱- تعیین تعداد لایه‌ها و مشبندی بهینه

تقسیمات بهینه با روش سعی و خطأ تعیین می‌شود. در جدول (۲-۱) اثر تعداد لایه‌ها و اندازه‌ی مشبندی بر جابجایی شعاعی یک نقطه از جدار داخلی ( $\phi = 0$ ) برای کره‌ای به شعاع داخلی

مشبندی آورده شده است:  $h = 20\text{ mm}$  و ضخامت  $R = 40\text{ mm}$

جدول ۲-۱: تنش محیطی یک نقطه با هدف تعیین تعداد لایه‌ها و اندازه مشبندی

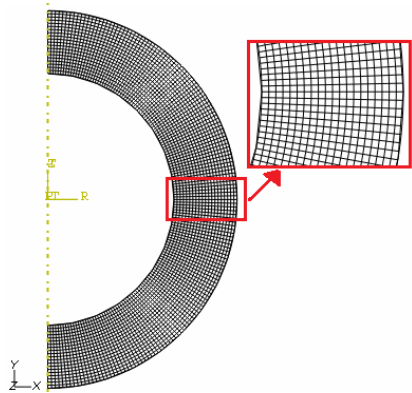
$h/(4*m)$		$h/(2*m)$		$h/m$	اندازه مشبندی
$\sigma_\phi(\text{MPa})$	%diff	$\sigma_\phi(\text{MPa})$	%diff	$\sigma_\phi(\text{MPa})$	تعداد لایه (m)
74.9376	0.12033	74.8534	0.4323	74.5506	5
72.5177	0.03056	72.4963	0.1195	72.4127	10
71.6791	0.01400	71.6693	0.0542	71.6314	15
71.2606	0.00557	71.2567	0.0330	71.2336	20
71.0054	0.00300	71.0033	0.0221	70.9878	25

در جدول فوق منظور از اندازه مشبندی طول ضلع مشبندی است که برای نرم افزار تعریف شده است. به عبارت دیگر تعداد المان‌هایی است که در هر لایه استفاده شده است. و

$$\%diff = \left| \frac{(\sigma_\phi)_m - (\sigma_\phi)_{m-1}}{(\sigma_\phi)_{Anal.}} \right| 100 ; m = 2, 3$$

مشبندی کوچکتری تحلیل شده است با مرحله‌ی قبلی می‌باشد. بر اساس این جدول، چند تحلیل تحت فشار داخلی ( $p = 80\text{ MPa}$ ) انجام شده و مقادیر تنش محیطی در جدار داخلی تعیین شده

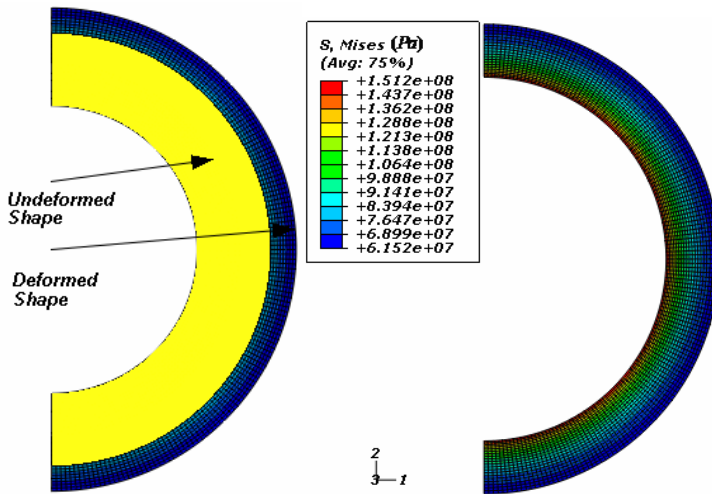
است. در این جدول ثابت ناهمگنی  $n_1 = 1$  در نظر گرفته شده است. مقداری که با استفاده از روابط تحلیلی ارائه شده در این فصل در شرایطی که ریشه‌های معادله‌ی ناویر حقیقی باشد برای تنش محیطی بدست می‌آید ( $\sigma_\phi = 69.9736 \text{ MPa}$ ) می‌باشد. بر اساس جدول ۲-۱، با کوچکتر شدن اندازه‌ی مشبندی، مقدار خطا کاهش می‌یابد. به عبارت دیگر نتایج به یک مقدار مشخص همگرا می‌شوند. همچنین با افزایش تعداد لایه‌ها مقدار خطا کاهش می‌یابد. با افزایش تعداد لایه‌ها زمان محاسبه نیز افزایش می‌یابد لذا تعداد تقسیمات مناسب ۲۰ لایه و اندازه مش بهینه به گونه‌ای در نظر گرفته می‌شود که ضخامت هر المان به اندازه‌ی ضخامت یک لایه باشد. به این ترتیب تعداد المان در تحلیل ۳۱۲۰ می‌باشد. فرض می‌شود این تعداد لایه و المان، برای سایر بارگذاریهایی که در این متن اجرا شده است نیز صادق است. شکل (۴-۲) مشبندی سازه را نشان می‌دهد.



شکل ۴-۲: ناحیه‌ی مشبندی نیم کره

برای اعمال شرایط مرزی گره‌های مربوط به مرز افقی که امتداد آن از مرکز کره می‌گذرد بواسطه‌ی تقارن در راستای عمودی مقید شده‌اند. می‌توان به عنوان یک حالت خاص، سطح داخلی یا سطح خارجی و یا هر دو سطح را تحت فشار شعاعی  $p$  قرار داد.

شکل (۵-۲) تغییر شکل و توزیع تنش فن‌میزس در مدل را تحت فشار داخلی ( $p=80 \text{ MPa}$ ) نشان می‌دهد. در این شکل ثابت ناهمگنی  $n_1 = 1$  در نظر گرفته شده است.



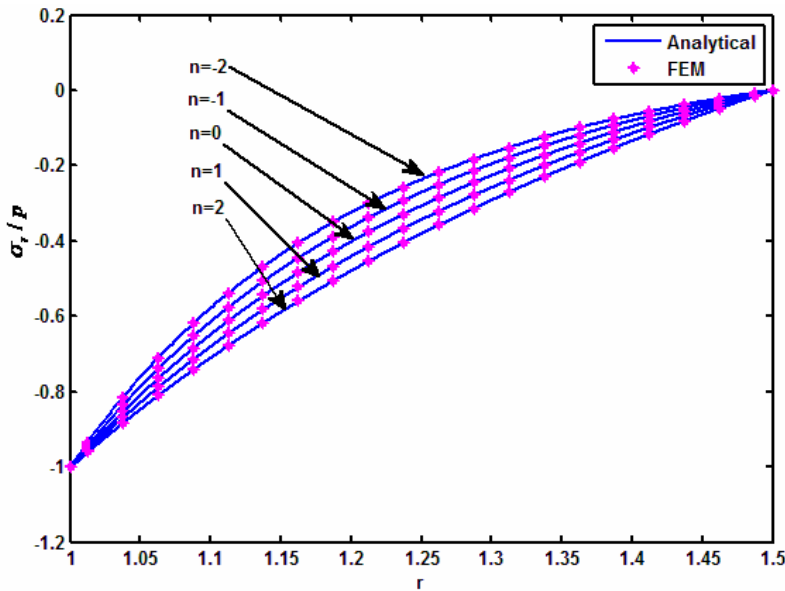
شکل ۵-۲: تغییرشکل و توزیع تنش فن میزس در کره‌ی FGM تحت فشار داخلی

## ۶-۲- مطالعه‌ی موردی

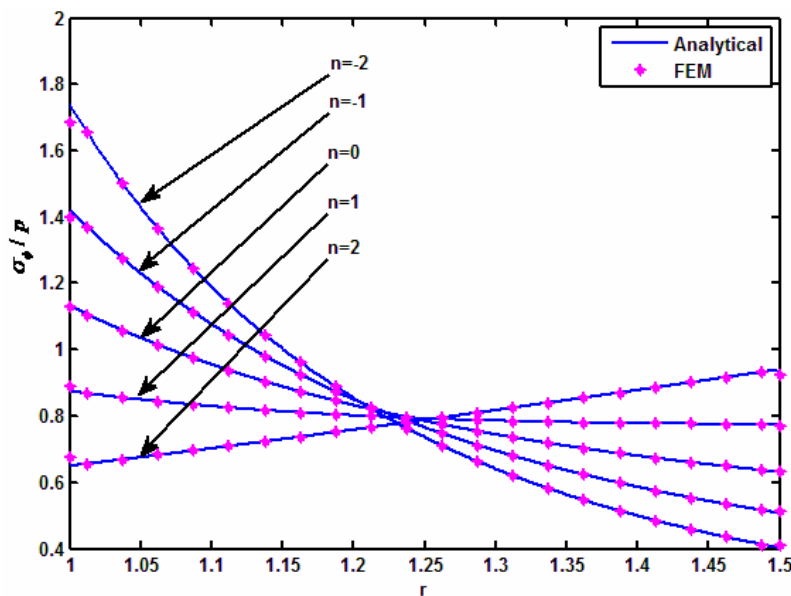
حل تحلیلی و عددی ارائه شده در این فصل را می‌توان برای مثالهای مختلفی بررسی کرد. برای مطالعه‌ی موردی، یک کره‌ی جدار ضخیم با شعاع داخلی  $a = 0.04\text{ m}$  و شعاع خارجی  $b = 0.06\text{ m}$  در نظر گرفته و فرض می‌شود که ضریب ثابت پواسون برابر با  $\nu = 0.3$  باشد. ثابت ناهمگنی برای مدول الاستیسیته با  $n_i = n$  نشان داده می‌شود. فشار داخلی یا خارجی به صورت یکنواخت و برابر با  $p = 80\text{ MPa}$  فرض می‌شود. مسئله در سه حالت  $(p_i = p; p_o = p)$  و  $(p_i = 0; p_o = p)$  و  $(p_i = 0; p_o = 0)$  با استفاده از روابط تحلیلی که در این فصل استخراج شده‌است، بررسی می‌شود. سپس مقایسه‌ی نتایج تحلیلی با نتایج بدست آمده از روش عددی که با استفاده از نرم افزار ABAQUS استخراج شده‌است، ارائه می‌شود. مقادیر جابجایی نسبت به شعاع داخلی و تنش‌ها نسبت به فشار  $p = 80(\text{MPa})$  بی‌بعد شده است.

**الف): کره تحت فشار داخلی** ( $p_o = 0, p_i = p$ )

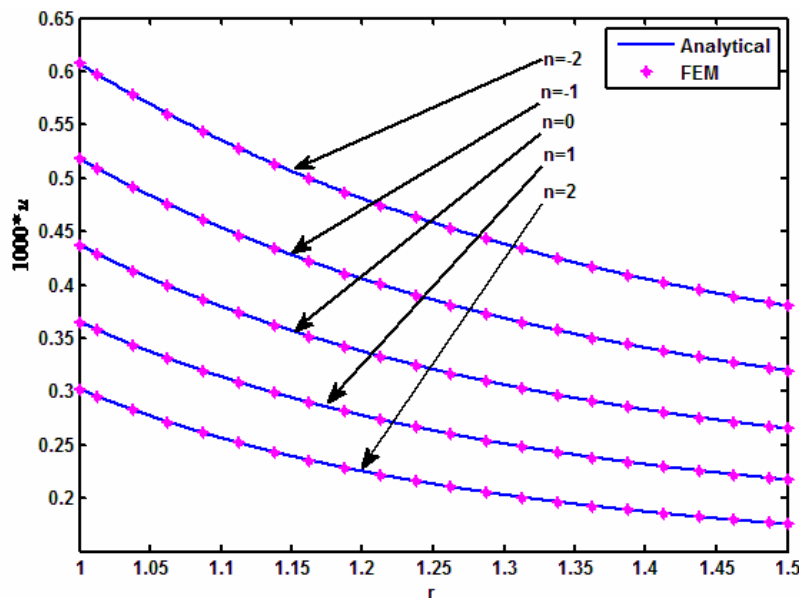
برای شرایطی که مخزن کروی فقط تحت فشار داخلی  $p_i = p$  باشد با استفاده از روابط (۴۶-۲) تا (۸-۲) تغییرات تنش شعاعی، تنش محیطی و جابجایی شعاعی در طول جداره، در شکل‌های (۶-۲) تا (۸-۲) آورده شده است.



شکل ۶: تغییرات تنش شعاعی در امتداد ضخامت جداره ( $p_i = p$ ;  $p_o = 0$ )



شکل ۷: تغییرات تنش محیطی در طول ضخامت جداره ( $p_i = p$ ;  $p_o = 0$ )



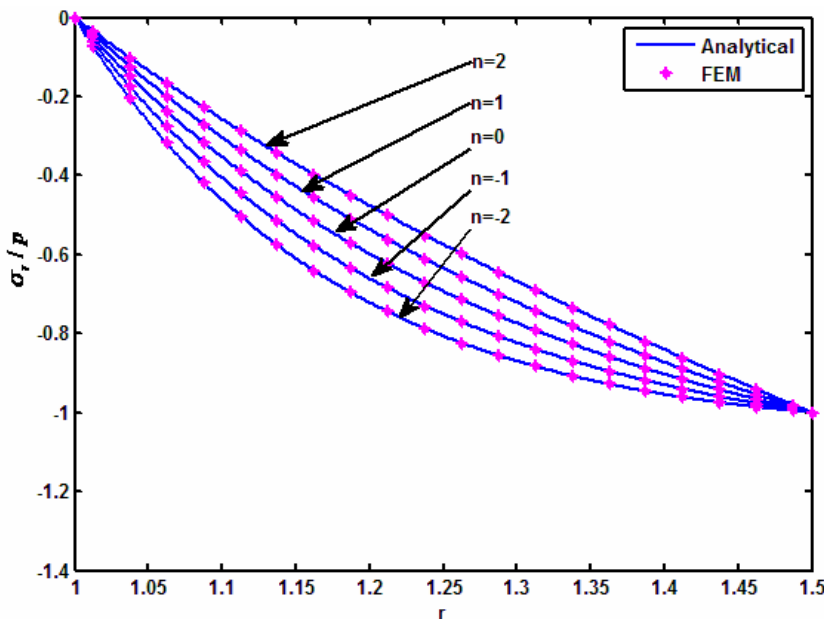
شکل ۸-۲: تغییرات جابجایی شعاعی در امتداد ضخامت جداره ( $p_i = p$ ;  $p_o = 0$ )

همانطور که در شکل (۶-۲) مشاهده می‌شود، افزایش ثابت ناهمگنی  $n$  باعث کاهش تنش شعاعی می‌شود. همچنین می‌توان دید که در این شرایط مرزی در سطح داخل و خارج کاملاً ارضامی-شوند. در شکل (۷-۲) تغییرات تنش محیطی در راستای ضخامت آورده شده است. در این شکل برای  $n=2$  تنش محیطی در راستای ضخامت افزایش می‌یابد. در حالی که برای سایر مقادیر بررسی شده، وضعیت معکوس شده و تنش محیطی در راستای ضخامت کاهش می‌یابد. تنش محیطی (که تنش بیشینه نیز می‌باشد) در بازه‌ی  $2 < n < 1$  دارای کمترین تغییرات در راستای ضخامت است، و تقریباً ثابت می‌باشد که از نظر کنترل تنش در این نوع سازه‌ها امتیاز ویژه‌ای است. در فاصله‌ی تقریبی  $1.20 < r < 1.25$  تنش محیطی به ازای تمامی مقادیر  $n$  به سمت مقدار تنش محیطی در حالت همگن  $n=0$  می‌کند. همچنین از این شکل می‌توان مشاهده نمود که تنش محیطی به ازای  $n < 0$  در نیمه‌ی داخلی جداره، بیشتر از ماده همگن و در نیمه‌ی خارجی جداره، کمتر از ماده‌ی همگن است.

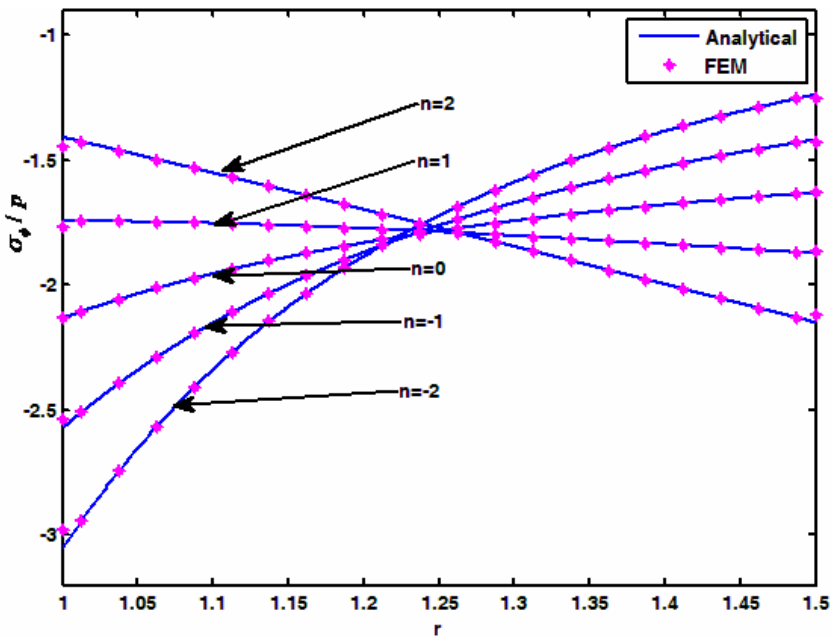
در شکل (۸-۲) تغییرات جابجایی شعاعی در راستای ضخامت آورده شده است. در اینجا موادی که ثابت ناهمگنی  $n$  بزرگتری دارند، مطابق رابطه‌ی (۱۸-۲) دارای استحکام بیشتری هستند. همانطور که در شکل (۸-۲) نیز مشاهده می‌شود، افزایش ثابت ناهمگنی  $n$  باعث کاهش جابجایی شعاعی می‌شود. به طوری که به ازای  $0 < n$  جابجایی کره نسبت به ماده‌ی همگن بیشتر است و به ازای  $n > 0$  کمتر است. که این روند تغییرات مطابق رابطه‌ی (۱۸-۲) قابل پیش‌بینی است، به طوری که این نوع مواد با افزایش  $n$  از استحکام بیشتری برخوردارند و لذا مطابق رابطه‌ی هوک، بایستی تغییر شکل کمتر نیز نسبت به مواد همگن داشته باشند. روند تغییرات تقریباً مشابه با حالت همگن می‌باشد به طوری که برای همه‌ی مقادیر  $n$  تغییرات در راستای شعاعی نزولی می‌باشد.

### ب) کره تحت فشار خارجی ( $p_o = p, p_i = 0$ )

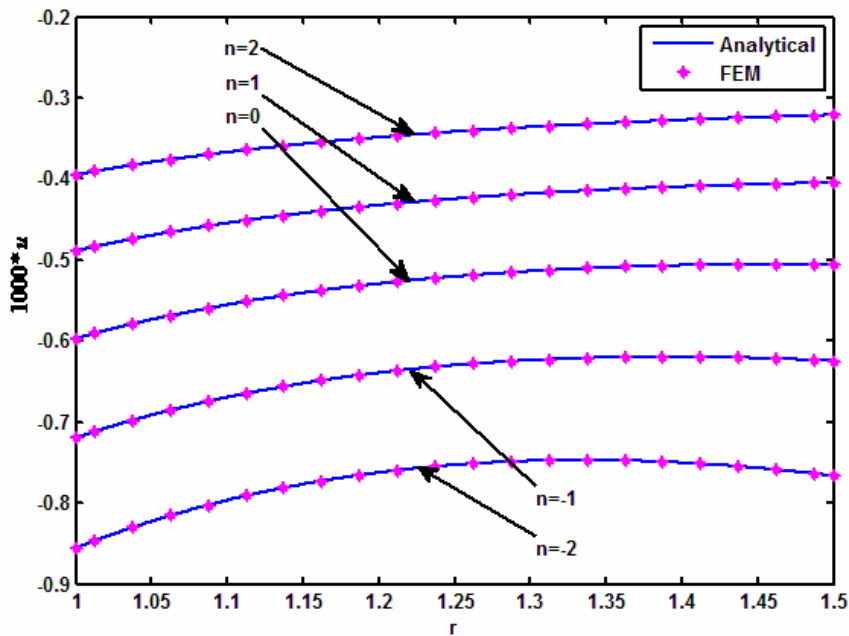
برای شرایطی که کره تحت فشار خارجی  $p_o = p$  باشد، با استفاده از روابط (۴۷-۲) تغییرات تنش شعاعی، تنش محیطی و جابجایی شعاعی در طول جداره، در شکل‌های (۹-۲) تا (۱۱-۲) آورده شده است.



شکل ۹-۲: تغییرات تنش شعاعی در امتداد جداره ( $p_i = 0; p_o = p$ )



شکل ۱۰-۲: تغییرات تنش محیطی در امتداد جداره ( $p_i = 0$ ;  $p_o = p$ )



شکل ۱۱-۲: تغییرات جابجایی در امتداد جداره ( $p_i = 0$ ;  $p_o = p$ )

. همانطور که در شکل (۹-۲) مشاهده می شود، افزایش ثابت ناهمگنی  $n$  باعث افزایش تنش

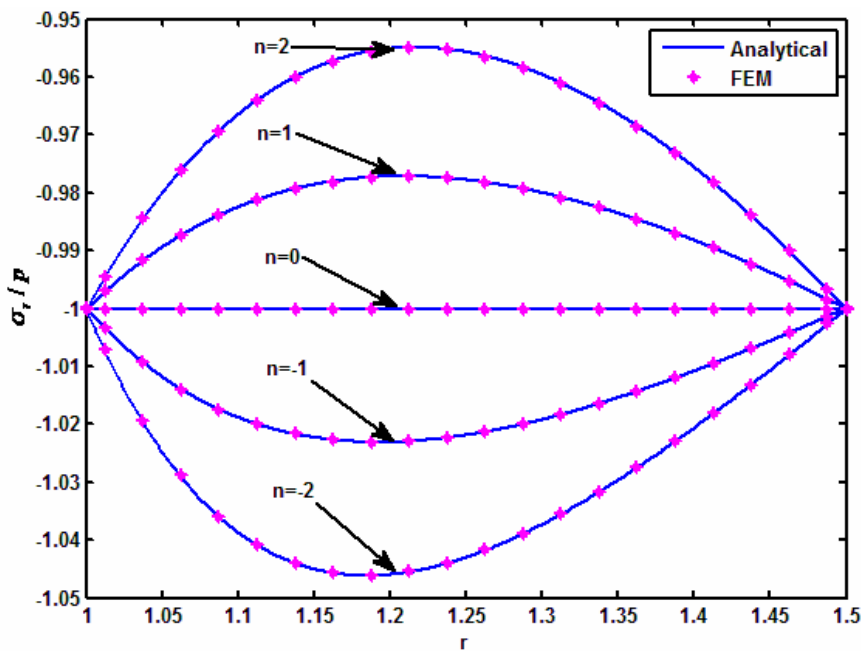
شعاعی می شود. همچنین می توان دید که در این شکل شرایط مرزی در سطح داخل و خارج کاملا

ارضا می‌شوند. در شکل (۱۰-۲) تغییرات تنفس محیطی در راستای ضخامت آورده شده است. در این شکل برای  $n < 1$  تنفس محیطی در راستای ضخامت افزایش می‌یابد. در حالی که برای  $n > 1$  وضعیت معکوس شده و تنفس محیطی در راستای ضخامت کاهش می‌یابد. در فاصله‌ی تقریبی  $1.20 < r < 1.25$  تنفس محیطی به ازای تمامی مقادیر  $n$  به سمت مقدار تنفس محیطی در حالت همگن  $n = 0$  میل می‌کند. همچنین از این شکل می‌توان مشاهده نمود که تنفس محیطی به ازای  $n < 0$  در نیمه‌ی داخلی جداره، کمتر از ماده همگن و در نیمه‌ی خارجی جداره، بیشتر از ماده‌ی همگن است. و برای  $n > 0$  بر عکس در نیمه‌ی داخلی جداره، بیشتر از ماده همگن و در نیمه‌ی خارجی جداره، کمتر از ماده‌ی همگن است.

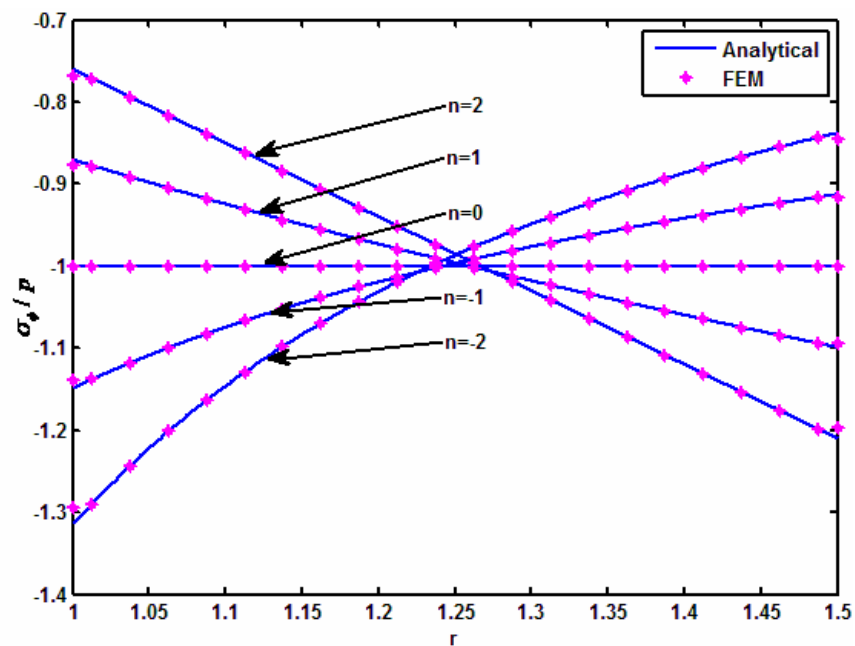
در شکل (۱۱-۲) تغییرات جابجایی در راستای ضخامت آورده شده است. همانطور که مشاهده می‌شود، افزایش ثابت ناهمگنی  $n$  باعث کاهش جابجایی شعاعی می‌شود. به طوری که به ازای  $n > 0$  جابجایی کره نسبت به ماده‌ی همگن بیشتر است و به ازای  $n < 0$  کمتر است. که این روند تغییرات مطابق رابطه‌ی (۱۸-۲) قابل پیش‌بینی است، به طوری که این نوع مواد با افزایش  $n$  از استحکام بیشتری برخوردارند لذا مطابق رابطه‌ی هوک، باستی تغییر شکل کمتری نسبت به مواد همگن داشته باشد. روند تغییرات تقریباً مشابه با حالت همگن می‌باشد، به طوری که برای همه‌ی مقادیر  $n$ ، تغییرات در راستای شعاعی تقریباً صعودی می‌باشد، به طوری که در لایه‌های نزدیک به جدار خارجی شب تغییرات با افزایش  $n$  کاهش می‌یابد.

**(ج) کره تحت فشار داخلی و خارجی ( $p_o = p_i = p$ )**

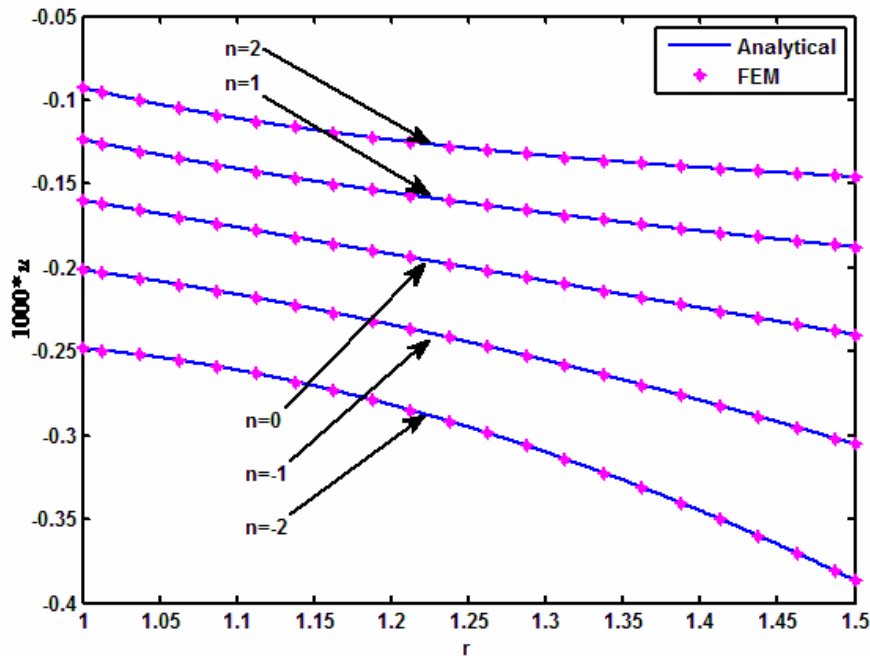
در حالتی که کره تحت فشار داخلی و خارجی  $p_o = p_i = p$  باشد، تغییرات تنفس شعاعی، تنفس محیطی و جابجایی شعاعی را در راستای جداره، در شکل‌های (۱۲-۲) تا (۱۴-۲) آورده شده است.



شکل ۱۲-۲: تغییرات تنش شعاعی در امتداد جداره ( $p_i = p$ ;  $p_o = p$ )



شکل ۱۳-۲: تغییرات تنش محیطی در امتداد جداره ( $p_i = p$ ;  $p_o = p$ )



شکل ۱۴-۲: تغییرات جابجایی در امتداد جداره ( $p_i = p$ ;  $p_o = p$ )

همان رفتاری که در شکل های (۹-۲)، (۱۰-۲) و (۱۱-۲) مشاهده شد در شکل های (۱۲-۲)، (۱۳) و (۱۴-۲) نیز مشاهده می شود.

## ۷-۲ - بررسی توزیع تنش موثر در مواد FG

با توجه به تنوع بارگذاری و اثرات ثابت ناهمگنی در توزیع مولفه های تنش، تصمیم گیری برای طراحی سازه های FGM و کنترل تنش در این مواد را پیچیده می کند. در این بخش با تعریف تنش موثر، به طور خلاصه به بررسی توزیع تنش موثر در مواد FG پرداخته می شود. تنش موثر، یا همان تنش فن میزس به صورت زیر تعریف می شود.

$$\left\{ \begin{array}{l} \sigma_{eff} = \frac{1}{\sqrt{2}} \sqrt{(\sigma_{ii} - \sigma_{jj})^2 + (\sigma_{jj} - \sigma_{kk})^2 + (\sigma_{ii} - \sigma_{kk})^2 + 3(\tau_{ij}^2 + \tau_{jk}^2 + \tau_{ik}^2)} \\ i, j, k = 1..3 \end{array} \right. \quad (49-2)$$

که در این رابطه  $\sigma_{eff}$  تنش موثر بوده و  $\sigma_{ij}$  و  $\tau_{ij}$  مولفه های تنش در یک المان دلخواه می باشند. رابطه (۴۹-۲) براساس تنش های اصلی به صورت زیر بیان می شود.

$$\left\{ \begin{array}{l} \sigma_{eff} = \frac{1}{\sqrt{2}} \sqrt{(\sigma_i - \sigma_j)^2 + (\sigma_j - \sigma_k)^2 + (\sigma_i - \sigma_k)^2} \\ i, j, k = 1..3 \end{array} \right. \quad (50-2)$$

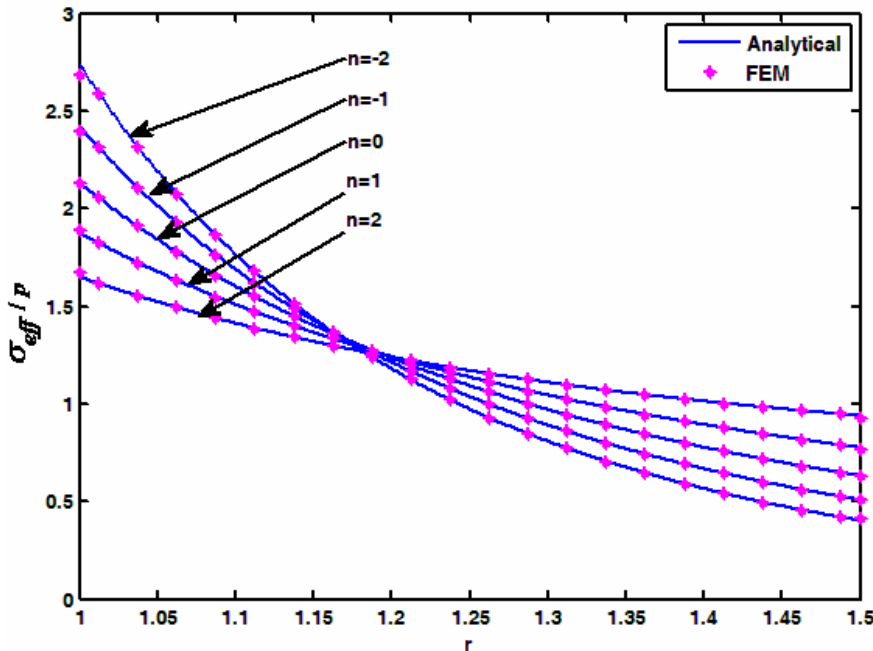
که در این رابطه  $\sigma$  تنش‌های اصلی در یک المان می‌باشد. با در نظر گرفتن رابطه‌ی (۱۰-۲) برای کره می‌توان نوشت.

$$\sigma_{eff} = \frac{1}{\sqrt{2}} \sqrt{(\sigma_r - \sigma_\phi)^2 + (\sigma_\phi - \sigma_\theta)^2 + (\sigma_r - \sigma_\theta)^2} \quad (51-2)$$

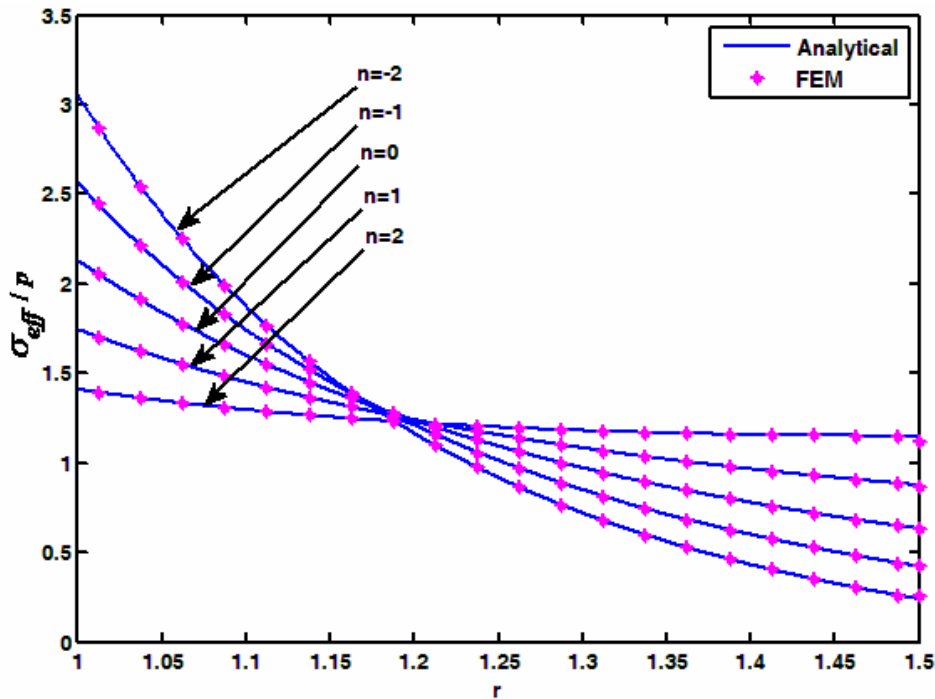
که با توجه به تقارن  $\sigma_\theta = \sigma_\phi$  رابطه‌ی (۵۱-۲) به صورت زیر ساده می‌شود.

$$\sigma_{eff} = |\sigma_r - \sigma_\phi| \quad (52-2)$$

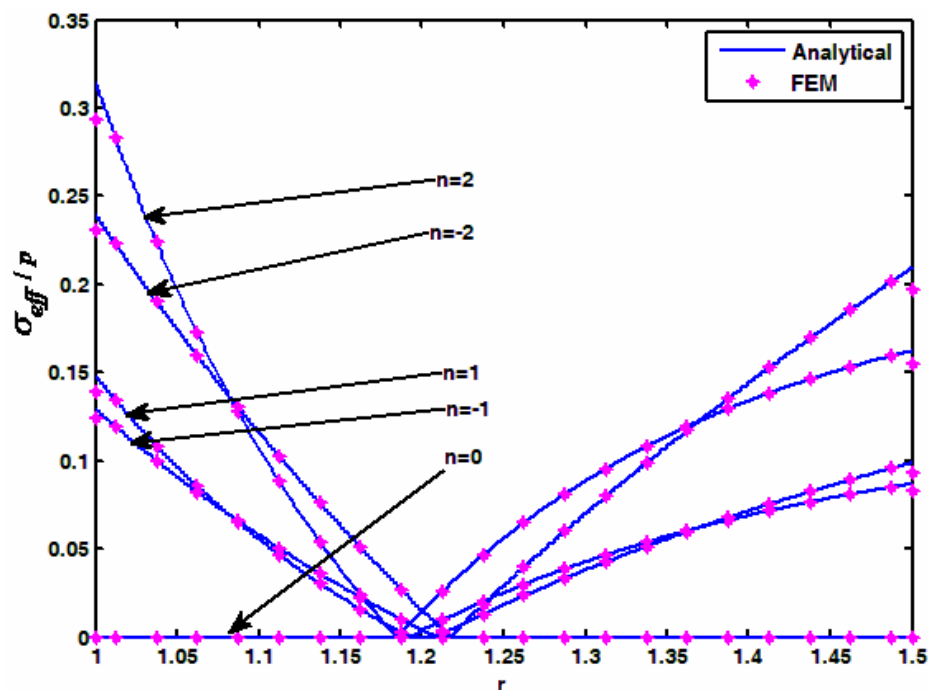
که این رابطه نشان می‌دهد در این حالت معیارهای فن‌میزس و ترسکا نتیجه یکسانی دارند. با در نظر گرفتن رابطه‌ی (۵۲-۲) و همچنین با توجه به مطالب ارائه شده در بخش قبل نمودارهای مربوط به تنش موثر به صورت زیر در سه حالت  $(p_o = p_i = p)$ ،  $(p_o = p, p_i = 0)$  و  $(p_o = 0, p_i = p)$  در شکل‌های (۱۵-۲) تا (۱۷-۲) آورده شده است.



شکل ۲: تغییرات تنش فن‌میزس در امتداد جداره  $(p_i = p; p_o = 0)$



شکل ۲-۱۶: تغییرات تنش فن میزس در امتداد جداره ( $p_i = 0$ ;  $p_o = p$ )



شکل ۲-۱۷: تغییرات تنش فن میزس در امتداد جداره ( $p_i = p_o = p$ )

در شکل (۱۵-۲) تغییرات تنش فن میزس در راستای ضخامت در شرایطی که کره تحت فشار داخلی باشد، آورده شده است. همانطور که مشاهده می‌شود، تنش فن میزس به ازای  $n < 0$  در نیمه-ی داخلی جداره، بیشتر از همگن و در نیمه‌ی خارجی جداره، کمتر از ماده‌ی همگن است. برای  $n > 0$  بر عکس در نیمه‌ی داخلی جداره، کمتر از ماده‌ی همگن و در نیمه‌ی خارجی جداره، بیشتر از ماده‌ی همگن است. در فاصله‌ی تقریبی  $r < 1.20$  تنش فن میزس به ازای تمامی مقادیر  $n$  به سمت مقدار تنش فن میزس در حالت همگن  $n = 0$  میل می‌کند. همچنانی از این شکل می‌توان مشاهده نمود که تنش فن میزس در راستای ضخامت با افزایش  $n$  هموارتر شده و در واقع تغییرات کمتری رخ می‌دهد.

در شکل (۱۶-۲) تغییرات تنش فن میزس در راستای ضخامت در شرایطی که کره تحت فشار خارجی باشد، آورده شده است. تغییرات تنش فن میزس در کره تحت فشار داخلی رفتار مشابه‌ای با کره تحت فشار خارجی دارد.

در شکل (۱۷-۲) تغییرات تنش فن میزس در راستای ضخامت در شرایطی که کره تحت فشار داخلی و خارجی باشد، آورده شده است. مطابق این شکل با کاهش اندازه‌ی  $n$  مقدار تنش فن میزس و تغییرات آن در راستای ضخامت کاهش می‌باید، به‌طوری که برای مواد همگن تنش فن میزس در سرتاسر جدار برابر صفر است.

## ۸-۲- بررسی دقت المان محدود در تحلیل مواد FG با بارگذاری مکانیکی

همانطور که در نتایج و شکل‌ها مشاهده شد، تطبیق بسیار خوبی میان نتایج حاصل از دو روش وجود دارد. در اینجا به عنوان نمونه نتایج عددی دو روش تحلیلی (دقیق) و روش المان محدود کره‌های تحت فشار داخلی برای چند مقدار دلخواه از شعاع کره در جداول زیر آورده شده است. در این جداول نشان دهنده‌ی درصد خطای میان نتایج تحلیلی و المان محدود می‌باشد که مطابق رابطه‌ی  $\%Error$

زیر تعریف می‌شود:

$$\%Error = \left| \frac{Anal. - FEM}{Anal.} \right| 100 \quad (53-2)$$

جدول ۲-۲ : مقایسه نتایج تحلیلی و المان محدود برای  $n=1$

r	Type	$\frac{\sigma_r}{p}$		$\frac{\sigma_\phi}{p}$		$\frac{\sigma_{eff}}{p}$		$u_r * 1000$	
		value	%Err	value	%Err	value	%Err	value	%Err
1	Anal.	-1		0.87467		1.87467		0.36491	
	FEM	-0.99925	0.07550	0.89042		1.88966	0.79988	0.36486	
1.0875	Anal.	-0.71388		0.83381		1.54770		0.31913	
	FEM	-0.71400	0.01617	0.83394	0.01515	1.54794	0.01562	0.31911	0.00673
1.1875	Anal.	-0.46681		0.80434		1.27115		0.28123	
	FEM	-0.46688	0.01474	0.80441	0.00909	1.27129	0.0117	0.28121	
1.2875	Anal.	-0.27843		0.78725		1.06569		0.25384	
	FEM	-0.27848	0.01530	0.78729	0.00519	1.06577	0.0783	0.25382	
1.3875	Anal.	-0.13105		0.77859		0.90963		0.23373	
	FEM	-0.13108	0.02079	0.77860	0.00246	0.90968	0.0510	0.23371	
1.5	Anal.	0		0.77574		0.77574		0.21721	
	FEM	0.00015	-----	0.76916	0.84941	0.76901	0.86835	0.21719	

هرچند که در تحلیل المان محدود تغییرات خواص مکانیکی، با تقریب ۲۰ لایه‌ی کامپوزیتی در مدل مورد نظر اعمال شده است، اما همانطور که مشاهده می‌شود، خطای میان نتایج دو روش تحلیلی و المان محدود بسیار اندک است. اگرچه در جدار داخلی و خارجی افزایش خطا تا ۱,۲٪ ایجاد می‌شود، اما در سایر نقاط خطا کمتر از ۰,۰۲٪ می‌باشد. افزایش خطا در جدار داخلی و خارجی بدليل ثابت در نظر گرفتن خواص مواد در هر لایه می‌باشد. لذا می‌توان پیش‌بینی کرد که با افزایش تعداد لایه‌ها، تغییرات خواص مواد با دقت بالاتری از تغییرات خواص مواد در یک ماده‌ی FG تبعیت می‌کند و در نتیجه خطای کمتری در نتایج خروجی ایجاد خواهد شد.

به طور کلی می‌توان در شرایطی که شکل هندسی مسئله یا بارگذاری پیچیده باشد، از تقریب کامپوزیتی در روش المان محدود برای تحلیل مواد FG با دقت مناسبی بهره جست.

### فصل ۳

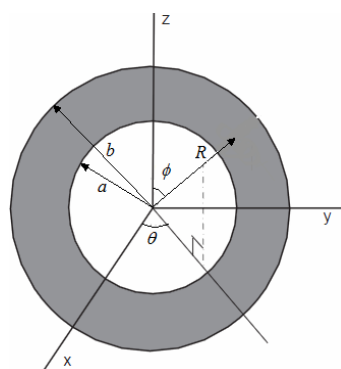
تحلیل ترمولاستیک پوسته های کروی FGM

### ۱-۳ - مقدمه

در این فصل با در نظر گرفتن روابط کلی ترمومالاستیسیتهای حاکم بر پوسته‌های کروی که تکمیل روابط فصل قبل می‌باشد، به تحلیل ترمومالاستیک پوسته‌های جدار ضخیم کروی از مواد همگن پرداخته و معادلات ناویر در آنها استخراج شده است. سپس با در نظر گرفتن اثر مواد FG در معادلات ناویر، یک حل ترمومالاستیک از کره‌ی FG جدار ضخیم، تحت فشار داخلی و خارجی ارائه داده شده است. سپس با استفاده از روش المان محدود به شبیه‌سازی ترمومالاستیک پوسته‌های کروی FGM در نرمافزار ABAQUS پرداخته و در انتهای این فصل نتایج تحلیلی و عددی با یک مثال نمونه، مقایسه می‌شود.

### ۲-۳ - تحلیل ریاضی پوسته‌های کروی همگن [۳۵]

یک کره‌ی جدار ضخیم، با شعاع داخلی  $a$  و شعاع بی‌بعد  $r$  که بصورت  $r = \frac{R}{a}$  نرمالیزه شده که در آن  $R$  شعاع متغیر کره می‌باشد، فرض شده و برای تحلیل، دستگاه مختصات  $(R, \phi, \theta)$  که مبدأ آن مرکز کره می‌باشد در نظر گرفته می‌شود. هندسه‌ی کره نسبت به محورهای مختصات در شکل(۳-۱) نشان داده شده است.



شکل ۳-۱: نمایش هندسه کره جدار ضخیم

مشابه آنچه در فصل قبل بیان شد به دلیل تقارن در هندسه، بارگذاری و ماده‌ی کره  $u_\theta = u_\phi = 0$

و  $\sigma_\theta = \sigma_\phi$  خواهد بود و می‌توان نوشت:

$$\frac{\partial}{\partial \theta} = 0, \frac{\partial}{\partial \phi} = 0 \quad (1-3)$$

لذا با در نظر گرفتن معادلات سینماتیک در حالت کلی، این معادلات برای کرنش‌های مکانیکی به

صورت زیر ساده خواهند شد:

$$(\varepsilon_r)_M = \frac{du_r}{dr}; \quad (\varepsilon_\phi)_M = (\varepsilon_\theta)_M = \frac{u_r}{r}; \quad (\gamma_{r\phi})_M = (\gamma_{\theta\phi})_M = (\gamma_{r\theta})_M = 0 \quad (2-3)$$

که در آن اندیس  $(M)$  نشان دهنده‌ی مکانیکی بودن کرنش‌ها می‌باشد. صفر شدن کرنش‌های

برشی باعث صفر شدن تنش‌های برشی خواهد شد. لذا تانسور تنش و تانسور کرنش مکانیکی و بردار

جابجایی در یک کره‌ی جدار ضخیم به صورت روابط زیر ارائه می‌شوند.

$$[\sigma_{ij}] = \begin{bmatrix} \sigma_r & 0 & 0 \\ 0 & \sigma_\phi & 0 \\ 0 & 0 & \sigma_\phi \end{bmatrix} \quad (3-3)$$

$$[\varepsilon_{ij}]_M = \begin{bmatrix} (\varepsilon_r)_M & 0 & 0 \\ 0 & (\varepsilon_\phi)_M & 0 \\ 0 & 0 & (\varepsilon_\theta)_M \end{bmatrix} \quad (4-3)$$

$$[u_i] = \begin{bmatrix} u_r \\ 0 \\ 0 \end{bmatrix} \quad (5-3)$$

از طرفی دیگر برای کرنش‌های حرارتی می‌توان نوشت.

$$[\varepsilon_T] = \begin{bmatrix} \alpha\Theta(r) & 0 & 0 \\ 0 & \alpha\Theta(r) & 0 \\ 0 & 0 & \alpha\Theta(r) \end{bmatrix} \quad (6-3)$$

که در آن  $\alpha$  ضریب انبساط حرارتی ماده برواحد  $(\frac{1}{\theta_c})$  می‌باشد. همچنین  $\Theta(r)$  تغییرات دما در راستای ضخامت به صورت تابعی از شعاع کره است که واحد آن ( $c^\circ$ ) می‌باشد. این تغییرات نسبت به دمای مرجع سنجیده می‌شود. به طوری که  $T(r) = T_0 - \Theta(r)$  بوده و  $T_0$  دمای مرجع می‌باشد.

لذا کرنش کلی به صورت زیر محاسبه می‌شود.

$$\begin{cases} (\varepsilon_r)_{Total} = (\varepsilon_r)_M + \varepsilon_T \\ (\varepsilon_\phi)_{Total} = (\varepsilon_\theta)_{Total} = (\varepsilon_\phi)_M + \varepsilon_T \end{cases} \quad (7-3)$$

این رابطه را می‌توان به کمک روابط (۴-۳) و (۶-۳) به صورت زیربازنویسی کرد: ( از این پس از اندیس  $M$  برای کرنش‌های مکانیکی استفاده نمی‌شود و عبارت  $\varepsilon_\theta, \varepsilon_\phi, \varepsilon_r$  نمایانگر همان کرنش‌های مکانیکی است)

$$[\varepsilon_{ij}] = \begin{bmatrix} \varepsilon_r & 0 & 0 \\ 0 & \varepsilon_\phi & 0 \\ 0 & 0 & \varepsilon_\phi \end{bmatrix} + \begin{bmatrix} \alpha\Theta(r) & 0 & 0 \\ 0 & \alpha\Theta(r) & 0 \\ 0 & 0 & \alpha\Theta(r) \end{bmatrix} \quad (8-3)$$

حال از جایگذاری تانسور تنش بدست آمده از رابطه (۳-۳) در معادلات تعادل می‌توان نوشت:

$$\frac{d\sigma_r}{dr} + \frac{2}{r}(\sigma_r - \sigma_\phi) = 0 \quad (9-3)$$

این معادله یک معادله دیفرانسیل با دو متغیر می‌باشد. در این رابطه می‌توان به جای تنش-های  $\sigma_r, \sigma_\phi$  از معادلات رفتاری ارائه شده در فصل دو (۶-۲) و با در نظر گرفتن رابطه (۸-۳) استفاده کرد. با توجه به اینکه  $\sigma_\theta = \sigma_\phi$  و همچنین  $\varepsilon_\theta = \varepsilon_\phi$  می‌توان مسئله را به صورت دوبعدی حل نمود.

لذا می‌توان نوشت:

$$\begin{Bmatrix} \varepsilon_r \\ \varepsilon_\phi \end{Bmatrix} = \frac{1}{E} \begin{bmatrix} 1 & -2\nu \\ -\nu & 1-\nu \end{bmatrix} \begin{Bmatrix} \sigma_r \\ \sigma_\phi \end{Bmatrix} + \alpha\Theta(r) \begin{bmatrix} 1 \\ 1 \end{bmatrix} \quad (10-3)$$

که در این رابطه تغییرات دما به صورت یکبعدی و انتقال حرارت پایا فرض شده است. اکنون می‌توان از معادله فوق تنش‌های  $\sigma_r, \sigma_\phi$  را استخراج کرد که به نتیجه‌ی زیر می‌انجامد:

$$\begin{Bmatrix} \sigma_r \\ \sigma_\phi \end{Bmatrix} = \frac{E}{(1+\nu)(1-2\nu)} \begin{bmatrix} 1-\nu & 2\nu \\ \nu & 1 \end{bmatrix} \begin{Bmatrix} \epsilon_r \\ \epsilon_\phi \end{Bmatrix} - \alpha \Theta(r) \begin{bmatrix} 1 \\ 1 \end{bmatrix} \quad (11-3)$$

به جای کرنش‌های  $\epsilon_r, \epsilon_\phi$  با استفاده از رابطه‌ی (۲-۳) از روابط معادل جابجایی استفاده می‌شود:

$$\begin{Bmatrix} \sigma_r \\ \sigma_\phi \end{Bmatrix} = \frac{E}{(1+\nu)(1-2\nu)} \begin{bmatrix} 1-\nu & 2\nu \\ \nu & 1 \end{bmatrix} \begin{Bmatrix} \frac{\partial u_r}{\partial r} \\ \frac{u_r}{r} \end{Bmatrix} - \alpha \Theta(r) \begin{bmatrix} 1 \\ 1 \end{bmatrix} \quad (12-3)$$

اکنون که دو متغیر ارائه شده در معادله‌ی تعادل با یک متغیر  $u_r$  بیان شده‌اند، از جایگذاری رابطه‌ی

(۱۲-۳) در معادله‌ی تعادل می‌توان نوشت:

$$\begin{aligned} & \frac{d}{dr} \left\{ (1-\nu) \left( \frac{du_r}{dr} - \alpha \Theta(r) \right) + 2\nu \left( \frac{u_r}{r} - \alpha \Theta(r) \right) \right\} \\ & + \frac{2}{r} \left\{ \left[ (1-\nu) \left( \frac{du_r}{dr} - \alpha \Theta(r) \right) + 2\nu \left( \frac{u_r}{r} - \alpha \Theta(r) \right) \right] - \left[ \nu \left( \frac{du_r}{dr} - \alpha \Theta(r) \right) + \frac{u_r}{r} - \alpha \Theta(r) \right] \right\} = 0 \\ \Rightarrow & u_r'' + 2 \frac{u_r'}{r} - 2 \frac{u_r}{r^2} = \alpha \frac{1+\nu}{1-\nu} \frac{d(\Theta(r))}{dr} \end{aligned}$$

معادله‌ی فوق در واقع معادله‌ی ناویر برای کره‌های همگن تحت کوپل دمایی می‌باشد. که می‌توان

آن را به صورت زیر نیز نوشت:

$$\frac{d}{dr} \left( \frac{1}{r^2} \frac{d}{dr} (r^2 u_r) \right) = \alpha \frac{1+\nu}{1-\nu} \frac{d(\Theta(r))}{dr} \quad (13-3)$$

با حل معادله دیفرانسیل (۳۵-۲) می‌توان نوشت:

$$\begin{cases} u_r(r) = \frac{\alpha}{r^2} \frac{1+\nu}{1-\nu} I + c_1 r + \frac{c_2}{r^2} \\ I = \int_a^r r^2 \Theta(r) dr \end{cases} \quad (14-3)$$

که در آن  $c_1, c_2$  دو ثابت دلخواه بوده که می‌توانند با استفاده از شرایط مرزی بدست آیند. رابطه‌ی

در بخش ۴-۳ تحلیل شده است.

### ۳-۳- فرمول بندی ترمومالاستیک پوسته های کروی

همانطور که در فصل (۱) اشاره شد در مواد FG، خواص (مکانیکی، ترمومکانیکی، مغناطیسی) ماده به طور پیوسته تغییر می‌کند. در این تحلیل خواص مواد براساس توزیع توانی نسبت به شعاع در نظر گرفته می‌شود که در آن فرض شده است که خواص مکانیکی به جز ضریب پواسون تغییر می‌کنند. لذا با در نظر گرفتن شکل هندسی و محورهای مختصات تعریف شده در بخش قبل تغییرات مدول الاستیسیته و ضریب انبساط حرارتی برای مواد FG به صورت زیر فرض می‌شود.

$$E(r) = E_i r^{n_1}, \quad \alpha(r) = \alpha_i r^{n_2} \quad (15-3)$$

که در این رابطه  $n_1$  و  $n_2$  ثابت ناهمگنی و  $E_i$  و  $\alpha_i$  به ترتیب مدول الاستیک و ضریب انبساط حرارتی در جدار داخلی کره می‌باشد. لذا این مواد در معادلات رفتاری تاثیر گذاشته و در نتیجه معادلات ارائه شده در بخش قبل به صورت زیر برای مواد FG نوشته می‌شوند.

$$\begin{Bmatrix} \varepsilon_r \\ \varepsilon_\phi \end{Bmatrix} = \frac{1}{E(r)} \begin{bmatrix} 1 & -2\nu \\ -\nu & 1-\nu \end{bmatrix} \begin{Bmatrix} \sigma_r \\ \sigma_\phi \end{Bmatrix} + \alpha(r) \Theta(r) \begin{bmatrix} 1 \\ 1 \end{bmatrix} \quad (16-3)$$

اگر معادله‌ی فوق براساس تنش‌های  $\sigma_r$  و  $\sigma_\phi$  بازنویسی شود، می‌توان نوشت.

$$\begin{cases} \sigma_r = \frac{E_i r^{n_1}}{(1+\nu)(1-2\nu)} \left\{ (1-\nu)\varepsilon_r + 2\nu\varepsilon_\phi - (1+\nu)\alpha_i r^{n_2} \Theta(r) \right\} \\ \sigma_\phi = \frac{E_i r^{n_1}}{(1+\nu)(1-2\nu)} \left\{ \nu\varepsilon_r + \varepsilon_\phi - (1+\nu)\alpha_i r^{n_2} \Theta(r) \right\} \end{cases} \quad (17-3)$$

و در سایر معادلات همانند مواد همگن عمل می‌کنند. لذا در اینجا نیز همان معادله‌ی تعادل (۲-۱۳) حاکم می‌باشد. برای حل این معادله می‌توان در رابطه‌ی (۱۷-۳) مجدداً با استفاده از معادلات سینماتیک (۲-۳) به جای کرنش‌های  $\varepsilon_r$  و  $\varepsilon_\phi$  از روابط معادل جابجایی استفاده کرد.

$$\begin{cases} \sigma_r = \frac{E_i r^{n_1}}{(1+\nu)(1-2\nu)} \left\{ (1-\nu) \frac{\partial u_r}{\partial r} + 2\nu \frac{u_r}{r} - (1+\nu) \alpha_i r^{n_2} \Theta(r) \right\} \\ \sigma_\phi = \frac{E_i r^{n_1}}{(1+\nu)(1-2\nu)} \left\{ \nu \frac{\partial u_r}{\partial r} + \frac{u_r}{r} - (1+\nu) \alpha_i r^{n_2} \Theta(r) \right\} \end{cases} \quad (18-3)$$

اگر این رابطه را در معادلهٔ تعادل قرار داده شود پس از ساده سازی آن منجر به معادلهٔ دیفرانسیل زیر می‌شود.

$$r^2 u_r'' + A r u_r' + B u_r = \frac{1+\nu}{1-\nu} \alpha_i r^{n_2} \left\{ r(n_1 + n_2) \Theta(r) + r^2 \frac{\partial \Theta(r)}{\partial r} \right\} \quad (19-3)$$

این معادله در واقع معادلهٔ ناویر برای کره‌های ناهمگن تحت کوپل دمایی می‌باشد. که در آن ضرایب  $A, B$  طبق رابطهٔ (22-2) در فصل ۲ تعریف می‌شود.

### ۴-۳- انتقال حرارت هدایتی یکنواخت یک بعدی

برای مشخص کردن رابطهٔ  $\Theta(r)$  در معادلهٔ دیفرانسیل (19-3) فرض می‌شود که انتقال حرارت به صورت یکنواخت و در راستای شعاعی باشد. معادله انتقال حرارت در شرایط دما-حالت پایدار به

صورت زیر بیان می‌شود [۳۵] :

$$\frac{1}{r^2} \frac{\partial}{\partial r} \left( \lambda r^2 \frac{\partial \Theta}{\partial r} \right) + \frac{1}{r^2 \sin \theta} \frac{\partial}{\partial \theta} \left( \lambda \sin \theta \frac{\partial \Theta}{\partial \theta} \right) + \frac{1}{r^2 \sin \theta} \frac{\partial}{\partial \phi} \left( \lambda \frac{\partial \Theta}{\partial \phi} \right) = 0 \quad (20-3)$$

که در این رابطه  $\lambda$  ضریب انتقال حرارت هدایتی می‌باشد. که برای مواد تابعی به صورت زیر فرض می‌شود.

$$\lambda(r) = \lambda_i r^{n_3} \quad (21-3)$$

که در این رابطه  $n_3$  ثابت ناهمگنی و  $\lambda_i$  ضریب انتقال حرارت هدایتی در جدار داخلی کره می‌باشد.

طبق فرض چون انتقال حرارت در راستای شعاعی فرض می‌شود، لذا معادله انتقال حرارت به صورت زیر ساده می‌شود.

$$\frac{1}{r^2} \frac{\partial}{\partial r} \left( r^2 \lambda(r) \frac{\partial \Theta(r)}{\partial r} \right) = 0 \quad (22-3)$$

**الف)**  $n_3 \neq -1$

در حالتی که  $n_3 \neq -1$  با حل معادله انتقال حرارت می‌توان نوشت.

$$\Theta(r) = c_5 r^{-(n_3+1)} + c_6 \quad (23-3)$$

که در آن  $c_5$  و  $c_6$  دو ثابت دلخواه می‌باشند. شرایط مرزی دمایی برای کره‌ی توخالی FGM به

صورت زیر می‌باشد:

$$\begin{cases} \lambda(r) \frac{d\Theta}{dr} = 0 & \text{on } r=1 \\ -\lambda(r) \frac{d\Theta}{dr} = 0 & \text{on } r=k \end{cases} \quad (24-3)$$

پس از اعمال شرایط مرزی در معادله انتقال حرارت ثابت‌های  $c_5, c_6$  به صورت زیر بدست می-

آیند.

$$\begin{cases} c_5 = -\frac{k(\Theta_i - \Theta_o)}{\left(\frac{1}{k^{n_3+1}} - 1\right)} \\ c_6 = \frac{\left(\frac{\Theta_i}{k^{n_3+1}} - \Theta_o\right)}{\left(\frac{1}{k^{n_3+1}} - 1\right)} \end{cases} \quad (25-3)$$

که در آن  $\Theta_i$  و  $\Theta_o$  دمای نسبی در جداره‌ها و زیرنویس  $i$  و  $o$  مترادف با سطوح  $R=b$  و  $R=a$  به

ترتیب می‌باشد. با قراردادن ثابت‌های بدست آمده در رابطه‌ی توزیع دما، معادله انتقال حرارت می‌باشد. با پایه‌گذاری در طول جداره را بیان بدست می‌آید.

$$n_3 = -1 \quad (\text{ب})$$

در حالی که  $n_3 = -1$  با حل معادله انتقال حرارت می‌توان نوشت:

$$\Theta(r) = c_5 \ln r + c_6 \quad (26-3)$$

که در آن  $c_5$  و  $c_6$  دو ثابت دلخواه می‌باشند. شرایط مرزی دمایی برای کره‌ی توخالی FGM با در

نظر گرفتن  $n_3 = -1$  به صورت زیر می‌باشد.

$$\begin{cases} \frac{\lambda_i d\Theta}{r dr} = 0 & \text{on } r=1 \\ -\frac{\lambda_i d\Theta}{r dr} = 0 & \text{on } r=k \end{cases} \quad (27-3)$$

پس از اعمال شرایط مرزی در معادله انتقال حرارت، ثابت‌های  $c_5$  و  $c_6$  به صورت زیر بدست می‌آیند.

$$\begin{cases} c_5 = -\frac{(\Theta_i - \Theta_o)}{\ln k} \\ c_6 = \Theta_i \end{cases} \quad (28-3)$$

با قراردادن ثابت‌های بدست آمده در  $(r, \Theta)$ ، معادله توزیع دما در شرایط دما-حالت پایدار در طول

جداره برای  $n_3 = -1$  بدست می‌آید.

### FGM - ۳-۵ - حل معادله‌ی ناویر در پوسته‌های کروی

$$n_3 \neq -1 \quad (\text{الف})$$

جایگذاری رابطه‌ی  $\Theta(r)$  معادله‌ی (۲۳-۳) در معادله‌ی ناویر (۱۹-۳) پس از ساده‌سازی، به

رابطه‌ی زیر می‌انجامد:

$$\begin{cases} r^2 u'' + A r u' + B u = C r^{n_2 - n_3} + D r^{n_2 + 1} \\ C = \alpha_i \frac{1+\nu}{1-\nu} (n_1 + n_2 - n_3 - 1) c_5 \\ D = \alpha_i \frac{1+\nu}{1-\nu} (n_1 + n_2) c_6 \end{cases} \quad (29-3)$$

که ثابت‌های  $c_5$  و  $c_6$  در رابطه‌ی (۲۵-۳) مشخص شده‌اند. این معادله دیفرانسیل دارای دو حل عمومی و خصوصی می‌باشد. حل عمومی این معادله در فصل قبل انجام شد که به صورت زیر می‌باشد:

$$u_g(r) = c_1 r^{m_1} + c_2 r^{m_2} \quad (30-3)$$

حل خصوصی معادله دیفرانسیل فوق به صورت زیر در نظر گرفته می‌شود:

$$u_p(r) = c_3 r^{n_2 - n_3} + c_4 r^{n_2 + 1} \quad (31-3)$$

با جایگذاری این رابطه در معادله دیفرانسیل، ثابت‌های  $c_3$  و  $c_4$  به صورت زیر بدست می‌آیند.

$$\begin{cases} c_3 = \frac{C}{(n_2 - n_3 - 1 + A)(n_2 - n_3) + B} \\ c_4 = \frac{D}{(n_2 + A)(n_2 + 1) + B} \end{cases} \quad (32-3)$$

لذا حل کلی معادله دیفرانسیل (۲۹-۳) به صورت مجموع حل عمومی و خصوصی خواهد بود.

$$u(r) = u_g(r) + u_p(r)$$

لذا می‌توان نوشت:

$$u(r) = c_1 r^{m_1} + c_2 r^{m_2} + c_3 r^{n_2 - n_3} + c_4 r^{n_2 + 1} \quad (33-3)$$

با قرار دادن رابطه‌ی جابجایی در رابطه‌ی (۱۸-۳) می‌توان نوشت:

$$\left\{ \begin{array}{l} \sigma_r = \frac{E_i r^{n_1}}{(1+\nu)(1-2\nu)} \{ c_1 Q_1 r^{m_1-1} + c_2 Q_2 r^{m_2-1} + c_3 Q_3 r^{n_2-n_3-1} + c_4 Q_4 r^{n_2} \\ \quad - (1+\nu) \alpha_i r^{n_2} \Theta(r) \} \\ \\ \sigma_\phi = \frac{E_i r^{n_1}}{(1+\nu)(1-2\nu)} \{ c_1 G_1 r^{m_1-1} + c_2 G_2 r^{m_2-1} + c_3 G_3 r^{n_2-n_3-1} + c_4 G_4 r^{n_2} \\ \quad - (1+\nu) \alpha_i r^{n_2} \Theta(r) \} \end{array} \right. \quad (34-3)$$

$$\left\{ \begin{array}{l} Q_3 = (n_2 - n_3)(1-\nu) + 2\nu ; Q_4 = (n_2 + 1)(1-\nu) + 2\nu \\ G_3 = (n_2 - n_3)\nu + 1 \quad ; \quad G_4 = (n_2 + 1)\nu + 1 \end{array} \right.$$

که در این رابطه  $\Theta(r)$  طبق رابطه‌ی (۲۳-۳) می‌باشد. و  $c_1$  و  $c_2$  دو ثابت دلخواه می‌باشند. برای

اینکه این دو ثابت مشخص شوند بایستی از شرایط مرزی (۳۵-۳) استفاده کرد.

$$\left\{ \begin{array}{l} \sigma_r \Big|_{r=1} = -p_i \\ \sigma_r \Big|_{r=k} = -p_o \end{array} \right. \quad (35-3)$$

لذا با استفاده از شرایط مرزی (۳۵-۳) به ساده‌گی ثابت‌های  $c_1$  و  $c_2$  به صورت زیر بدست می‌آید.

$$\left\{ \begin{array}{l} c_1 = \frac{1}{Q_1 (k^{m_1} - k^{m_2})} \{ c_3 Q_3 (k^{m_2} - k^{n_2-n_3}) + c_4 Q_4 (k^{m_2} - k^{n_2+1}) \\ \quad - (1+\nu) \alpha_i (k^{m_2} \Theta_i - k^{n_2+1} \Theta_o) \} + \frac{(1+\nu)(1-2\nu)}{E_i Q_1 (k^{m_1} - k^{m_2})} \{ k^{m_2} p_i - k^{1-n_1} p_o \} \\ \\ c_2 = - \frac{1}{Q_2 (k^{m_1} - k^{m_2})} \{ c_3 Q_3 (k^{m_1} - k^{n_2-n_3}) + c_4 Q_4 (k^{m_1} - k^{n_2+1}) \\ \quad - (1+\nu) \alpha_i (k^{m_1} \Theta_i - k^{1+n_2} \Theta_o) \} - \frac{(1+\nu)(1-2\nu)}{E_i Q_2 (k^{m_1} - k^{m_2})} \{ k^{m_1} p_i - k^{1-n_1} p_o \} \end{array} \right. \quad (36-3)$$

اکنون با جایگذاری ثابت‌های  $c_1$  و  $c_2$  بدست آمده در روابط (۳۳-۳) و (۳۴-۳) روابط تنش شعاعی

و محیطی و همچنین جابجایی برای یک کره‌ی جدار ضخیم از مواد ناهمگن تحت انتقال حرارت پایدار

در شرایطی که  $n_3 \neq -1$  باشد، بدست می‌آید.

$$n_3 = -1 \quad (ب)$$

در این شرایط با جایگذاری رابطه‌ی  $\Theta(r)$  رابطه‌ی (۲۶-۳) در معادله دیفرانسیل (۱۹-۳) و پس از ساده‌سازی، رابطه‌ی زیر نتیجه می‌شود.

$$\begin{cases} r^2 u'' + Ar u'_r + Bu_r = Cr^{n_2+1} \ln r + Dr^{n_2+1} \\ C = \alpha_i \frac{1+\nu}{1-\nu} (n_1 + n_2) c_5 \\ D = \alpha_i \frac{1+\nu}{1-\nu} \{(n_1 + n_2) c_6 + c_5\} \end{cases} \quad (37-3)$$

که ثابت‌های  $c_5$  و  $c_6$  در رابطه‌ی (۲۸-۳) مشخص شده‌اند. معادله دیفرانسیل فوق دارای دو حل عمومی و خصوصی می‌باشد. حل عمومی این معادله در فصل قبل انجام شد که به صورت زیر می‌باشد.

$$u_g(r) = c_1 r^{m_1} + c_2 r^{m_2} \quad (38-3)$$

حل خصوصی معادله دیفرانسیل فوق به صورت زیر در نظر گرفته می‌شود.

$$u_p(r) = c_3 r^{n_2+1} \ln r + c_4 r^{n_2+1} \quad (39-3)$$

با جایگذاری این رابطه در معادله دیفرانسیل، ثابت‌های  $c_3, c_4$  به صورت زیر بدست می‌آیند.

$$\begin{cases} c_3 = \frac{C}{(n_2 + A)(n_2 + 1) + B} \\ c_4 = \frac{D}{(n_2 + A)(n_2 + 1) + B} \end{cases} \quad (40-3)$$

لذا حل کلی به صورت مجموع حل عمومی و خصوصی به صورت زیر ارائه می‌شود.

$$u(r) = u_g(r) + u_p(r)$$

لذا می‌توان نوشت.

$$u(r) = c_1 r^{m_1} + c_2 r^{m_2} + c_3 r^{n_2+1} \ln r + c_4 r^{n_2+1} \quad (41-3)$$

با قرار دادن رابطه‌ی جابجایی در رابطه‌ی (۱۸-۳) می‌توان نوشت.

$$\left\{ \begin{array}{l} \sigma_r = \frac{E_i r^{n_1}}{(1+\nu)(1-2\nu)} \left\{ c_1 Q_1 r^{m_1-1} + c_2 Q_2 r^{m_2-1} + c_3 Q_3 r^{n_2} \ln r + c_4 Q_4 r^{n_2} \right. \\ \left. - (1+\nu) \alpha_i r^{n_2} \Theta(r) \right\} \\ \\ \sigma_\phi = \frac{E_i r^{n_1}}{(1+\nu)(1-2\nu)} \left\{ c_1 G_1 r^{m_1-1} + c_2 G_2 r^{m_2-1} + c_3 G_3 r^{n_2} \ln r + c_4 G_4 r^{n_2} \right. \\ \left. - (1+\nu) \alpha_i r^{n_2} \Theta(r) \right\} \\ \\ Q_3 = (n_2+1)(1-\nu) + 2\nu ; Q_4 = \left( \frac{C}{D} + n_2 + 1 \right)(1-\nu) + 2\nu \\ G_3 = (n_2+1)\nu + 1 ; G_4 = \left( \frac{C}{D} + n_2 + 1 \right)\nu + 1 \end{array} \right. \quad (42-3)$$

که در این رابطه  $(r)\Theta$  طبق رابطه‌ی (۲۶-۳) بوده و  $c_1, c_2$  دو ثابت دلخواه می‌باشند. برای اینکه این دو ثابت مشخص شوند، بایستی از شرایط مرزی (۳۵-۳) استفاده کرد، لذا با استفاده از رابطه‌ی (۴۲-۳) می‌توان نوشت.

$$\begin{aligned} & \frac{E_i}{(1+\nu)(1-2\nu)} \left[ \begin{matrix} Q_1 & Q_2 \\ Q_1 k^{n_1+m_1-1} & Q_2 k^{n_1+m_2-1} \end{matrix} \right] \left\{ \begin{matrix} c_1 \\ c_2 \end{matrix} \right\} \\ &= -\frac{E_i}{(1+\nu)(1-2\nu)} \left\{ \begin{matrix} c_4 Q_4 - (1+\nu) \alpha_i \Theta_i \\ c_3 Q_3 k^{n_1+n_2} \ln k + c_4 Q_4 k^{n_1+n_2} - (1+\nu) \alpha_i k^{n_2+n_1} \Theta_o \end{matrix} \right\} \end{aligned} \quad (43-3)$$

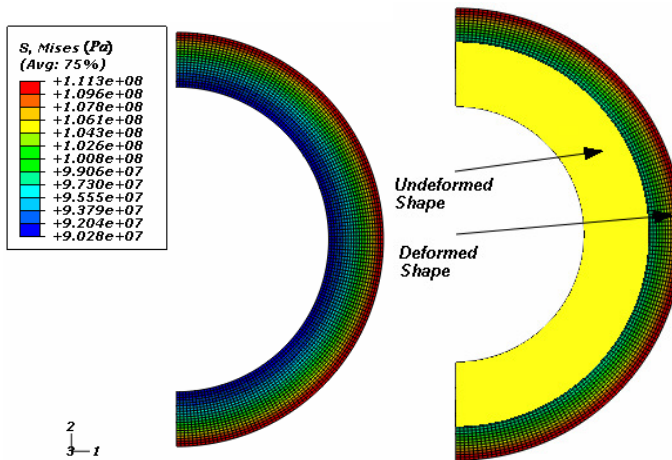
از دو معادله‌ی فوق به ساده‌گی ثابت‌های  $c_1, c_2$  به صورت زیر بدست می‌آید.

$$\left\{ \begin{array}{l} c_1 = \frac{1}{Q_1 (k^{m_1} - k^{m_2})} \left\{ -c_3 Q_3 k^{n_2+1} \ln k + c_4 Q_4 (k^{m_2} - k^{n_2+1}) \right. \\ \left. - (1+\nu) \alpha_i (k^{m_2} \Theta_i - k^{n_2+1} \Theta_o) \right\} \\ \\ c_2 = -\frac{1}{Q_2 (k^{m_1} - k^{m_2})} \left\{ -c_3 Q_3 k^{n_2+1} \ln k c_4 Q_4 (k^{m_1} - k^{n_2+1}) \right. \\ \left. - (1+\nu) \alpha_i (k^{m_1} \Theta_i - k^{1+n_2} \Theta_o) \right\} \end{array} \right. \quad (44-3)$$

اکنون با جایگذاری ثابت‌های  $c_1$ ,  $c_2$  بدست آمده در روابط (۴۱-۳) و (۴۲-۳)، روابط تنش شعاعی و محیطی و همچنین جابجایی برای یک کره‌ی جدار پختیم از مواد ناهمگن تحت انتقال حرارت پایدار در شرایطی که  $n_3 = -1$  باشد، بدست می‌آید.

### ۶-۳- تحلیل عددی ترموموکنتریک پوسته‌های کروی FGM

مدل FEM ارائه شده در فصل قبل، تحت انتقال حرارت دما-حالت پایدار حل می‌شود. بدین منظور نوع حل از حالت استاتیک به حالت دما-حالت پایدار تغییر داده می‌شود. همچنین علاوه بر شرایط مرزی بیان شده در فصل قبل، شرایط مرزی دمایی نیز به مدل اضافه می‌شود که می‌توانند به صورت کلی با تعریف ضریب انتقال حرارت جابجایی محیط و یا به صورت خاص با اعمال دما در سطح داخل و خارج باشد. المان‌های مورد استفاده در تحلیل، از نوع CAX8RHT می‌باشند. شکل (۳-۳) تغییر شکل و توزیع تنش‌های فن میزس در مدل را تحت فشار داخلی ( $p = 80 MPa$ )، که در آن دمای سطح داخلی ( $T_i = 300^{\circ}C$ ) و دمای سطح خارجی ( $T_o = 25^{\circ}C$ ) می‌باشد را نشان می‌دهد. در این تحلیل ثابت ناهمگنی  $n_i (i=1..3) = 1$  در نظر گرفته شده است.



شکل ۳-۳: تغییر شکل جداره و توزیع تنش فن میزس در کره‌ی FGM تحت فشار داخلی و انتقال حرارت پایدار

### ۷-۳- مطالعه‌ی موردی

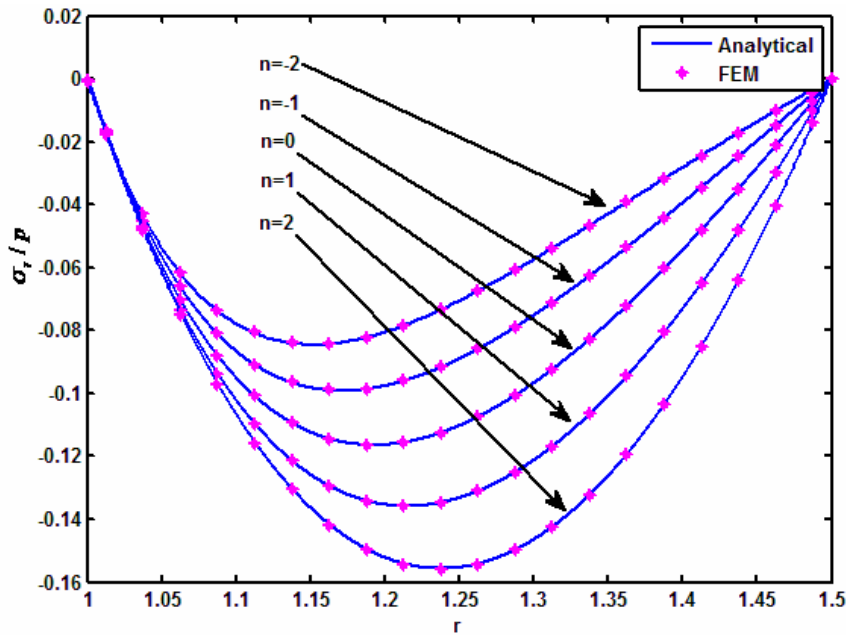
حل تحلیلی و عددی ارائه شده در این فصل برای مثالهای مختلفی بررسی می‌شود. برای مطالعه‌ی موردی یک کره‌ی جدار ضخیم با شعاع داخلی  $a = 0.04\text{m}$  و شعاع خارجی  $b = 0.06\text{m}$  در نظر گرفته می‌شود. فشار یکنواخت داخلی برابر با  $p = 80\text{MPa}$  است.

مدول الاستیسیته و ضریب انبساط حرارتی کره در جدار داخلی به ترتیب  $E_i = 200\text{GPa}$  و  $\alpha_i = 1.2 \times 10^{-6} / {}^\circ\text{C}$  در نظر گرفته و فرض می‌شود که ضریب پواسون برابر با  $\nu = 0.3$  باشد. در یک حالت خاص، ثابت ناهمگنی برای مدول الاستیسیته و ضریب انبساط حرارتی و همچنین ضریب انتقال حرارت هدایتی با هم برابر و  $(n_1 = n_2 = n_3 = n)$  در نظر گرفته می‌شود.

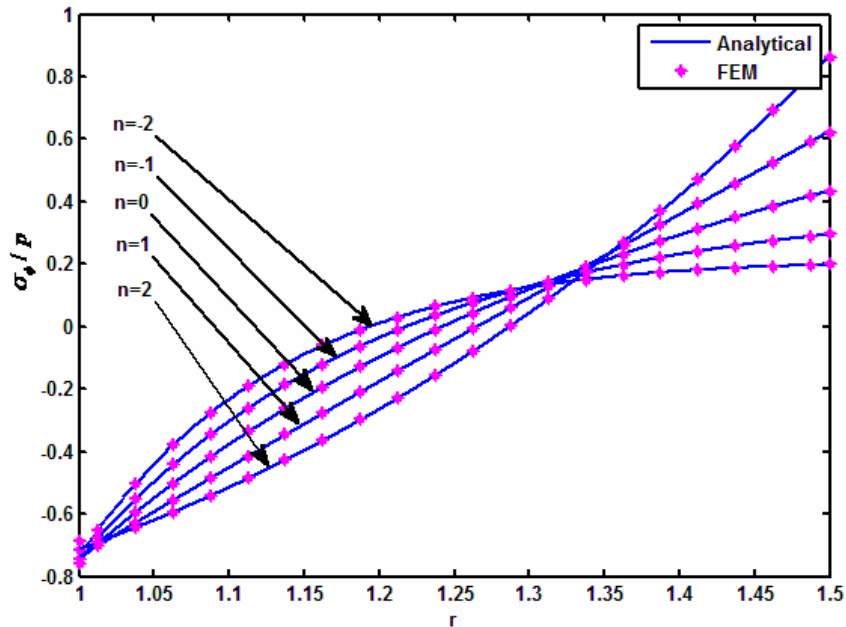
در یک حالت خاص فرض می‌شود که دمای سطح داخلی  $T_i = 300({}^\circ\text{C})$  و دمای سطح خارجی دمای محیط  $T_o = 25({}^\circ\text{C})$  باشد.

مسئله در چهار حالت  $(p_i = 0; p_o = p)$  ،  $(p_i = p; p_o = 0)$  ،  $(p_i = 0; p_o = 0)$  و  $(p_i = p_o = p)$  با استفاده از روابط تحلیلی که در بخش (۳-۳) استخراج شده‌است بررسی می‌شود. سپس نتایج عددی که با استفاده از ABAQUS استخراج شده است، با نتایج تحلیلی مقایسه می‌شود.

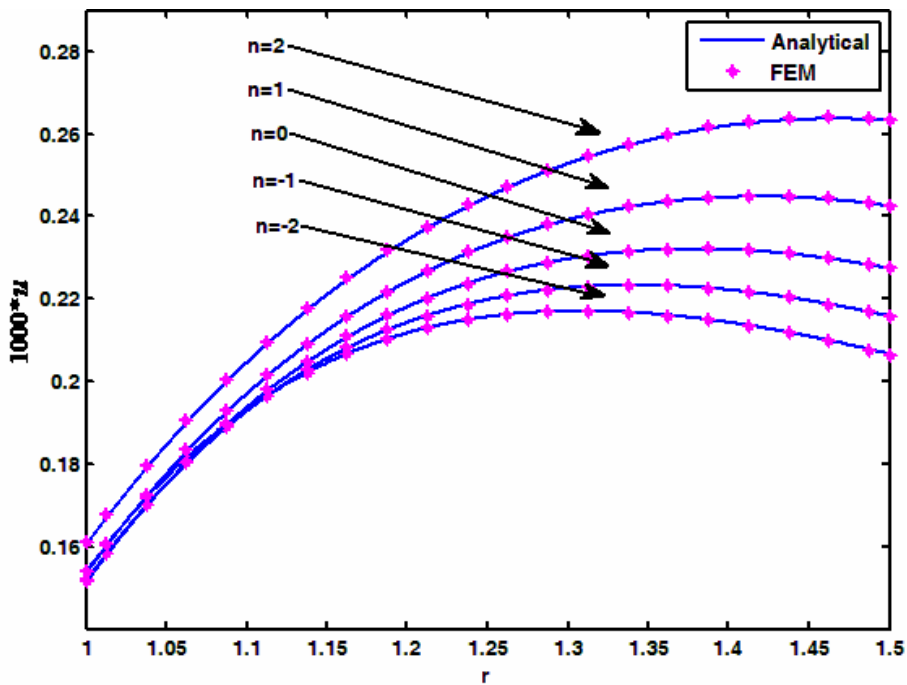
الف) کره تحت انتقال حرارت پایدار بدون فشار داخلی و خارجی برای شرایطی که مخزن کروی تحت انتقال حرارت پایدار خالص قرار گیرد، تغییرات تنش شعاعی، تنش محیطی، جابجایی شعاعی و همچنین تغییرات دما در طول جداره، در شکل‌های (۳-۳) تا (۶-۳) آورده شده است. همانطور که در شکل (۳-۳) مشاهده می‌شود، تنش شعاعی در لایه‌های میانی فشاری بوده و با افزایش ثابت ناهمگنی  $n$ ، اندازه‌ی این تنش فشاری افزایش می‌یابد.



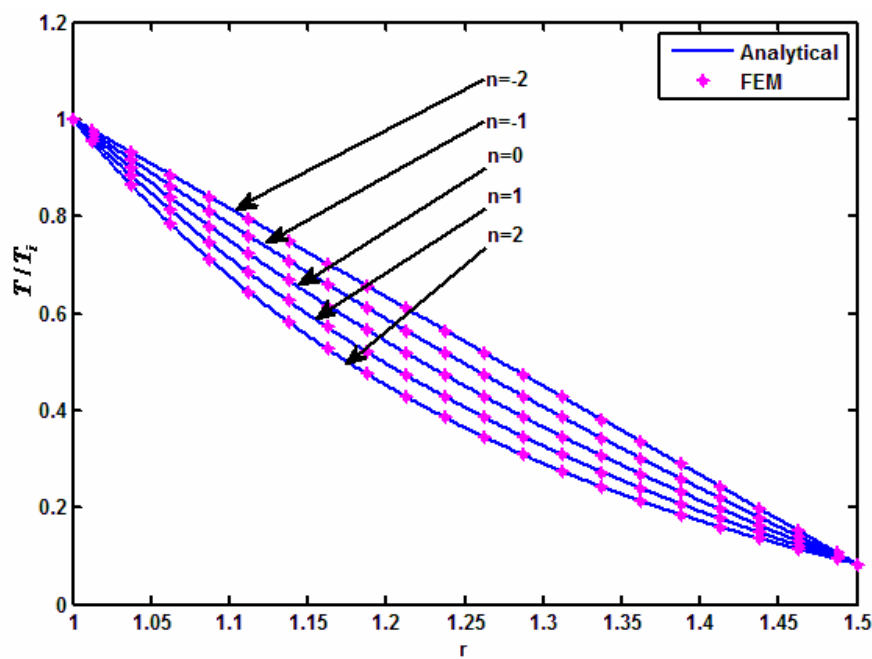
شکل ۳-۳: تغییرات تنش شعاعی در امتداد جداره کره تحت انتقال حرارت ( $p_i = 0$  ;  $p_o = 0$ )



شکل ۴-۳: تغییرات تنش محیطی در امتداد جداره کره تحت انتقال حرارت ( $p_i = 0$  ;  $p_o = 0$ )



شکل ۳-۵: تغییرات جابجایی شعاعی در امتداد جداره کره تحت انتقال حرارت ( $p_i = 0$  ;  $p_o = 0$ )



شکل ۳-۶: تغییرات دما در امتداد جداره کره تحت انتقال حرارت ( $p_i = 0$  ;  $p_o = 0$ )

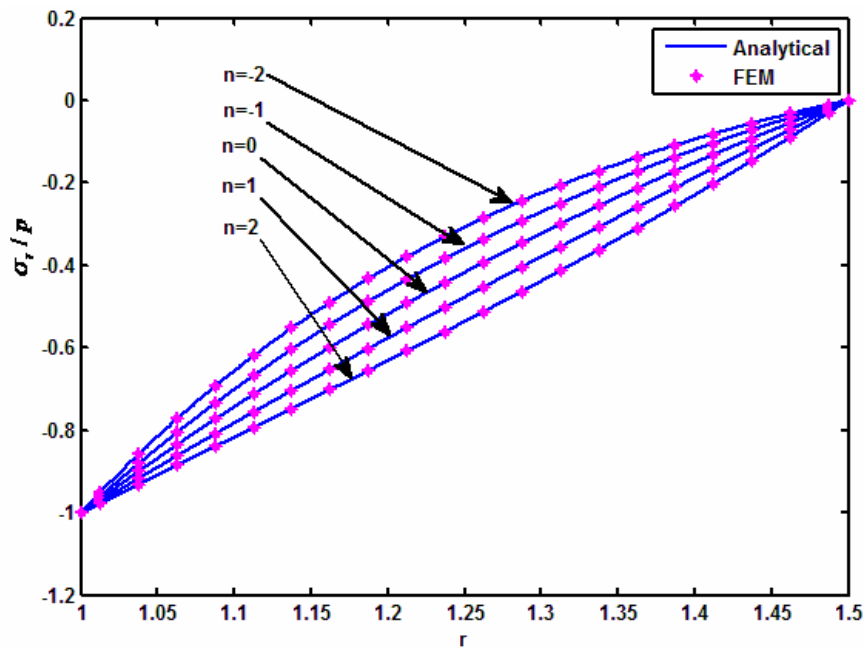
همچنین می‌توان دید که در این شکل شرایط مرزی بدون تنش در سطح داخل و خارج کاملاً ارضا می‌شوند. در شکل (۴-۳) تغییرات تنش محیطی در راستای ضخامت آورده شده است. در این شکل افزایش ثابت ناهمگنی  $n$  باعث کاهش تنش محیطی می‌شود، همچنین در دو نقطه مشاهده می‌شود که تنش محیطی به ازای تمامی مقادیر  $n$  به سمت مقدار تنش محیطی در حالت همگن  $n = 0$  میل می‌کند. به طوری که تقریباً در جدار داخلی و  $r < 1.35$ ، تنش محیطی به ازای تمامی مقادیر  $n$  همان مقدار تنش محیطی در حالت همگن را دارد.

در شکل (۵-۳) تغییرات جابجایی شعاعی در راستای ضخامت آورده شده است. در اینجا موادی که ثابت ناهمگنی  $n$  بزرگتری دارند، مطابق رابطه‌ی (۳-۱۵) با توجه به اینکه  $n_i (i=1..3)$ ، دارای استحکام بیشتر و در عین حال ضریب انبساط حرارتی بزرگتری هستند. از طرفی همانطور که در شکل (۵-۳) مشاهده می‌شود، افزایش ثابت ناهمگنی  $n$  باعث افزایش جابجایی شعاعی می‌شود. به طوری که این افزایش در لایه‌های بیرونی محسوس‌تر می‌باشد. لذا می‌توان نتیجه گرفت که اگرچه در این نوع مواد با افزایش  $n$  از استحکام بیشتری برخوردارند. لذا مطابق رابطه‌ی هوک، باستی تغییر شکل کمتر نیز نسبت به مواد همگن داشته باشند اما مطابق رابطه‌ی (۳-۱۵) در شرایطی که  $n_i (i=1..3)$  با افزایش  $n$  در عین حال ضریب انبساط حرارتی بزرگتری نیز دارند و باعث می‌شود این مواد در شرایطی که تحت انتقال حرارت قرار گیرند، تغییر شکل بزرگتری نیز نسبت به مواد همگن داشته باشند. با توجه به این مطالب همانطور که در شکل (۵-۳) مشاهده می‌کنیم، با افزایش  $n$  تغییر شکل بزرگتری خصوصاً در لایه‌های بیرونی ایجاد می‌شود که با توجه به مطالب بالا نشان می‌دهد که در این مواد در شرایطی که  $n_i (i=1..3)$  با افزایش ثابت ناهمگنی  $n$ ، تاثیر افزایش جابجایی در اثر افزایش ضریب انبساط حرارتی، غالب بر تاثیر کاهش جابجایی در اثر افزایش استحکام ماده می‌باشد. در شکل (۶-۳) تغییرات دما در راستای ضخامت آورده شده است. در این شکل کاهش ثابت ناهمگنی  $n$  باعث افزایش دما می‌شود. لذا دما در لایه‌های میانی به ازای  $n < 0$  بیشتر از ماده همگن و

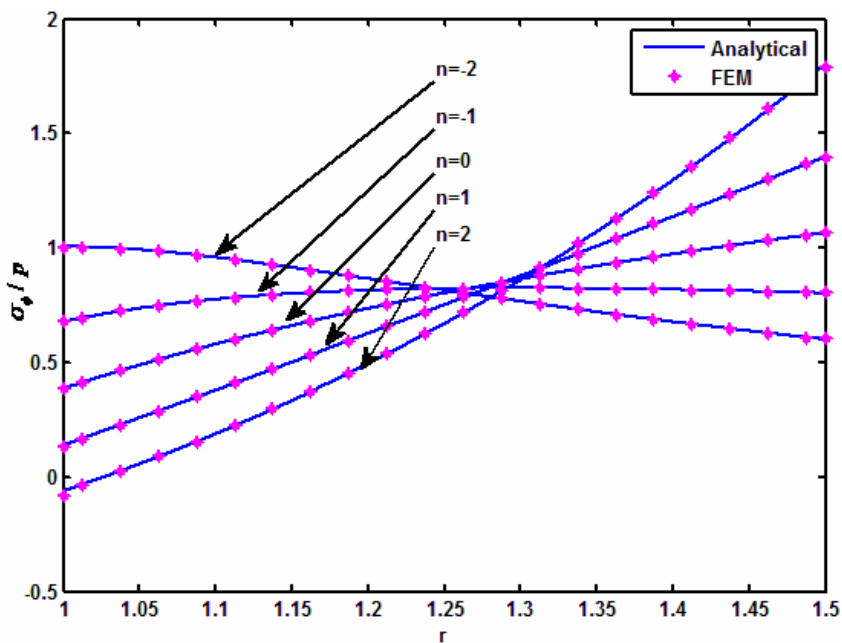
برای  $n > 0$  کمتر از ماده همگن است. این مطلب با توجه به رابطه‌ی (۲۱-۳) قابل پیش‌بینی است به طوری که مطابق این رابطه با فزایش ثابت ناهمگنی  $\alpha_l$ ، ضریب انتقال حرارت هدایت نیز افزایش می‌یابد.

### ب) کره تحت فشار داخلی ( $p_i = p$ ; $p_o = 0$ ) و انتقال حرارت پایدار

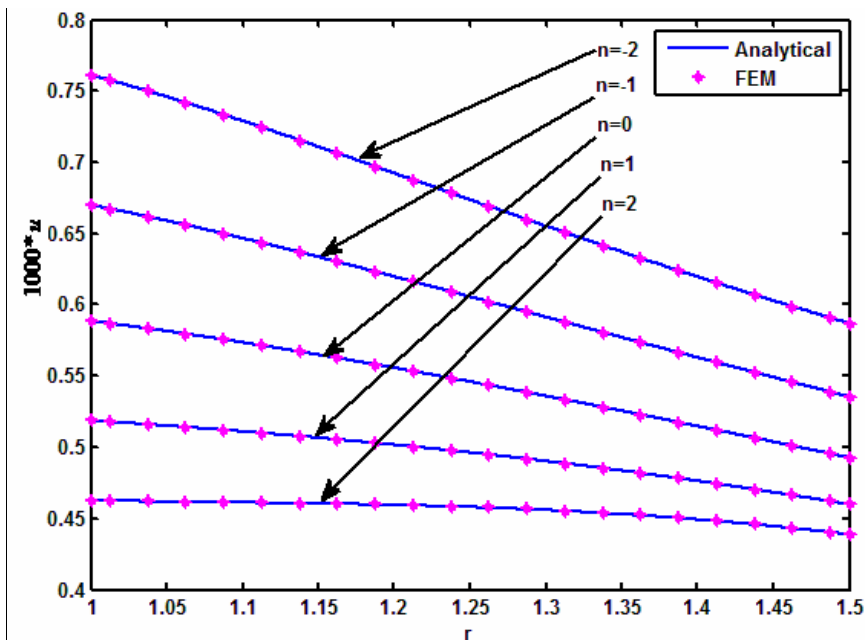
برای شرایطی که مخزن کروی تحت انتقال حرارت پایدار و فشار یکنواخت داخلی  $p_i = p$  قرار گیرد، تغییرات تنش شعاعی، تنش محیطی و جابجایی شعاعی در طول جداره، در شکل‌های (۷-۳) تا (۹-۳) آورده شده است.



شکل ۷-۳: تغییرات تنش شعاعی در امتداد ضخامت کره تحت انتقال حرارت ( $p_i = p$ ;  $p_o = 0$ )



شکل ۳-۸: تغییرات تنش محیطی در امتداد ضخامت کره تحت انتقال حرارت ( $p_i = p$ ;  $p_o = 0$ )



شکل ۳-۹: تغییرات جابجایی شعاعی در امتداد ضخامت کره تحت انتقال حرارت ( $p_i = p$ ;  $p_o = 0$ )

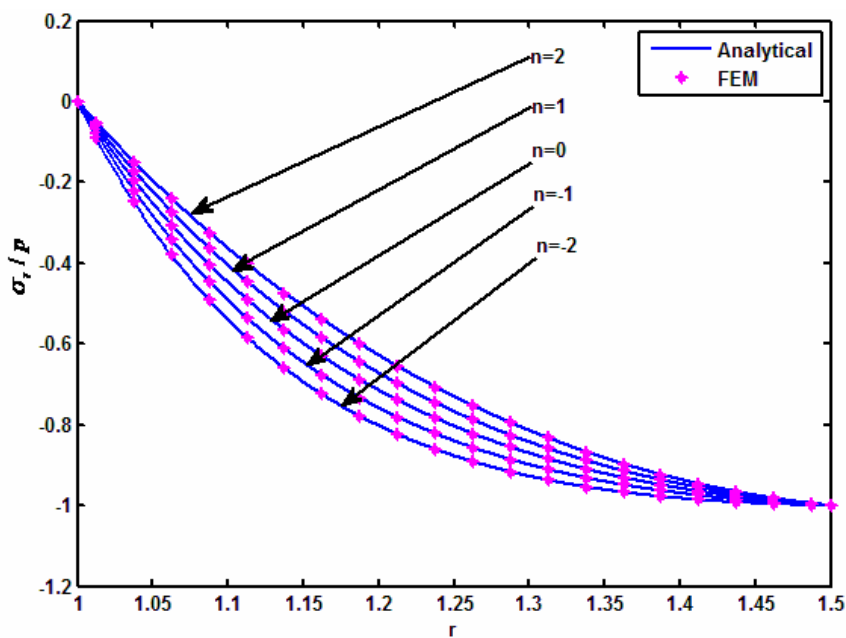
همانطور که در شکل (۷-۳) مشاهده می شود، افزایش ثابت ناهمگنی  $n$  باعث کاهش تنش شعاعی می شود. همچنین می توان دید که در این شکل شرایط مرزی در سطح داخل و خارج کاملاً ارضامی-

شوند. در شکل (۸-۳) تغییرات تنش محیطی در راستای ضخامت آورده شده است. در این شکل برای  $n=2$  تنش محیطی در راستای ضخامت کاهش می‌یابد. در حالی که برای  $n \geq -1$  وضعیت معکوس شده و تنش محیطی در راستای ضخامت افزایش می‌یابد. تنش محیطی در بازه- $-1 < n < 2$ -دارای کمترین تغییرات در راستای ضخامت است و تقریباً ثابت می‌باشد که از نظر کنترل تنش در این نوع سازه‌ها امتیاز ویژه‌ای است. در فاصله‌ی تقریبی  $r < 1.30$ ، تنش محیطی به ازای تمامی مقادیر  $n$  به سمت مقدار تنش محیطی در حالت همگن  $n=0$  میل می‌کند. همچنانی از این شکل می‌توان مشاهده نمود که تنش محیطی به ازای  $n > 0$  در نیمه‌ی داخلی جداره، بیشتر از ماده همگن و در نیمه‌ی خارجی جداره، کمتر از ماده همگن است. برای  $n < 0$  در نیمه‌ی داخلی جداره، کمتر از ماده همگن و در نیمه‌ی خارجی جداره، بیشتر از ماده همگن است.

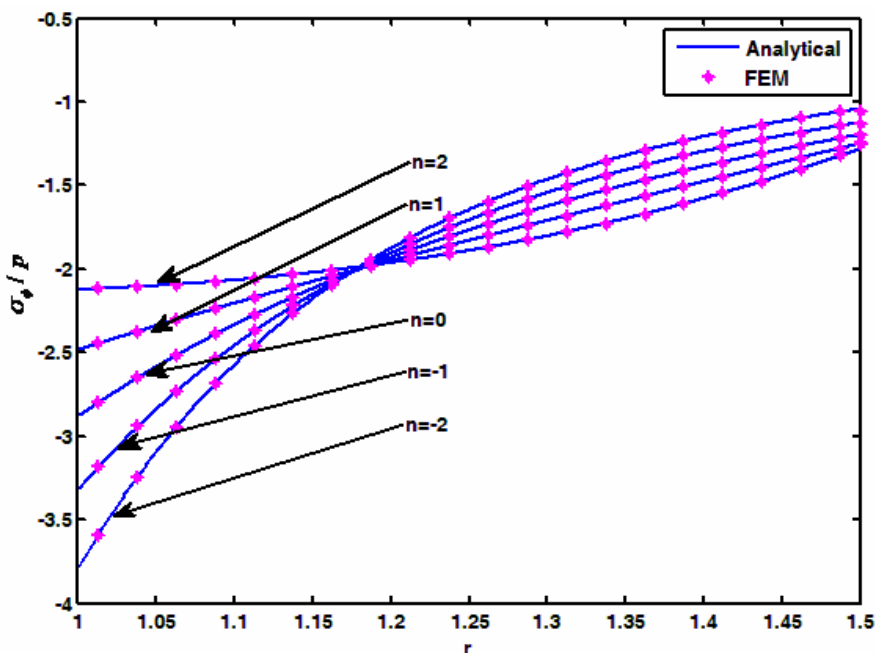
در شکل (۹-۳) تغییرات جابجایی در راستای ضخامت آورده شده است. همانطور که مشاهده می‌شود، افزایش ثابت ناهمگنی  $n$  باعث کاهش جابجایی شعاعی می‌شود. به طوری که به ازای  $n < 0$ ، جابجایی کره نسبت به ماده همگن بیشتر است و به ازای  $n > 0$  کمتر است. روند تغییرات تقریباً مشابه با حالت همگن می‌باشد به طوری که برای همه مقادیر  $n$  تغییرات در راستای شعاعی نزولی می‌باشد. هر چند شیب تغییرات با افزایش ثابت ناهمگنی  $n$  کاهش می‌یابد.

### ج) کره تحت فشار خارجی ( $p_o = p, p_i = 0$ ) و انتقال حرارت پایدار

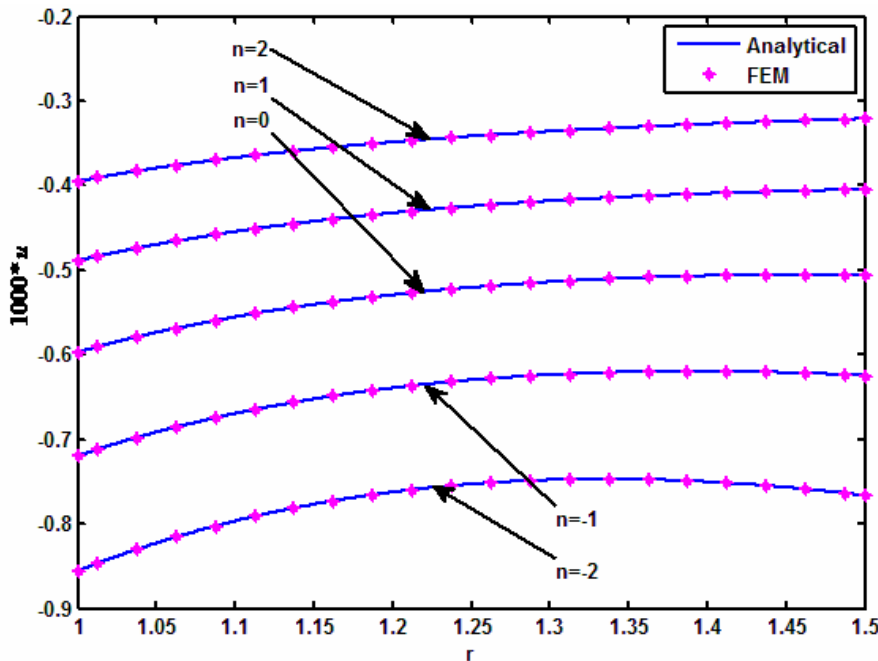
برای شرایطی که مخزن کروی تحت انتقال حرارت پایدار و فشار یکنواخت خارجی  $p_o = p$  قرار گیرد، تغییرات تنش شعاعی، تنش محیطی و جابجایی شعاعی در طول جداره، در شکل‌های (۱۰-۳) تا (۱۲-۳) آورده شده است.



شکل ۳-۱۰: تغییرات تنش شعاعی در امتداد جداره کره تحت انتقال حرارت ( $p_o = p, p_i = 0$ )



شکل ۳-۱۱: تغییرات تنش محیطی در امتداد جداره کره تحت انتقال حرارت ( $p_o = p, p_i = 0$ )



شکل ۱۲-۳: تغییرات جابجایی شعاعی در امتداد جداره کره تحت انتقال حرارت ( $p_o = p, p_i = 0$ )

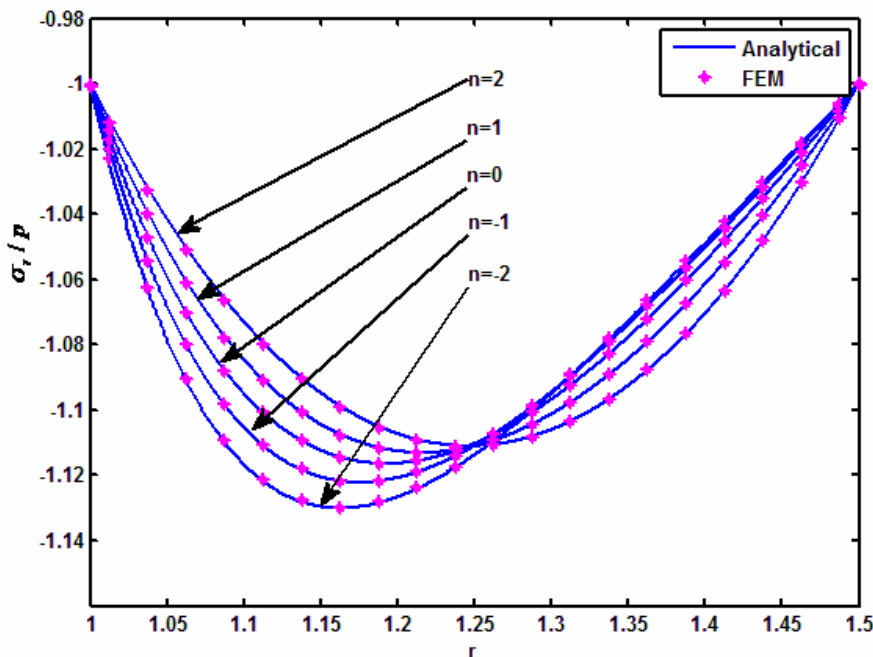
همانطور که در شکل (۱۰-۳) مشاهده می شود، افزایش ثابت ناهمگنی  $n$  باعث افزایش تنش شعاعی می شود.

در شکل (۱۱-۳) تغییرات تنش محیطی در راستای ضخامت آورده شده است. در این شکل در سطح داخلی تنش محیطی که به صورت فشاری خود را نشان می دهد، با افزایش  $n$  افزایش می یابد. در حالی که برای سطح خارجی وضعیت معکوس شده و تنش محیطی با افزایش  $n$  کاهش می یابد. به طوری که برای  $0 < n$  تنش محیطی در جدار داخلی بزرگتر از حالت همگن و برای  $n > 0$ ، کوچکتر از حالت همگن می باشد. برای جدار خارجی عکس این حالت رخ می دهد، به طوری که برای  $0 < n$  تنش محیطی در جدار خارجی کوچکتر از حالت همگن و برای  $n > 0$  بزرگتر از حالت همگن می باشد. در فاصله‌ی تقریبی  $r = 1.18$  تنش محیطی به ازای تمامی مقادیر  $n$  به سمت مقدار تنش محیطی در حالت همگن  $n = 0$  میل می کند.

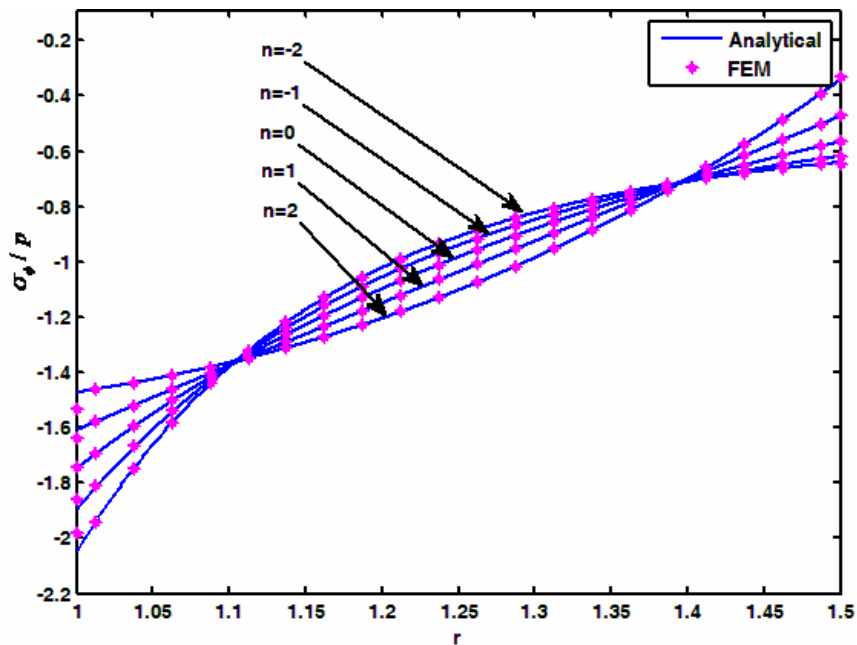
در شکل (۱۲-۳) تغییرات جابجایی در راستای ضخامت آورده شده است. همانطور که مشاهده می-شود، افزایش ثابت ناهمگنی  $n$  باعث کاهش جابجایی شعاعی می‌شود. به طوری که به ازای  $0 < n$  جابجایی کره نسبت به ماده‌ی همگن بیشتر است و به ازای  $n > 0$  کمتر است. روند تغییرات تقریباً مشابه با حالت همگن می‌باشد به طوری که برای همهٔ مقادیر  $n$  تغییرات در راستای شعاعی تقریباً صعودی می‌باشد و در لایه‌های نزدیک به جدار خارجی شیب تغییرات با افزایش  $n$  کاهش می‌یابد.

#### د) کره تحت فشار داخلی و خارجی ( $p_o = p_i = p$ ) و انتقال حرارت پایدار

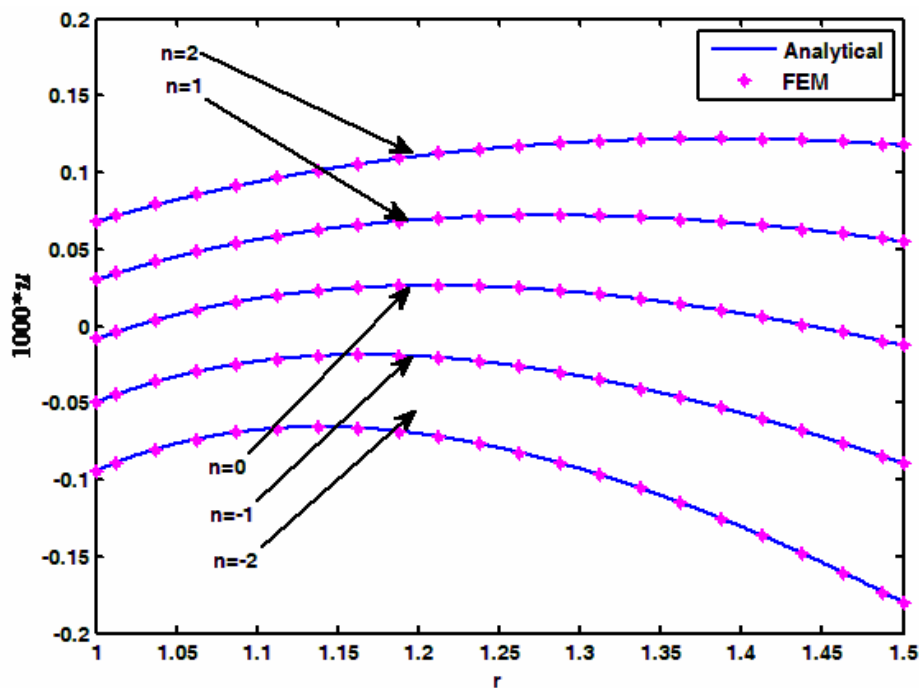
برای این شرایط تغییرات تنش شعاعی، تنش محیطی و جابجایی شعاعی در طول جداره، در شکل‌های (۱۳-۳) تا (۱۵-۳) آورده شده است.



شکل ۳-۳: تغییرات تنش شعاعی در امتداد جداره کره تحت انتقال حرارت ( $p_o = p_i = p$ )



شکل ۱۴-۳: تغییرات تنش محیطی در امتداد جداره کره تحت انتقال حرارت ( $p_o = p_i = p$ )



شکل ۱۵-۳: جابجایی شعاعی در امتداد جداره کره تحت انتقال حرارت ( $p_o = p_i = p$ )

همانطور که در شکل (۱۳-۳) مشاهده می‌شود، افزایش ثابت ناهمگنی  $n$  برای لایه‌هایی که به سطح داخلی نزدیکترند، باعث افزایش اندازهٔ تنش شعاعی می‌شود. اما برای لایه‌هایی که به سطح خارجی نزدیکترند باعث کاهش تنش شعاعی می‌شود. در فاصلهٔ تقریبی  $r = 1.27$  تنش شعاعی به ازای تمامی مقادیر  $n$  به سمت مقدار تنش شعاعی در حالت همگن  $n = 0$  میل می‌کند. همچنین می‌توان دید که در این شکل شرایط مرزی در سطح داخل و خارج کاملاً ارضا می‌شوند. لذا مطابق این شکل برای  $0 < n$  تنش شعاعی در لایه‌های نزدیک به جدار داخلی تنش شعاعی بزرگتری نسبت به حالت همگن و برای لایه‌هایی که به سطح خارجی نزدیک، تنش شعاعی کوچکتری نسبت به حالت همگن ایجاد می‌شود. و برای  $0 < n$  عکس این شرایط مشاهده می‌شود.

در شکل (۱۴-۳) تغییرات تنش محیطی در راستای ضخامت آورده شده است. در این شکل در سطح داخلی و خارجی اندازهٔ تنش محیطی که به صورت تنش فشاری در این لایه‌ها ایجاد می‌شود با افزایش  $n$  کاهش می‌یابد. در حالی که برای لایه‌های میانی وضعیت معکوس شده و اندازهٔ تنش محیطی با افزایش  $n$  افزایش می‌یابد. در دو نقطهٔ تنش محیطی به ازای تمامی مقادیر  $n$  به سمت مقدار تنش محیطی در حالت همگن  $n = 0$  میل می‌کند، که این نقاط به ترتیب در بازه‌های  $1.1 < r < 1.15$  و  $1.35 < r < 1.40$  در لایه‌های نزدیک به جدار داخلی و خارجی تنش محیطی بزرگتری نسبت به حالت همگن، برای لایه‌های میانی تنش محیطی کوچکتری نسبت به حالت همگن ایجاد می‌شود. و برای  $0 < n$  عکس این شرایط مشاهده می‌شود.

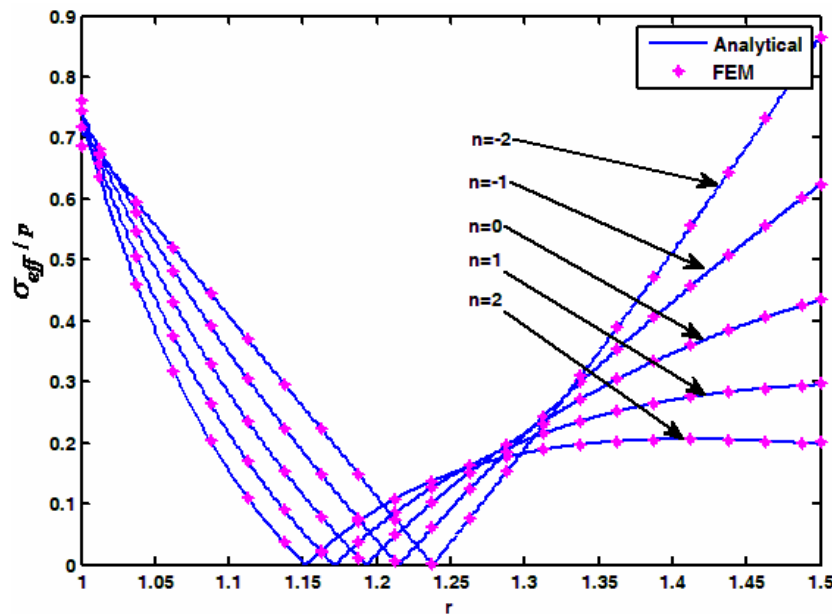
در شکل (۱۵-۳) تغییرات جابجایی در راستای ضخامت آورده شده است. همانطور که مشاهده می‌شود، کاهش ثابت ناهمگنی  $n$  باعث افزایش جابجایی شعاعی می‌شود.

### ۳-۸- FG - بررسی توزیع تنش موثر در مواد

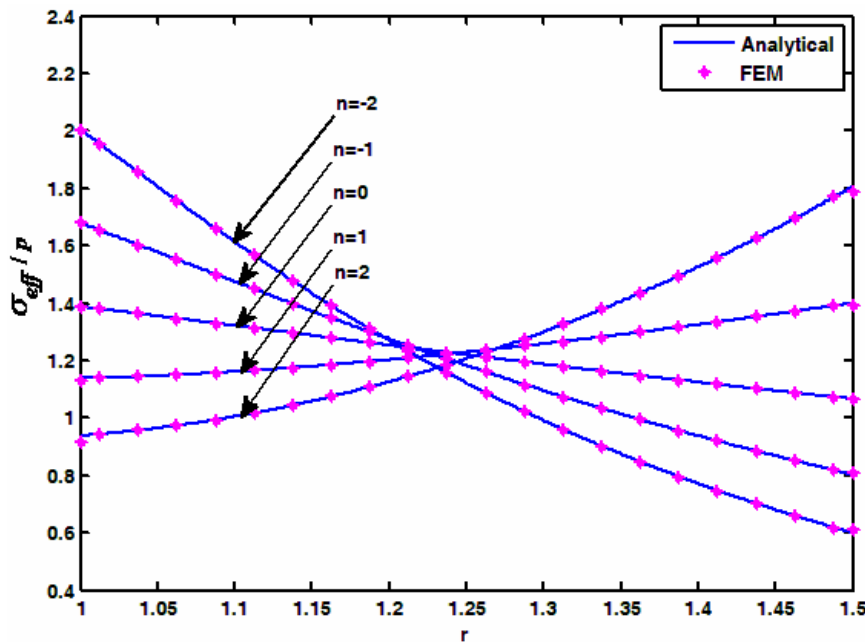
با درنظر گرفتن رابطهٔ (۵۲-۲) نمودارهای مربوط به تنش موثر به صورت زیر در چهار حالت  $(p_o = p_i = p)$  و  $(p_o = p, p_i = 0)$ ،  $(p_o = 0, p_i = p)$ ،  $(p_o = p_i = 0)$  در شرایطی که کره

تحت انتقال حرارت پایدار قرار گیرد، آورده شده است. مقادیر تنش فن میزس نسبت به فشار

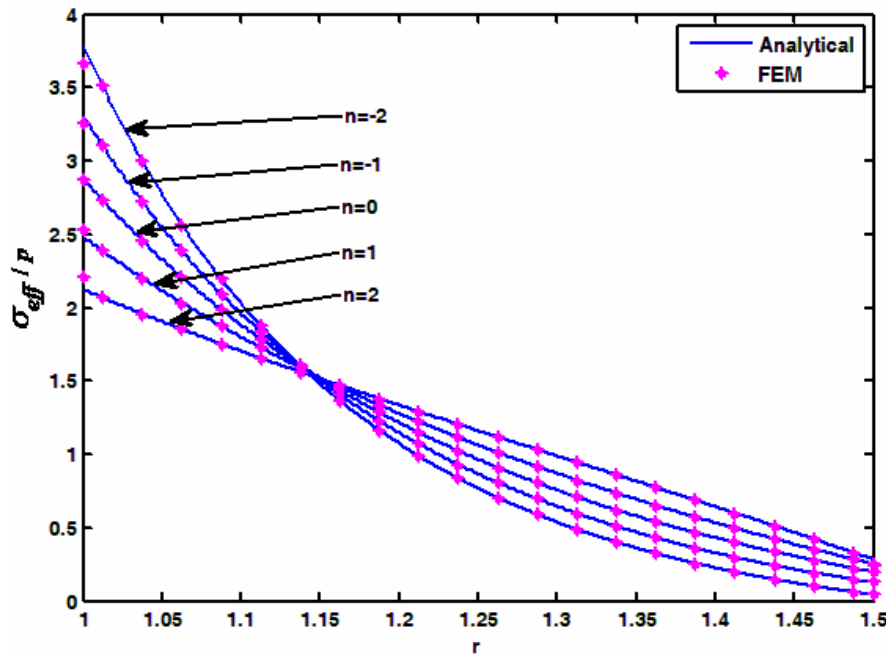
بی بعد شده است.  $p = 80(MPa)$



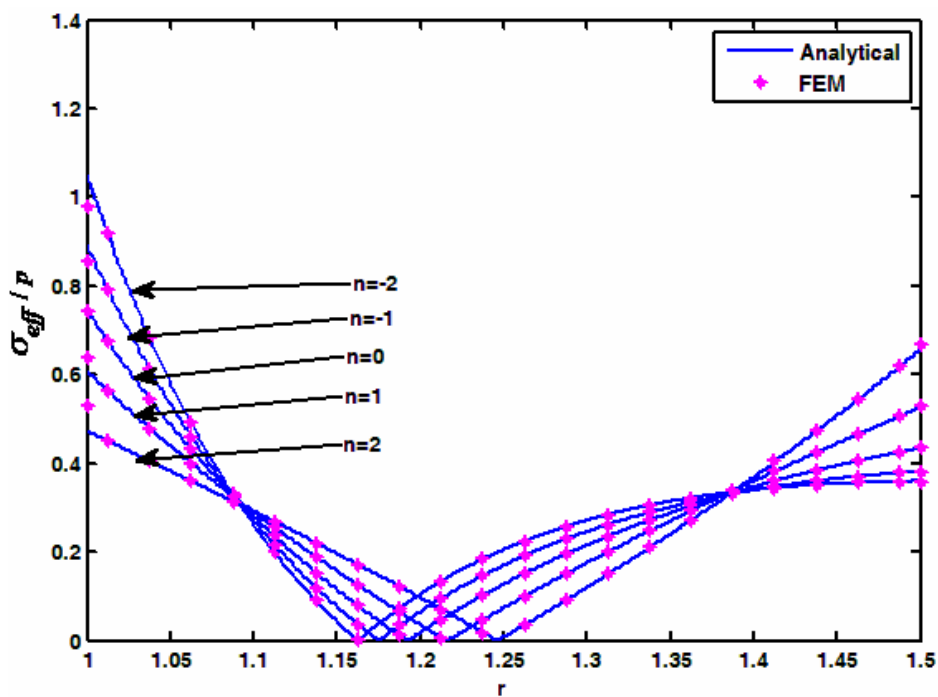
شکل ۱۶-۳: تغییرات تنش فن میزس  $\sigma_{eff}$  در امتداد جداره کره تحت انتقال حرارت ( $p_i = p_o = 0$ )



شکل ۱۷-۳: تغییرات تنش فن میزس در امتداد جداره کره تحت انتقال حرارت ( $p_i = p; p_o = 0$ )



شكل ۱۸-۳: تغییرات تنش فن میزس در امتداد جداره کره تحت انتقال حرارت ( $p_i = 0$ ;  $p_o = p$ )



شكل ۱۹-۳: تغییرات تنش فن میزس در امتداد جداره کره تحت انتقال حرارت ( $p_i = p_o = p$ )

در شکل (۱۶-۳) تغییرات تنش فن میزس در راستای ضخامت در شرایطی که کره تحت انتقال حرارت خالص باشد، آورده شده است. همانطور که مشاهده می‌شود، به ازای تمامی مقادیر  $n$  کره در جدار داخلی به مقدار آن در حالت همگن  $n = 0$  میل می‌کند. در جدار میانی دارای کمترین مقدار خود و برابر صفر می‌شود. با افزایش  $n$  می‌توان لایه‌ای را که در آن تنش فن میزس صفر می‌شود به سمت جدار داخلی هدایت نمود. همچنین از این شکل می‌توان مشاهده نمود که تنش فن میزس در جدار خارجی برای  $n < 0$  بزرگتر از حالت همگن و برای  $n > 0$  کوچکتر از حالت همگن می‌باشد.

در شکل (۱۷-۳) تغییرات تنش فن میزس در راستای ضخامت در شرایطی که کره تحت فشار داخلی و انتقال حرارت پایدار باشد، آورده شده است. در این شکل برای  $0 \leq n \leq 1$  تنش فن میزس در راستای ضخامت کاهش می‌یابد. در حالی که برای  $1 \geq n \geq 0$  وضعیت معکوس شده و تنش فن میزس در راستای ضخامت افزایش می‌یابد. تنش محیطی در بازه‌ی  $1 < n < 20$  دارای کمترین تغییرات در راستای ضخامت است، و تقریباً ثابت می‌باشد که از نظر کنترل تنش در این نوع سازه‌ها امتیاز ویژه‌ای است. در فاصله‌ی تقریبی  $1.25 < r < 1.20$  تنش فن میزس به ازای تمامی مقادیر  $n$  به سمت مقدار تنش فن میزس در حالت همگن  $n = 0$  میل می‌کند. همچنین از این شکل می‌توان مشاهده نمود که تنش محیطی به ازای  $n < 0$  در نیمه‌ی داخلی جداره، بیشتر از ماده همگن و در نیمه‌ی خارجی جداره، کمتر از ماده‌ی همگن است. و برای  $n > 0$  در نیمه‌ی داخلی جداره، کمتر از ماده همگن و در نیمه‌ی خارجی جداره، بیشتر از ماده‌ی همگن است.

در شکل (۱۸-۳) تغییرات تنش فن میزس در راستای ضخامت در شرایطی که کره تحت فشار خارجی و انتقال حرارت پایدار باشد، آورده شده است. همانطور که مشاهده می‌شود تنش فن میزس به ازای  $n < 0$  در نیمه‌ی داخلی جداره، بیشتر از همگن و در نیمه‌ی خارجی جداره، کمتر از ماده‌ی همگن است. و برای  $n > 0$  بر عکس در نیمه‌ی داخلی جداره، کمتر از ماده همگن و در نیمه‌ی خارجی جداره، بیشتر از ماده‌ی همگن است. در فاصله‌ی تقریبی  $1.15 < r < 1.12$  تنش فن میزس به ازای

تمامی مقادیر  $n$  به سمت مقدارتنش فن میزس در حالت همگن  $n = 0$  میل می کند. همچنین از این شکل می توان مشاهده نمود که تغییرات تنش فن میزس در راستای ضخامت با افزایش  $n$  هموارتر شده و تغییرات کمتری دارد.

در شکل (۱۹-۳) تغییرات تنش فن میزس در راستای ضخامت در شرایطی که کره تحت فشار داخلی و خارجی و انتقال حرارت پایدار باشد، آورده شده است. در این شکل در سطح داخلی اندازه هی تنش فن میزس با افزایش  $n$  کاهش می باید. در حالی که در جدار خارجی عکس این مطلب اتفاق می افتد و با افزایش  $n$  اندازه هی تنش فن میزس افزایش می باید. در دو نقطه تنش فن میزس به ازای تمامی مقادیر  $n$  به سمت مقدارتنش فن میزس در حالت همگن  $n = 0$  میل می کند، که این نقاط به ترتیب در بازه های  $1.15 < r < 1.40$  و  $1.35 < r < 1.40$  قرار دارند. همچنین در جدار میانی دارای کمترین مقدار خود و برابر صفر می شود.

### ۹-۳- بررسی دقت المان محدود در تحلیل مواد FG با بارگذاری مکانیکی

همانطور که در نتایج و شکل ها مشاهده شد، تطبیق بسیار خوبی میان نتایج حاصل از دو روش وجود دارد. در اینجا به عنوان نمونه نتایج عددی دو روش تحلیلی (دقیق) و روش المان محدود در کره های تحت فشار داخلی و انتقال حرارت پایدار برای چند مقدار دلخواه از شعاع کره در جداول زیر برای دو حالت  $n = -1$  و  $n = 1$  آورده شده است.

در این جداول  $\%Error$  نشان دهنده درصد خطا میان نتایج تحلیلی و المان محدود می باشد که مطابق رابطه زیر تعریف می شود:

$$\%Error = \left| \frac{Anal. - FEM}{Anal.} \right| 100 \quad (45-3)$$

جدول ۳-۱: مقایسه‌ی نتایج تحلیلی و المان محدود برای  $n = -1$  کره تحت انتقال حرارت

r	Type	$\frac{T}{T_i}$		$u_r * 1000$		$\frac{\sigma_r}{p}$		$\frac{\sigma_\phi}{p}$	
		Value	%Err	value	%Err	Value	%Err	value	%Err
1	Anal.	1.00000	0	0.66977	0.00572	-1.00000	0.03888	0.67776	0.28864
	FEM	1.00000		0.66981		-0.99961		0.67972	
1.0875	Anal.	0.81036	0.01902	0.64972	0.00311	-0.73310	0.02460	0.76688	0.02103
	FEM	0.81052		0.64970		-0.73328		0.76672	
1.1875	Anal.	0.61148	0.02158	0.62312	0.00099	-0.48683	0.03391	0.81198	0.01272
	FEM	0.61162		0.62311		-0.48699		0.81187	
1.2875	Anal.	0.42870	0.02658	0.59488	0.00024	-0.29169	0.04892	0.82416	0.00791
	FEM	0.42881		0.59489		-0.29184		0.82410	
1.3875	Anal.	0.25959	0.03682	0.56649	0.00114	-0.13687	0.08734	0.81890	0.00549
	FEM	0.25968		0.56650		-0.13699		0.81885	
1.5	Anal.	0.08333	0	0.53548	0.00241	0.00000	----	0.80236	0.78734
	FEM	0.08333		0.53550		0.00009		0.80867	

جدول ۳-۲: مقایسه‌ی نتایج تحلیلی و المان محدود برای  $n = 1$  کره تحت انتقال حرارت

r	Type	$\frac{T}{T_i}$		$u_r * 1000$		$\frac{\sigma_r}{p}$		$\frac{\sigma_\phi}{p}$	
		value	%Err	value	%Err	Value	%Err	value	%Err
1	Anal.	1	0	0.51872	0.02139	-1	0.00300	0.13829	1.1281
	FEM	1		0.51883		-0.99997		0.13673	
1.0875	Anal.	0.74516	0.07679	0.51197	0.03757	-0.80773	0.01459	0.34923	0.06286
	FEM	0.74574		0.51216		-0.80785		0.34901	
1.1875	Anal.	0.52008	0.07952	0.50288	0.03858	-0.60100	0.01497	0.59547	0.01202
	FEM	0.52050		0.50307		-0.60109		0.59540	
1.2875	Anal.	0.34538	0.08746	0.49172	0.03975	-0.40338	0.01273	0.84718	0.00693
	FEM	0.34568		0.49192		-0.40343		0.84724	
1.3875	Anal.	0.20707	0.10594	0.47815	0.04110	-0.21159	0.00287	1.10446	0.01601
	FEM	0.20729		0.47835		-0.21159		1.10464	
1.5	Anal.	0.08333	0	0.45973	0.04140	0	-----	1.40083	0.64545
	FEM	0.08333		0.45992		0.00006		1.39179	

هرچندکه در تحلیل المان محدود تغییرات خواص مکانیکی را با تقریب ۲۰ لایه‌ی کامپوزیتی در مدل مورد نظر اعمال نموده‌ایم، اما همانطور که مشاهده می‌شود، خطای میان نتایج دو روش تحلیلی و المان محدود بسیار اندک است. به طوری که بیشترین خطأ مربوط به تنش محیطی در جدار داخلی

می باشد که مقدار آن از ۱,۵٪ تجاوز نمی کند. لذا می توان در شرایطی که شکل هندسی مسئله یا بارگذاری پیچیده باشد، از روش المان محدود با دقت مناسبی بهره جست.

## فصل ۴

تحلیل الاستیک پوسته های کروی چرخان FGM

## ۱-۴ - مقدمه

در این فصل یک کره‌ی جدار ضخیم چرخان که تحت فشار داخلی قرار دارد بررسی شده است. لذا کره در واقع تحت بارهای حجمی حاصل از دوران قرار می‌گیرد. محورهای مختصات در این فصل نیز مطابق فصول قبل در نظر گرفته می‌شود، لذا بدلیل ماهیت این نوع بار، کره تقارن خود را در راستای  $\phi$  از دست خواهد داد، در نتیجه در این حالت تنشهای محیطی  $\sigma_\theta$  و نصفالنهاری  $\sigma_\phi$  با یکدیگر برابر نبوده و در طول جداره تنش برشی ایجاد می‌شود. با در نظر گرفتن جنس کره از مواد FG معادلات تعادل و در نتیجه معادلات ناویر یک دستگاه از معادلات دیفرانسیل کوپل شده با مشتقات جزیی می‌باشد.

در این فصل از مدل FEM ارائه شده در دو فصل قبل استفاده کرده و در این قسمت نوع بارگذاری به بارگذاری حجمی تغییر داده شده است، و بررسی اثر ثابت ناهمگنی و همچنین اثر بارگذاری حجمی در توزیع تنش و جابجایی ارائه شده است.

## ۲-۴ - فرمول بندی کره‌های چرخان FGM

یک کره‌ی جدار ضخیم، با شعاع داخلی  $a$  و شعاع خارجی  $b$  و شعاع بی‌بعد  $r$  که بصورت  $r = \frac{R}{a}$  نرمالیز شده که در آن  $R$  مقداری میان  $a$  و  $b$  دارد، در نظر گرفته می‌شود. برای تحلیل فوق دستگاه مختصات  $(R, \phi, \theta)$  که مبدأ آن مرکز کره می‌باشد در نظر گرفته شده است. در این قسمت بررسی تنش‌های ایجاد شده در اثر دوران یک کره‌ی جدار ضخیم در حالت الاستیک حول محور  $Z$  (چنانچه در شکل زیر مشاهده می‌شود) ارائه شده است.

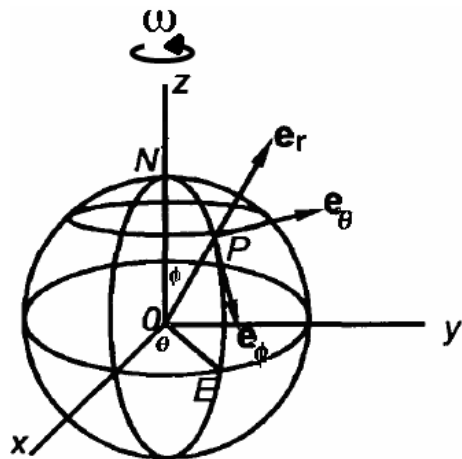
فرضیاتی که در این قسمت در نظر گرفته می‌شود، عبارتنداز:

- ۱- بارگذاری فشاری که در سطوح داخلی و خارجی کره اعمال می‌شود به صورت یکنواخت و در راستای شعاعی می‌باشد.

۲- در تحلیل پوسته‌های کروی FGM جنس کره از مواد ناهمگن و همسانگرد می‌باشد. که در آن خواص مکانیکی به جز ضریب پواسون در راستای ضخامت کره به صورت تابعی توانی از شعاع کره

تغییر می‌کند

- ۳- دوران حول محور Z و با سرعت زاویه‌ای ثابت می‌باشد.
- هندسه‌ی کره نسبت به محورهای مختصات در شکل(۱-۴) نشان داده شده است.



شکل ۱-۴: مختصات کروی

به دلیل تقارن در هندسه کره و بار گذاری متقارن  $u_\theta = 0$  می‌توان نوشت.

$$\frac{\partial}{\partial \theta} = 0 \quad (1-4)$$

اما با توجه به اینکه بار گذاری دورانی نیز بر کره اعمال می‌شود، کره به بیضی‌گون تبدیل شده ولذا

در راستای نصفانهاری، کره تقارن ندارد.  $(\frac{\partial}{\partial \phi} \neq 0)$

لذا تانسور تنش و بردار جابجایی در یک کره ی جدار ضخیم به صورت روابط زیر ارائه می‌شود

$$[\sigma_{ij}] = \begin{bmatrix} \sigma_r & \tau_{r\phi} & 0 \\ \tau_{r\phi} & \sigma_\phi & 0 \\ 0 & 0 & \sigma_\theta \end{bmatrix} \quad (2-4)$$

$$[u_i] = \begin{cases} u_r \\ u_\phi \\ 0 \end{cases} \quad (3-4)$$

تغییرات مدول الاستیسیته و دانسیته برای مواد FG به صورت تابعی توانی از شعاع کره به صورت

زیر فرض می‌شود:

$$E(r) = E_i r^{n_1}, \quad \rho(r) = \rho_i r^{n_4} \quad (4-4)$$

که در آن  $n_1, n_4$  ثابت ناهمگنی می‌باشند. با جایگذاری  $r=1$  در رابطه‌ی بالا می‌توان  $E_i$  و  $\rho_i$  را

که به ترتیب مدول الاستیسیته و دانسیته در جدار داخلی کره می‌باشند را بدست آورد. همچنین

ضریب پواسون ثابت در نظر گرفته می‌شود.

### ۳-۴ - تحلیل المان محدود

مدل FEM ارائه شده در فصل ۲ را درنظر گرفته در این قسمت نوع بارگذاری به بارگذاری حجمی

تغییر می‌یابد.

لذا برای اعمال شرایط مرزی دو نوع بارگذاری لحاظ شده است. الف- بارگذاری فشاری در سطح

داخلی کره ب- بارگذاری حاصل از نیروی حجمی(دورانی) که در آن بردار سرعت زاویه‌ای در راستای

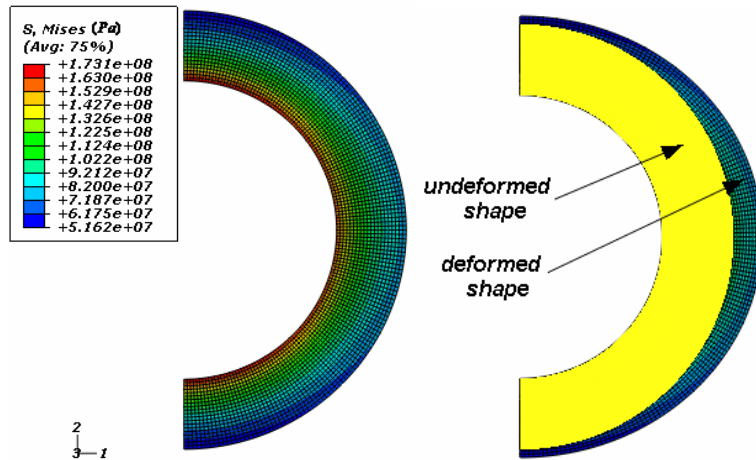
$Z$  می‌باشد. گره‌های مربوط به مرز افقی که امتداد آن از مرکز کره می‌گذرد بواسطه‌ی تقارن در راستای

عمودی مقید شده‌اند.

شکل ۲-۴ تغییر شکل و توزیع تنش‌های فن‌میسز در مدل را تحت فشار داخلی ( $p=80MPa$ )

نشان می‌دهد، که در آن کره با سرعت زاویه‌ای  $\omega=1000 \text{ Rad / Sec}$  دوران می‌کند. در این شکل

ثابت ناهمگنی  $1=n_i (i=1..2)$  در نظر گرفته شده است.



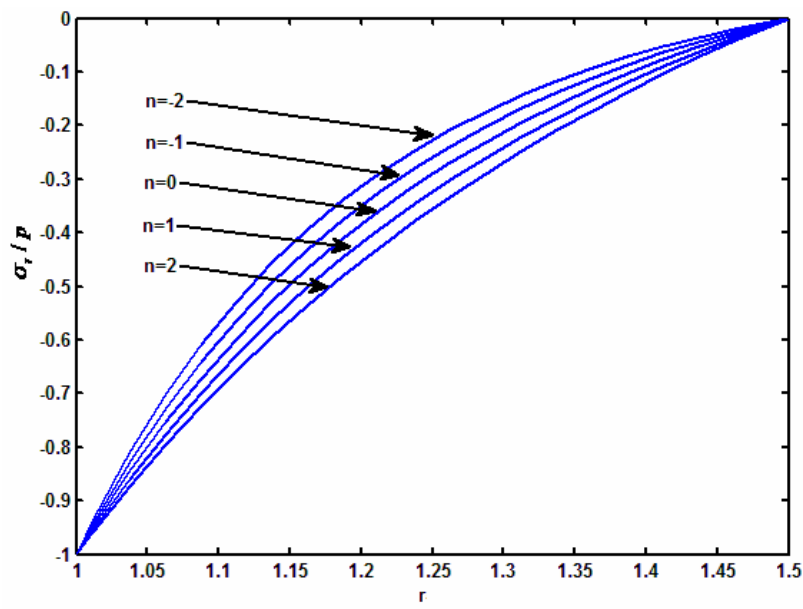
شکل ۴: تغییرات تغییرشکل و توزیع تنش فن میزس در کره ی چرخان FGM تحت فشار داخلی

#### ۴-۴- بحث و مطالعه‌ی موردی

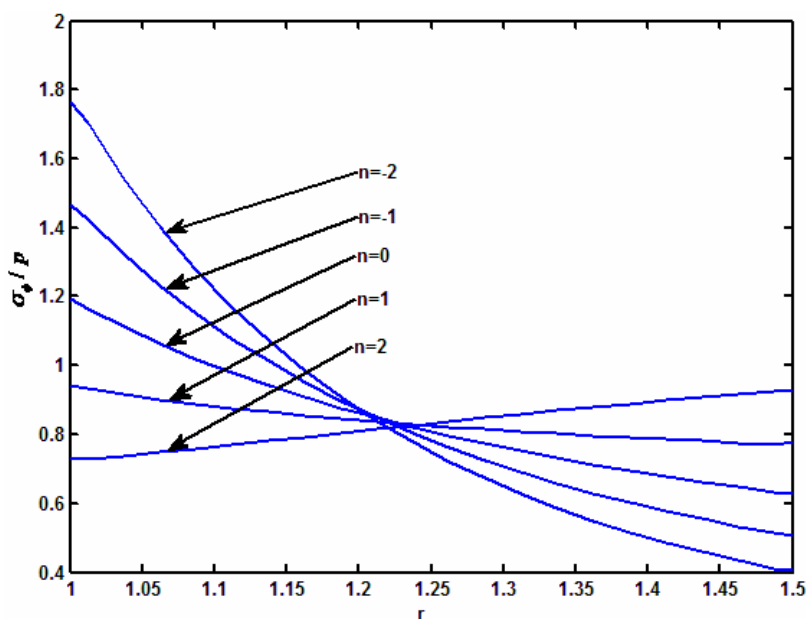
حل المان محدود ارائه شده در این فصل را می‌توان برای مثالهای مختلفی بررسی کرد. برای مطالعه‌ی موردی یک کره‌ی جدار ضخیم با شعاع داخلی  $a = 0.04\text{ m}$  و شعاع خارجی  $b = 0.06\text{ m}$  در نظر گرفته می‌شود. مدول الاستیسیته و دانسیته کره در جدار داخلی به ترتیب  $E_i = 200\text{ GPa}$  و  $\rho_i = 7860\text{ kg/m}^3$  در نظر گرفته و فرض می‌شود که ضریب پواسون برابر با  $\nu = 0.3$  باشد. در یک حالت خاص، ثابت ناهمگنی برای مدول الاستیسیته و دانسیته با هم برابر در نظر گرفته می‌شود. فشار یکنواخت داخلی برابر با  $p = 80\text{ MPa}$  فرض شده و سرعت زاویه‌ای ثابت و برابر با  $\omega = 1000\text{ Rad/sec}$  در نظر گرفته می‌شود.

(الف) تنش و جابجایی در راستای ضخامت برای  $\phi = \pi/4$  (فشار داخلی و کره‌ی چرخان)

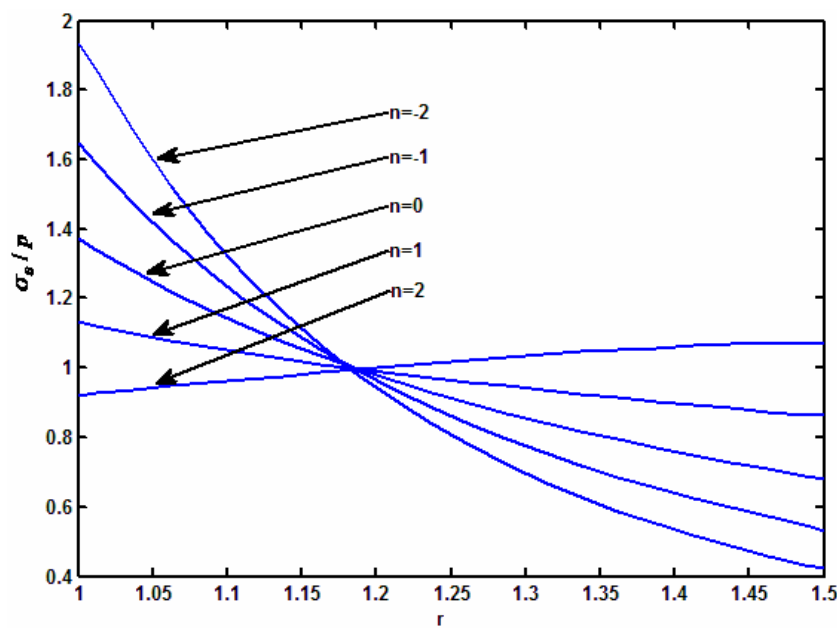
به عنوان نمونه، برای  $\phi = \pi/4$  تغییرات تنش و جابجایی در راستای ضخامت، در شکل‌های (۴-۳) تا (۴-۸) آورده شده است.



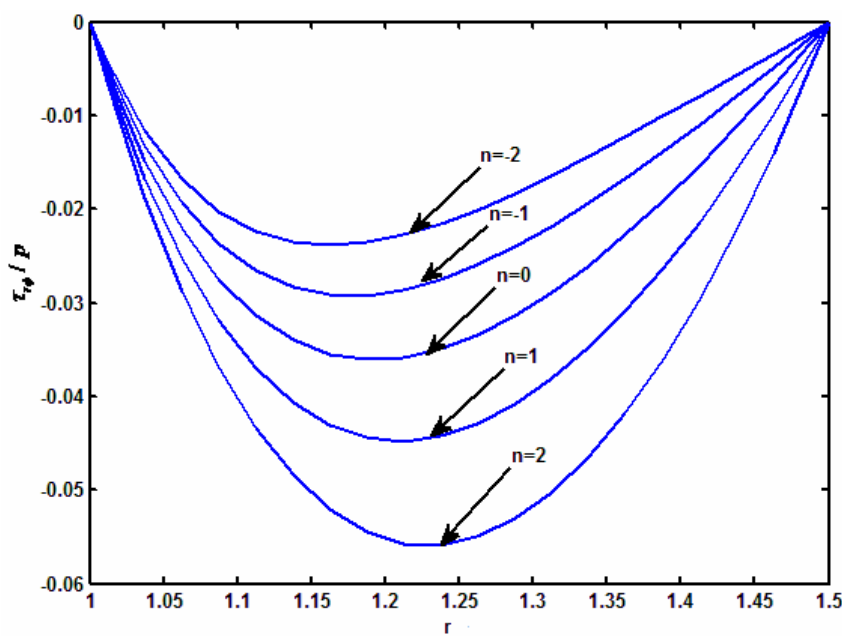
شکل ۴-۳: تغییرات تنش شعاعی در راستای ضخامت برای  $\phi = \pi / 4$



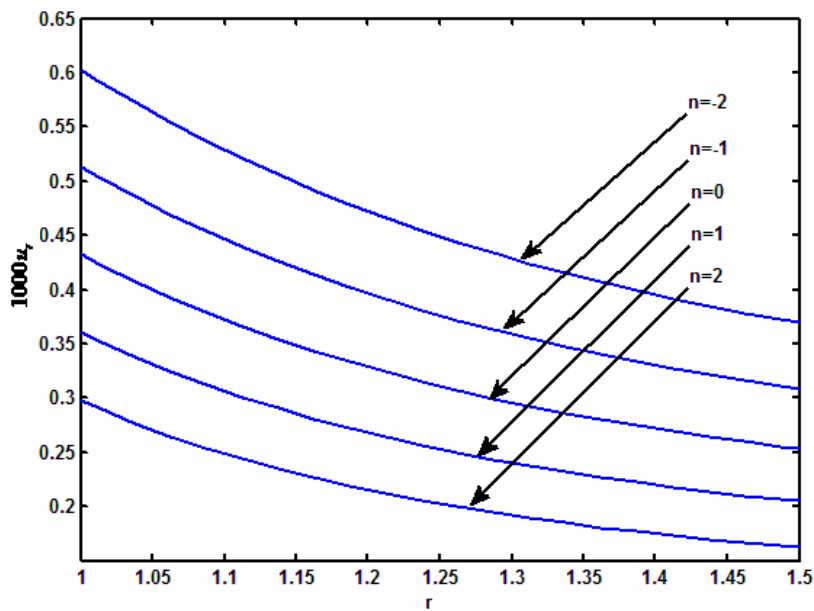
شکل ۴-۴: تغییرات تنش نصفالنهاری در راستای ضخامت برای  $\phi = \pi / 4$



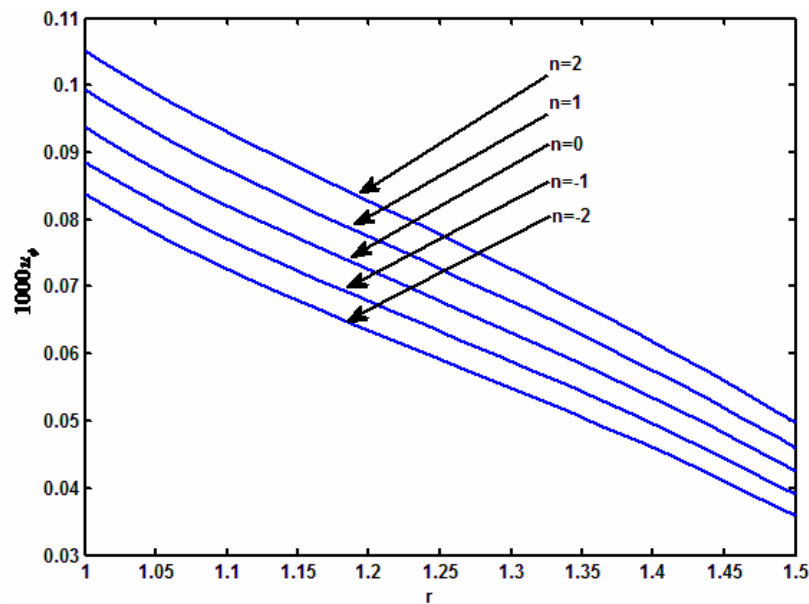
شکل ۴-۵: تغییرات تنش محیطی در راستای ضخامت برای  $\phi = \pi / 4$



شکل ۴-۶: تغییرات تنش برشی در راستای ضخامت برای  $\phi = \pi / 4$



شکل ۴-۷: تغییرات جابجایی شعاعی در راستای ضخامت برای  $\phi = \pi / 4$

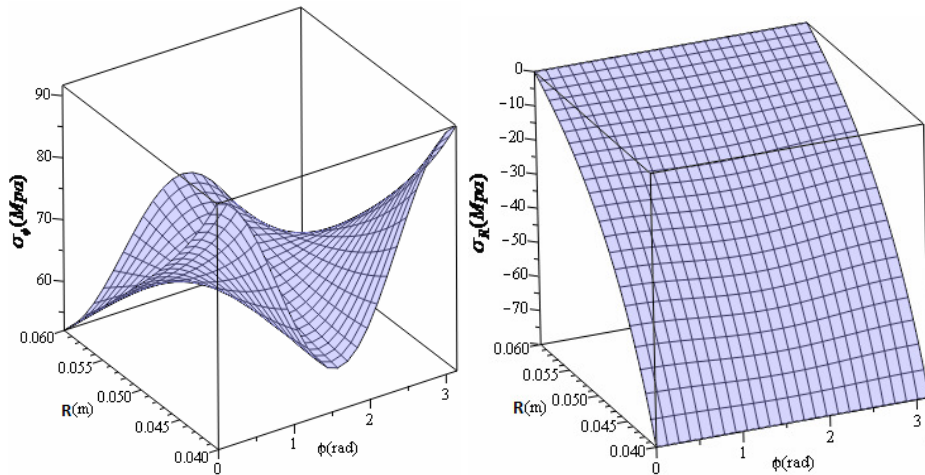


شکل ۴-۸: تغییرات جابجایی نصفالنهاری در راستای ضخامت برای  $\phi = \pi / 4$

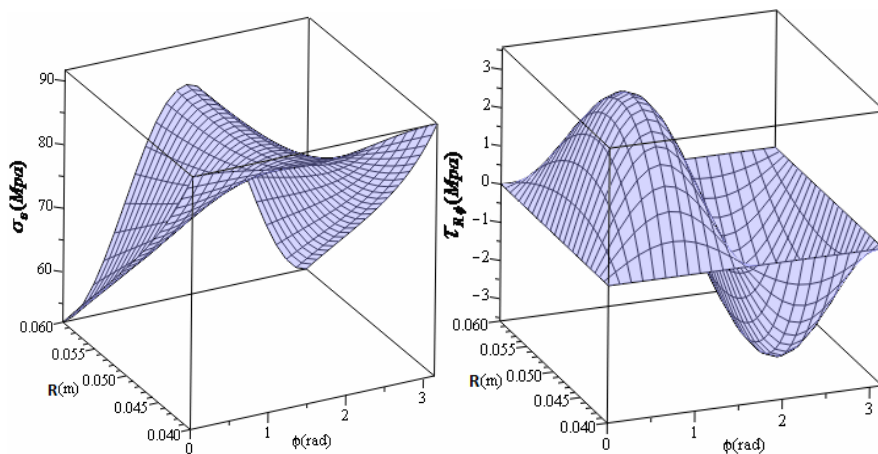
همانطور که در این شکل‌ها مشاهده می‌شود ثابت ناهمگنی  $n$  در توزیع تنش و جابجایی تاثیر زیادی دارد. به طوری که به عنوان مثال در شکل‌های (۳-۴) و (۸-۴) کاهش  $n$  باعث کاهش

تنش شعاعی و تنش برشی و همچنین جابجایی نصفالنهاری می‌شود، در حالی که برای تنش‌های محیطی و نصفالنهاری کاهش  $n$  منجر به کاهش تنش در جدار داخلی و افزایش تنش در جدار خارجی می‌شود و برای جابجایی شعاعی کاهش ثابت ناهمگنی باعث افزایش آن می‌شود. نحوه تغییرات در تنش نصفالنهاری در راستای ضخامت مشابه تغییرات در راستای محیطی است، هرچند از لحاظ عددی مقادیر تنش با هم متفاوت می‌باشند. مطابق شکل (۶-۴) تنش برشی در مرزهای داخلی و خارجی صفر بوده و در لایه‌های میانی با افزایش ثابت ناهمگنی مقدار تنش برشی از لحاظ اندازه افزایش می‌یابد.

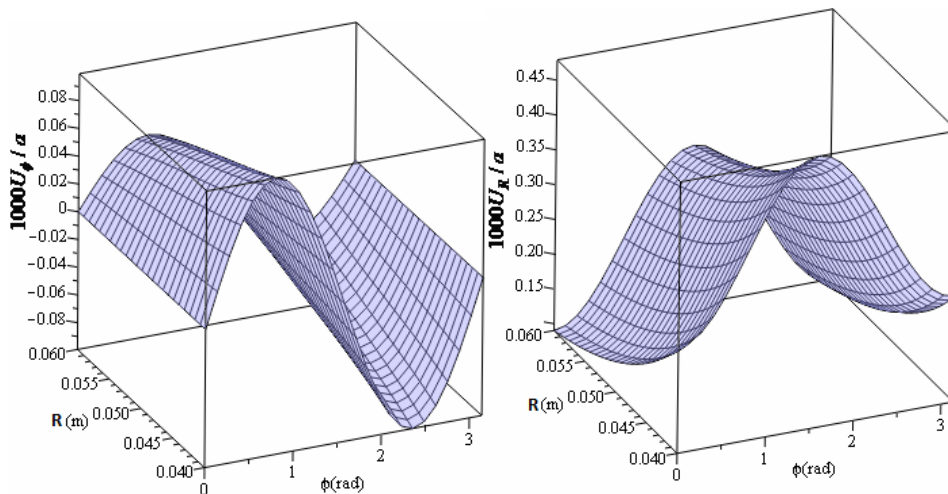
ب) بررسی تغییرات تنش و جابجایی و اثر دوران و فشار داخلی در توزیع آن برای  $n=1$  برای مطالعه تغییرات تنش و جابجایی در راستای  $\phi$ ، و همچنین مطالعه اثر دوران در توزیع آن با در نظر گرفتن  $n=1$  (به عنوان نمونه)، شکل‌های (۹-۴) تا (۱۱-۴) آورده شده‌است.



شکل ۹-۴: تغییرات تنش شعاعی و نصفالنهاری برای  $n = 1$



شکل ۱۰-۴: تغییرات تنش برشی و محیطی برای  $n = 1$



شکل ۱۱-۴: تغییرات جابجایی شعاعی و نصفالنهاری برای  $n = 1$

همانطور که در این شکل‌ها مشاهده می‌شود تغییرات تنش و جابجایی‌ها در راستای  $\phi$  به صورت

توابع سینوسی یا کسینوسی می‌باشد. البته این نوع تغییرات بدلیل پریودیک بودن بارهای حجمی دور از انتظار نیست. هرچند تغییرات تنش شعاعی بدلیل شرایط مرزی در جدار داخلی و خارجی مستقل از  $\phi$  می‌باشد، اما این تغییرات در راستای  $\phi$  به طور یکنواخت و پریودیک در لایه‌های میانی افزایش می‌یابد. لذا می‌توان گفت که تنش برشی و جابجایی نصفالنهاری  $u_\phi$ ، تغییراتی سینوسی و سایر تنش‌ها و جابجایی شعاعی تغییراتی کسینوسی در راستای  $\phi$  دارند. مطابق شکل (۹-۴) شرایط مرزی

در بارگذاری فشاری داخلی در مورد تنش فشاری کاملاً ارضا شده است. اما همانطور که مشاهده می‌شود بارگذاری دوارنی اثر کمتری در این تنش دارد. تغییرات تنش محیطی در جدار داخلی در راستای نصفالنهاری عکس تغییرات آن در جدار خارجی می‌باشد. در شکل (۴-۱۰) تنش برشی در جدار داخلی و خارجی صفر بوده و همچنین در زوایای  $\phi = \pi/2$  مقدار این تنش صفر است. در زوایای  $\phi = \pi/4, 3\pi/4$  تنش برشی بیشترین مقدار خود را دارد.

به طور خلاصه در جدول زیر برای بررسی دقیق‌تر نتایج عددی برای چند نقطه بحرانی از کره‌ی چرخان تحت فشار آورده شده است. مطابق نتایج این جدول بزرگ‌ترین تنش‌ها مربوط به تنش‌های محیطی و نصفالنهاری می‌باشد که در جدار داخلی و در زاویه‌ی  $\theta = 0$  رخ می‌دهد. مقادیر تنش‌های نصفالنهاری و محیطی در  $\theta = 0$  یکسان می‌باشد. اما همانطور که در بخش قبل مشاهده شده با توجه به پیچیدگی تغییرات دو بعدی در مولفه‌های تنش و اثرات ثابت ناهمگنی در توزیع مولفه‌های تنش، تصمیم گیری برای طراحی سازه‌های FGM و کنترل تنش در این مواد را دشوار می‌کند.

جدول ۵- نتایج عددی تحلیل کره در لایه‌های داخلی، میانی و خارجی برای  $n = 1$

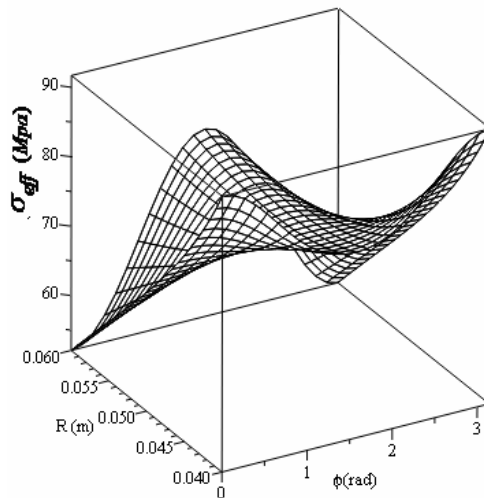
$\phi(Rad)$	$\sigma_r [MPa]$			$\sigma_\theta [MPa]$			$\sigma_\phi [MPa]$		
	inner	middle	outer	inner	middle	outer	inner	middle	outer
0	-80	-24.741	0	91.690	69.176	52.082	91.690	69.176	52.082
$\pi/4$	-80	-25.865	0	90.593	77.209	68.666	75.307	66.025	61.583
$\pi/2$	-80	-26.989	0	89.497	85.243	85.250	58.925	62.874	71.084

## FG - ۵-۴ - بررسی توزیع تنش موثر در مواد

با درنظر گرفتن رابطه‌ی (۴-۲) و (۴-۹) رابطه‌ی تنش فن میزس در یک کره‌ی چرخان به صورت زیر می‌باشد.

$$\sigma_{eff} = \frac{1}{\sqrt{2}} \sqrt{(\sigma_r - \sigma_\phi)^2 + (\sigma_\phi - \sigma_\theta)^2 + (\sigma_r - \sigma_\theta)^2 + 3\tau_{r\phi}^2} \quad (5-4)$$

با درنظر گرفتن رابطه‌ی (۵-۴) و همچنین با توجه به مطالب ارائه شده در بخش قبل نمودار مربوط به تنش موثر در حالتی که  $n=1$  باشد در شکل (۱۲-۴) آورده شده است. همانطور که در این شکل مشاهده می‌شود بیشترین تنش فن میزس در جدار داخلی و در زوایای  $\phi = 0, \pi/2$  رخ می‌دهد. و کمترین تنش در جدار خارجی و در زوایای  $\phi = 0, \pi/2$  رخ می‌دهد. لذا بیشترین تغییرات تنش فن میزس در راستای ضخامت، در زوایای  $\phi = 0, \pi/2$  و کمترین تغییرات تنش در راستای ضخامت، در زاویه  $\phi = \pi/4$  اتفاق می‌افتد. لذا منطقه‌ی بحرانی در جدار داخلی و در در زوایای  $\phi = 0, \pi/2$  قرار دارد که در طراحی این نوع سازه‌ها می‌بایست به آن توجه کرد.



شکل ۱۲-۴: تغییرات تنش فن میزس (کره‌ی چرخان تحت فشار داخلی)  $n=1$

## فصل ۵

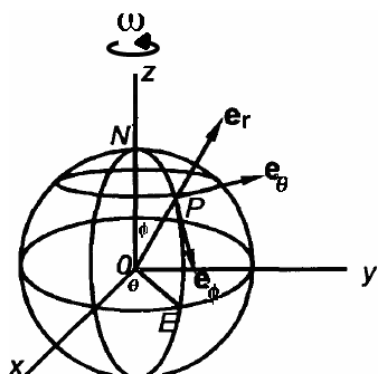
تحلیل ترمولاستیک کره‌های جدار ضخیم چرخان

## ۱-۵ - مقدمه

در این فصل یک کره‌ی جدار ضخیم چرخان که تحت فشار داخلی و تحت انتقال حرارت پایدار قرار دارد مورد مطالعه قرار داده می‌شود. با در نظر گرفتن جنس کره از مواد FG معادلات تعادل و در نتیجه معادلات ناویر یک دستگاه از معادلات دیفرانسیل کوپل شده با مشتق‌ات جزیی می‌باشند. لذا در این فصل نیز از مدل FEM ارائه شده در فصل قبل استفاده کرده و در این قسمت نوع بار گذاری، به بارگذاری حجمی تغییر می‌یابد، و به بررسی اثر ثابت در توزیع تنش و جابجایی پرداخته می‌شود.

## ۲-۵ - فرمول بندی کره‌های چرخان FGM

یک کره‌ی جدار ضخیم، با شعاع داخلی  $a$  و شعاع خارجی  $b$  و شعاع بی‌بعد  $r$  که بصورت  $r = \frac{R}{a}$  نرمالیز شده که در آن  $R$  مقداری میان  $a$  و  $b$  دارد، درنظر گرفته می‌شود. برای تحلیل فوق دستگاه مختصات  $(R, \phi, \theta)$  که مبدأ آن مرکز کره می‌باشد در نظر گرفته شده است. در این قسمت به بررسی تنش‌های ایجاد شده در اثر دوران یک کره‌ی جدار ضخیم در حالت الاستیک حول محور Z (چنانچه در شکل زیر مشاهده می‌کنیم) می‌پردازیم. هندسه‌ی کره نسبت به محورهای مختصات در شکل(۱) نشان داده شده است.



شکل ۱-۵: مختصات کروی

فرضیاتی که در این قسمت در نظر گرفته ایم عبارتند از:

۱- بارگذاری فشاری و در راستای شعاعی می باشد.

۲- در تحلیل پوسته های کروی FGM جنس کره از مواد ناهمگن و همسانگرد می باشد. که در آن

خواص مکانیکی به جز ضریب پواسون در راستای ضخامت کره به صورت تابعی توانی از شعاع کره

تغییر می کند.

۳- انتقال حرارت به صورت یک بعدی و در شرایط دما-حالت پایدار صورت می گیرد.

۴- شرایط مرزی دمایی در سطح داخل و خارج به صورت کلی در نظر گرفته می شود.

۵- دوران حول محور Z و با سرعت زاویه ای ثابت می باشد.

به دلیل تقارن در هندسه کره و بارگذاری متقارن  $u_\theta = 0$  و می توان نوشت.

$$\frac{\partial}{\partial \theta} = 0 \quad (1-5)$$

لذا تانسور تنش و جابجایی در یک کره ای جدار ضخیم به صورت روابط زیر ارائه می شود.

$$[\sigma_{ij}] = \begin{bmatrix} \sigma_r & \tau_{r\phi} & 0 \\ \tau_{r\phi} & \sigma_\phi & 0 \\ 0 & 0 & \sigma_\theta \end{bmatrix} \quad (2-5)$$

$$[u_i] = \begin{Bmatrix} u_r \\ u_\phi \\ 0 \end{Bmatrix} \quad (3-5)$$

تغییرات مدول الاستیسیته، ضریب انبساط حرارتی، ضریب انتقال حرارت هدایت و دانسیته برای

مواد FG به صورت تابعی توانی از شعاع کره به صورت زیر فرض می شود.

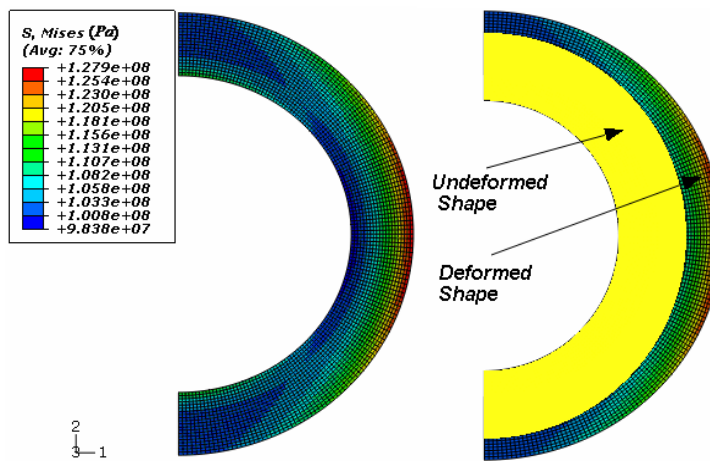
$$E(r) = E_i r^{n_1}, \alpha(r) = \alpha_i r^{n_2}, \lambda(r) = \lambda_i r^{n_3}, \rho(r) = \rho_i r^{n_4} \quad (4-5)$$

که در آن و  $n_i (i=1..4)$  ثابت ناهمگنی می‌باشند. با جایگذاری  $r=1$  در رابطه‌ی بالا می‌توان  $E_i$ ,  $\alpha_i$ ,  $\lambda_i$  و  $\rho_i$  را که به ترتیب مدول الاستیسیته، ضریب انبساط حرارتی، ضریب انتقال حرارت هدایتی و دانسیته در جدار داخلی کره می‌باشند را بدست آورد. همچنین ضریب پواسون ثابت در نظر گرفته می‌شود.

### ۳-۵ - تحلیل المان محدود

در این حالت نوع حل از حالت استاتیک به حالت دما-حالت پایدار تغییر می‌یابد. برای اعمال شرایط مرزی سه نوع بارگذاری لحاظ شده‌است. الف-بارگذاری فشاری در سطح داخل کره ب-بارگذاری حاصل از نیروی حجمی(دورانی) که در آن بردار سرعت زاویه‌ای در راستای  $Z$  می‌باشد. ج-بارگذاری حاصل از کوپل دمائی را می‌توان با تعریف شرایط مرزی دمایی را به مدل اضافه کرد. که می‌توانند به صورت کلی با تعریف ضریب انتقال حرارت جابجایی محیط و یا به صورت خاص با اعمال دما در سطح داخل و خارج باشد. المان‌های مورد استفاده در تحلیل، از نوع CAE8RHT می‌باشند. گره‌های مربوط به مرز افقی که امتداد آن از مرکز کره می‌گذرد بواسطه‌ی تقارن در راستای عمودی مقید شده‌اند.

شکل(۲-۵) تغییر شکل و توزیع تنش‌های فن میزس در مدل را تحت فشار داخلی  $p=80MPa$ ) نشان می‌دهد در آن دمای سطح داخلی  $T_i = 300(^oC)$  و دمای سطح خارجی  $T_o = 25(^oC)$  و ثابت ناهمگنی  $n_i (i=1..4) = 1$  در نظر گرفته شده است. و کره با سرعت زاویه‌ای  $\omega=1000(Rad / Sec)$  دوران می‌کند.



شکل ۵-۲: تغییرشکل و توزیع تنش فن میزس در کره‌ی چرخان FGM تحت فشار داخلی و انتقال حرارت پایدار

#### ۴-۵- بحث و مطالعه‌ی موردی

حل المان محدود ارائه شده در این فصل را می‌توان برای مثالهای مختلفی بررسی کرد. برای مطالعه‌ی موردی یک کره‌ی جدار ضخیم با شعاع داخلی  $a = 0.04m$  و شعاع خارجی  $b = 0.06m$  در نظر گرفته می‌شود. مدول الاستیسیته، ضریب انبساط حرارتی و دانسیته‌ی کره در جدار داخلی به

$$\text{ترتیب } \rho_i = 7860 \text{ kg/m}^3, \alpha = 1.2 \times 10^{-6}, E_i = 200 \text{ GPa} \quad \text{و } \frac{1}{\sigma C}$$

که ضریب پواسون برابر با  $\nu = 0.3$  باشد. در یک حالت خاص، ثابت ناهمگنی برای مدول الاستیسیته و

ضریب انبساط حرارتی و همچنین ضریب انتقال حرارت هدایتی با هم برابر

$$(n_1 = n_2 = n_3 = n_4 = n) \quad \text{فرض می‌شود.}$$

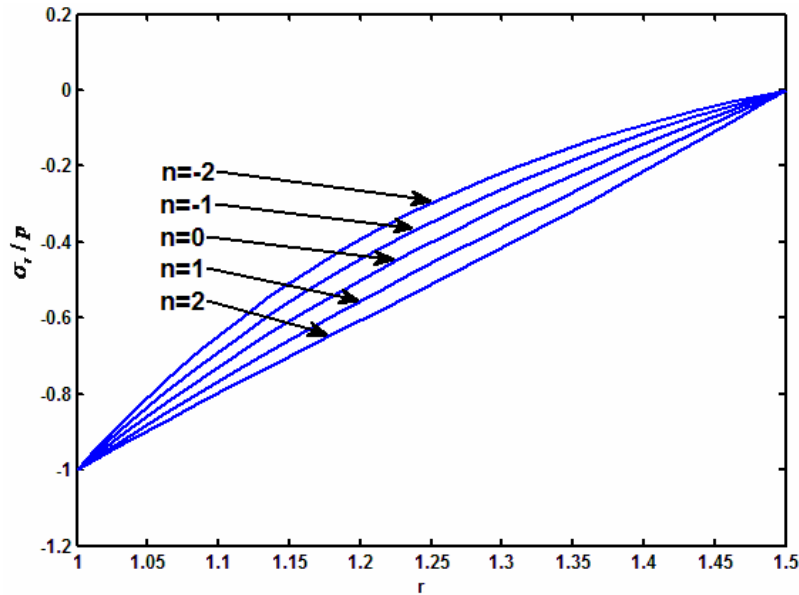
فشار یکنواخت داخلی برابر با  $(p = 80 \text{ MPa})$  فرض شده و سرعت زاویه‌ای ثابت و برابر

با  $\omega = 1000 \text{ Rad/sec}$  در نظر گرفته می‌شود. همچنین دمای سطح داخلی  $T_i = 300^\circ \text{C}$  و دمای سطح

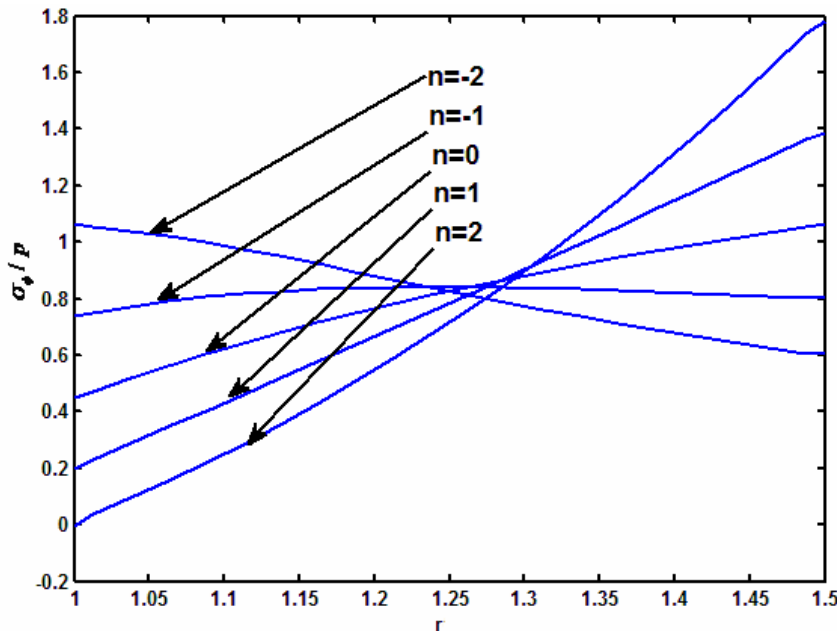
خارجی دمای محیط  $T_o = 25^\circ \text{C}$  باشد.

الف) بررسی تغییرات تنش و جابجایی در راستای ضخامت برای  $\phi = \pi/4$

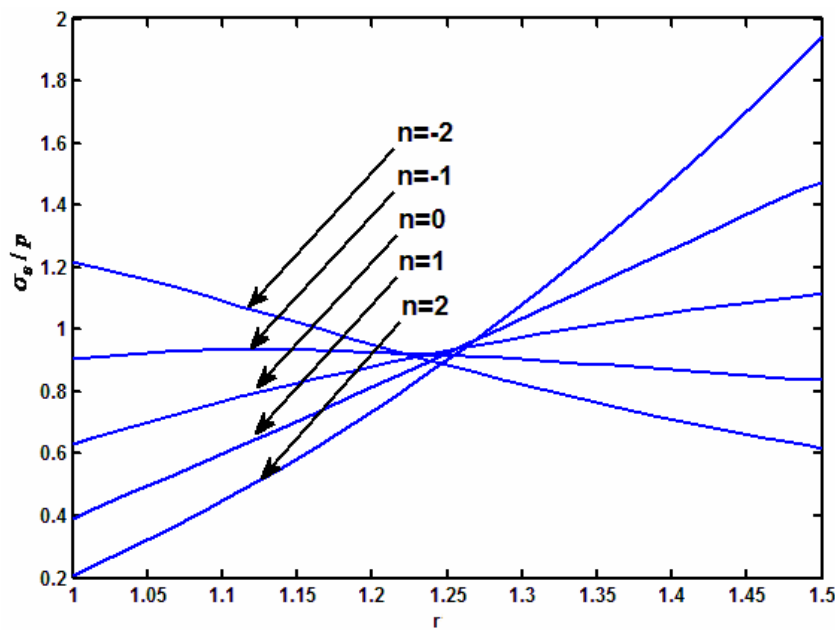
به عنوان نمونه، برای  $\phi = \pi/4$  تغییرات تنش و جابجایی در راستای ضخامت در شکل‌های (۳) تا (۸-۵) آورده شده است.



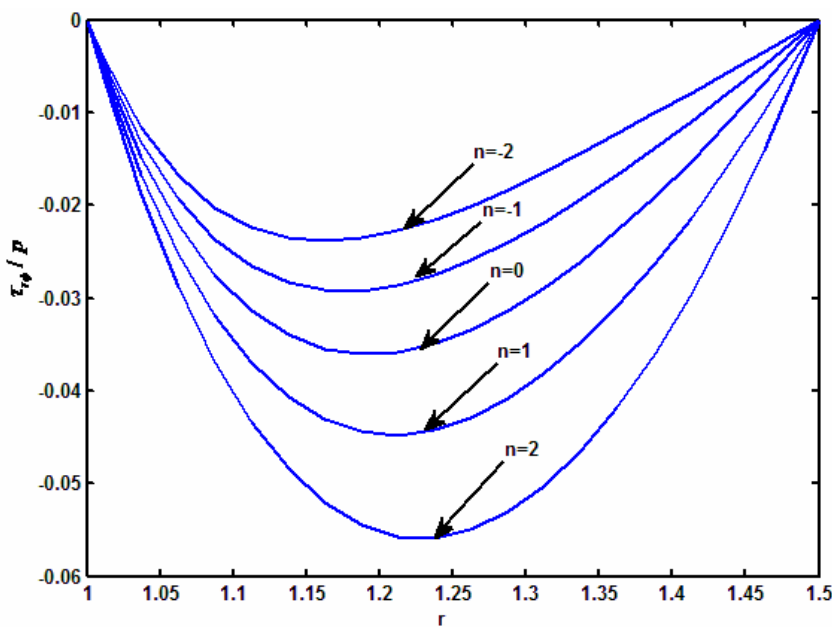
شکل ۳-۵: تغییرات تنش شعاعی در راستای ضخامت برای  $\phi = \pi/4$



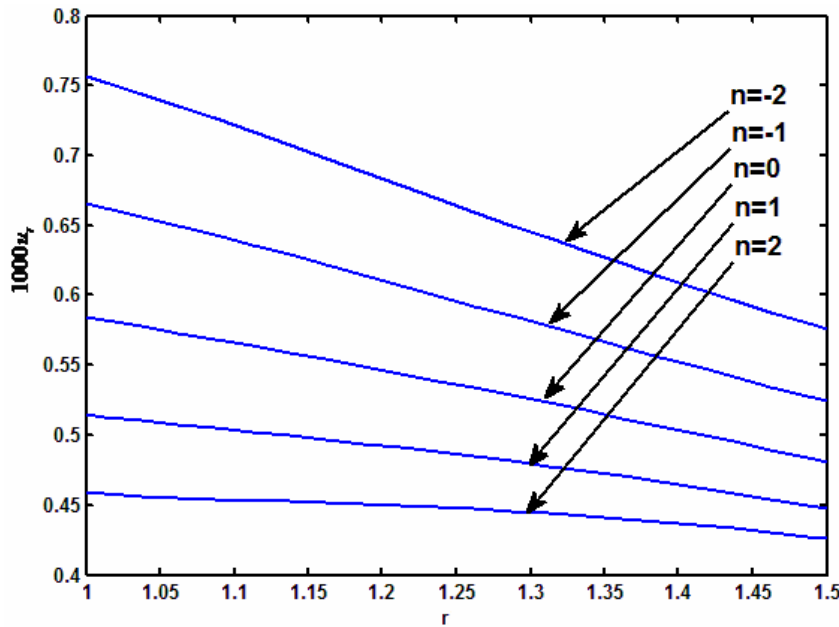
شکل ۵-۴: توزیع تنش نصفالنهاری در راستای ضخامت برای  $\phi = \pi/4$  (کره‌ی چرخان تحت فشار و دما)



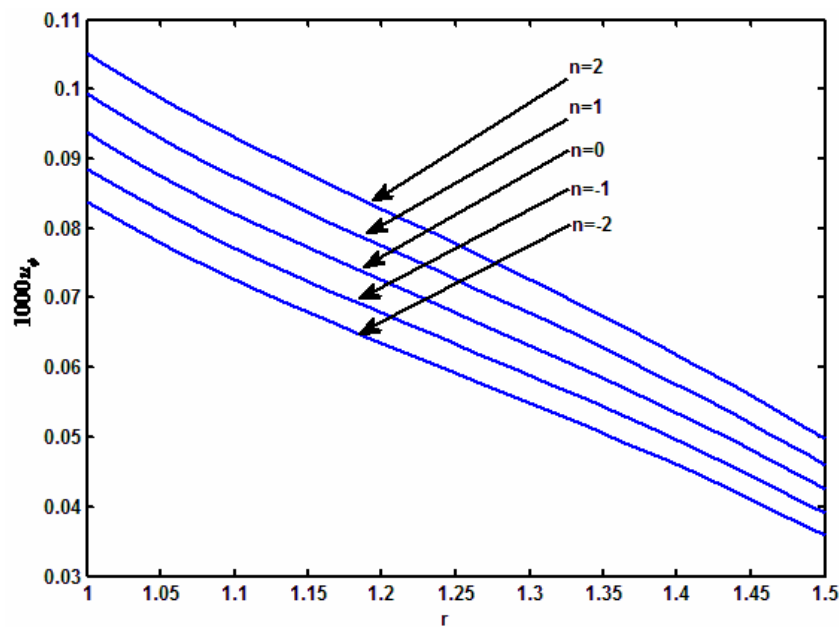
شکل ۵: توزیع تنش محیطی در راستای ضخامت برای  $\phi = \pi/4$  (کره‌ی چرخان تحت فشار و دما)



شکل ۶: تغییرات تنش برشی در راستای ضخامت برای  $\phi = \pi/4$  (کره‌ی چرخان تحت فشار و دما)



شکل ۵-۷: توزیع جابجایی شعاعی در راستای ضخامت برای  $\phi = \pi/4$  (کره‌ی چرخان تحت فشار و دما)



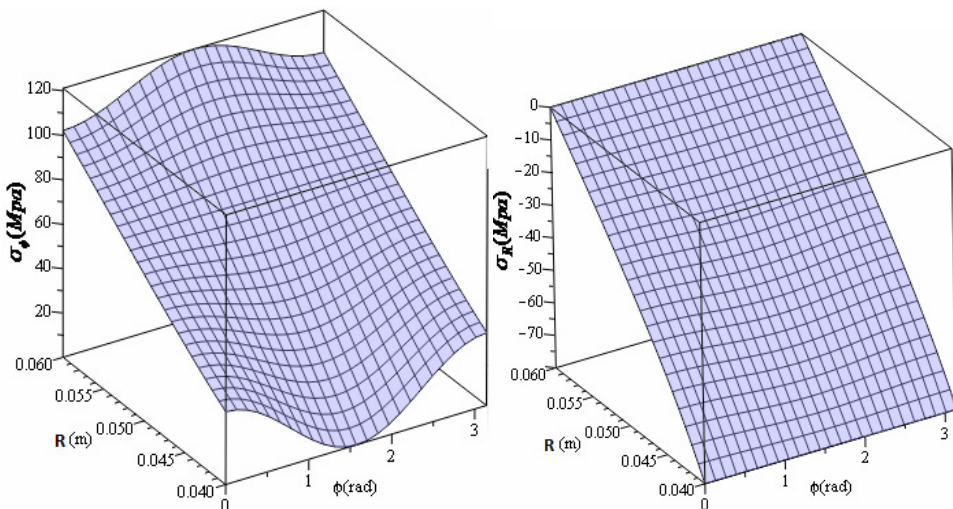
شکل ۵-۸: جابجایی نصفالنهاری در راستای ضخامت برای  $\phi = \pi/4$  (کره‌ی چرخان تحت فشار و دما)

همانطور که در این شکل‌ها مشاهده می‌شود ثابت ناهمگنی  $n$  در توزیع تنش و جابجایی تاثیر زیادی دارد. به طوری که به عنوان مثال در شکل‌های (۳-۵) و (۶-۵) افزایش  $n$  باعث کاهش تنش

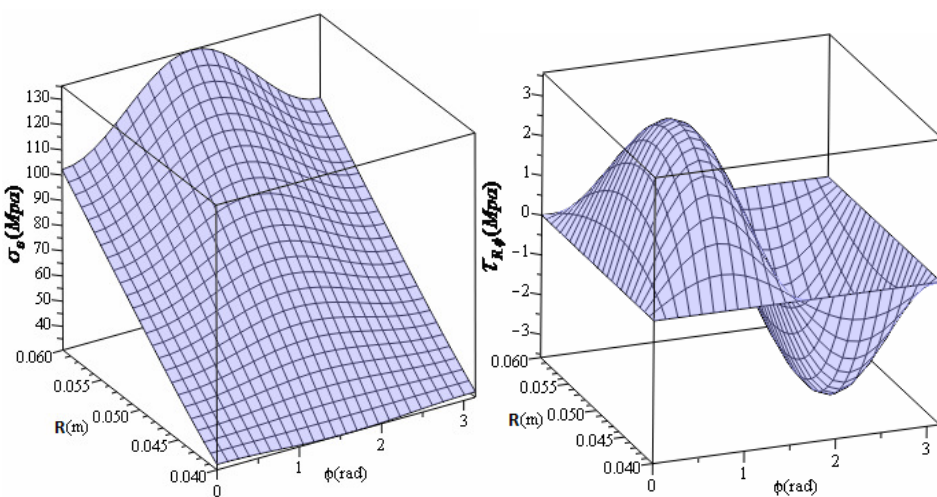
شعاعی و تنش برشی می‌شود، در حالی که برای تنش‌های محیطی و نصفالنهاری افزایش  $n$  باعث کاهش تنش در جدار داخلی، و افزایش تنش در جدار خارجی می‌شود و برای جابجایی شعاعی افزایش ثابت ناهمگنی باعث کاهش آن می‌شود. همچنین با توجه به شکل (۸-۵) افزایش ثابت ناهمگنی باعث افزایش جابجایی نصفالنهاری می‌شود.

### ب) بررسی تغییرات تنش و جابجایی در راستای $\phi$ برای $n=1$

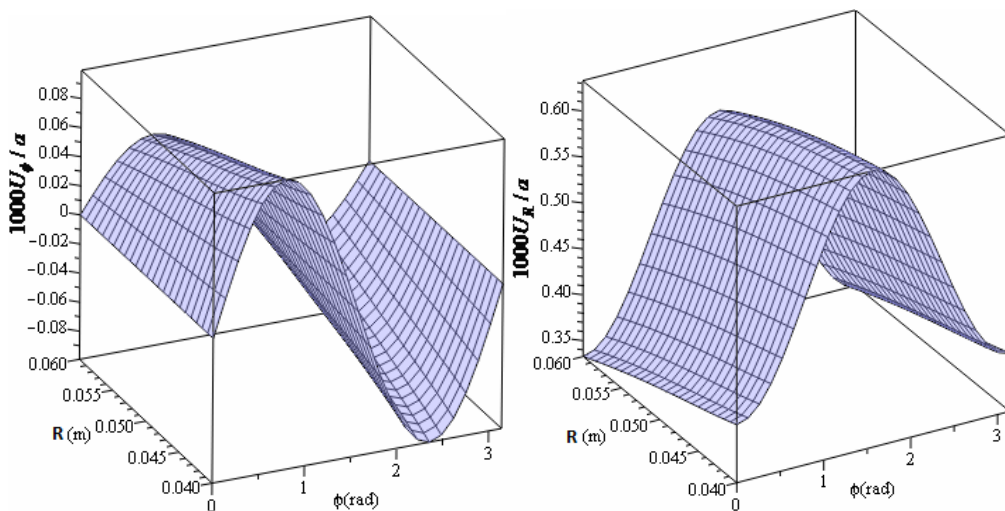
برای مطالعه‌ی تغییرات تنش و جابجایی در راستای  $\phi$ ، با در نظر گرفتن  $n=1$  (به عنوان نمونه)، شکل‌های (۹-۵) تا (۹-۸) آورده شده‌است.



شکل ۹-۵: تغییرات تنش شعاعی و نصفالنهاری برای  $n=1$  (کره‌ی چرخان تحت فشار و دما)



شکل ۱۰-۵: تغییرات تنش برشی و محیطی برای  $n = 1$  (کره‌ی چرخان تحت فشار و دما)



شکل ۱۱-۵: تغییرات جابجایی شعاعی و نصفالنهاری برای  $n = 1$  (کره‌ی چرخان تحت فشار و دما)

این رفتار مشابه شکل‌های (۹-۴) تا (۱۱-۴) است.

## فصل ٦

نتیجەگىرى و پىشىنەدادها

## ۱-۶ - مقدمه

مخازن کروی، به دلیل تقارن در هندسه، قابلیت توزیع مناسب تنش‌های ایجاد شده در اثر انواع بارگذاری‌های متقارن (مکانیکی، دمایی و حجمی) از مقاومت بالایی برخوردار هستند. به طوری که این نوع سازه‌ها کاربرد فراوانی در صنعت دارند. دست یابی به روش‌های مختلف تحلیل این گروه از پوسته‌ها، ماده و بارگذاری‌های متنوع، مورد علاقه‌ی پژوهشگران و نیاز صنعتگران بوده و همچنان می‌باشد. در این پایان‌نامه، رفتار پوسته‌های کروی جدار ضخیم از مواد همگن و ناهمگن تحت تاثیر بارگذاری‌های فشاری، دمایی و دورانی بررسی شده است. در این فصل با نگاهی گذرا به فصول قبل به طور خلاصه به جمع‌بندی و نتیجه‌گیری و پیشنهادهایی برای ادامه کار پیشنهاد می‌شود.

## ۲-۶ - نتیجه‌گیری

اگر مقایسه‌ای میان روابط ارائه شده انجام شود می‌توان به یک نتیجه‌گیری کلی که اصل جمع آثار برای بارگذاری‌های فشاری، دمایی و دورانی برقدرا است، رسید. به طوری که به عنوان مثال چون در بارگذاری حرارتی تنش برشی و جابجایی نصف النهاری ایجاد نمی‌شود لذا تنش برشی و جابجایی نصف‌النهاری در این دو فصل کانتور یکسانی دارند. لذا به طور کلی می‌توان نتیجه‌ی زیر را پوسته‌های کروی الاستیک نوشت:

تنش کلی=تنش حاصل از بارگذاری فشاری+تنش حاصل از بارگذاری حجمی+تنش حاصل از بارگذاری حرارتی  
جابجایی کلی=جابجایی حاصل از بارگذاری فشاری+جابجایی حاصل بارگذاری حجمی+جابجایی حاصل از بارگذاری حرارتی  
به طور خلاصه مواردی که می‌توان از این تحقیق نتیجه گرفت به شرح زیر می‌باشد:

- در پوسته‌های کروی تحت فشار خالص تنش فشاری مستقل از خواص مکانیکی در جدار داخلی می‌باشد، در حالی که تنش محیطی و جابجایی وابسته است.
- در بارگذاری‌های فشاری و دمایی، تنش محیطی عموماً اثر غالب را دارد.
- ثابت ناهمگنی در FGM‌ها پارامتر بسیار مفیدی از نقطه نظر طراحی می‌باشد که می‌تواند توزیع تنش را برای یک کاربردی خاص کنترل کند. همچنان می‌توان با استفاده از آن، توزیع تنش را در راستای جداره بهینه کرد، به طوری که تغییرات تنش در آن حداقل ممکن باشد.
- روش المان محدود در تحلیل مسائل مواد ناهمگن از دقت مناسبی برخوردار می‌باشد، لذا می‌توان در شرایطی که شکل هندسی مسئله یا بارگذاری پیچیده باشد از روش المان محدود با دقت مناسبی بهره جست.
- تغییرات ثابت ناهمگنی در پوسته‌های کروی FGM تاثیر چشم‌گیری در توزیع تنش شعاعی ندارد در حالیکه این تغییرات اثر قابل توجه‌ای در توزیع تنش‌های محیطی، نصف‌النهاری و برشی دارد به طوری که در شرایطی حتی باعت معکوس کردن روند تغییرات کاهشی و یا افزایشی در راستای شعاعی می‌شود.
- از آنجایی که بارگذاری دورانی در راستای شعاعی و نصف‌النهاری مولفه دارد لذا باعث ایجاد جابجایی شعاعی و نصف‌النهاری شده و در نتیجه کره تقارن خود را در راستای نصف‌النهاری از دست می‌دهد. اما همچنان می‌توان در این شرایط کره را در حالت تقارن محوری در راستای محیطی در نظر گرفت.
- توزیع تنش و جابجایی در کره‌های چرخان در راستای نصف‌النهاری به صورت پریودیک می‌باشد به طوری که این توزیع در تنش‌های برشی و جابجایی نصف‌النهاری به صورت توابع سینوسی و سایر مولفه‌ها به صورت توابع کسینوسی است.

- در بارگذاری دورانی تنش‌های محیطی و نصفالنهاری (خصوصاً تنش محیطی) تنش‌های بحرانی محسوب می‌شود که بایستی در طراحی مد نظر قرار گیرند در این میان تنش‌های برشی و شعاعی از اهمیت کمتری در طراحی برخوردار هستند.
- تغییرات جابجایی‌های شعاعی و نصفالنهاری در بارگذاری دورانی در راستای نصفالنهاری بسیار بزرگ‌تر از مقدار آن در راستای شعاعی است.
- اصل جمع آثار برای بارهای مکانیکی، ترمومکانیکی و بارهای حجمی در پوسته‌های کروی FGM در صورتی که در ناحیه‌ی الاستیک تحلیل شود صادق است.

### ۳-۶ - پیشنهادها

از کارهایی که می‌توان پیشنهاد کرد می‌توان به موارد زیر اشاره کرد:

- ۱- حل کرده FGM تحت فشار غیر یکنواخت متغیر با زمان  $p = p(\phi, t)$
- ۲- حل کرده FGM تحت فشار غیر یکنواخت سه بعدی  $p = p(r, \phi, \theta)$
- ۳- حل کرده FGM تحت انتقال حرارت گذار  $\Theta(\phi, t) = \Theta$  با تغییرات نمایی خواص
- ۴- حل تحلیلی کره‌ی چرخان تحت کوپل حرارتی و فشاری
- ۵- حل الاستو پلاستیک کره‌ی تحت فشار و دما
- ۶- تحلیل کره‌های چرخان از مواد FGM در شرایطی که خواص ماده به صورت نمایی تغییر کند.

## مراجع

- [3] Flugge, W., (1990); Stress in Shells, 2<sup>nd</sup> edition. Springer-Verlag, Berlin.
- [4] Timoshenko, S.P. (1976); Strength of Materials: Part II (Advanced Theory and Problems), 3<sup>rd</sup> ed., Van Nostrand Reinhold Co., New York.
- [5] Naghdi, P.M. Cooper R.M. (1956); Propagation of elastic waves in cylindrical shells including the effects of transverse shear and rotary inertia, J. Acoustical Sc. America., vol. 28(1), pp. 56-63.
- [6] [www.neyrperse.ir/fa](http://www.neyrperse.ir/fa)
- [7] Brown, C.B., Goodman, L.E., (1963); Gravitational stresses in accreted bodies. Proceedings of the Royal Society of London, Series A 276,
- [8] Kadish, J., Barber, J.R., Washabaugh, P.D., Scheeres, D.J., (2008); Stresses in accreted planetary bodies, International Journal of Solids and Structures., vol .45, pp. 540-550.
- [9] Koizumi, M. (1997); FGM activities in Japan, Composites: Part B(Engineering)., vol. 28, pp. 1-4.
- [10] Timoshenko, S.P., Woinowsky-Krieger, S.; (1959). Theory of Plates and Shells, 2<sup>nd</sup> edition. McGraw-Hill, New York.
- [11] Hopkinson J. (1879); Thermal stresses in a sphere, whose temperature is a function of r only, Mess. Math., vol. 8, pp. 168-175.
- [12] Cheung J.B., Chen T.S., Thirumalai K. (1974); Transient thermal stresses in a sphere by local heating, Trans ASME J. Appl. Mech., vol. 41(4), pp. 930-934.
- [13] Raju, P.P. (1975); On shallow shells of transversely isotropic materials, Trans. ASME J. Pressure Vessel Technology., vol. 97(3), pp.185-191.

- [14] Takeuti Y., Tanigawa Y. (1982); Transient thermal stresses of a hollow sphere due to rotating heat source, *J. Therm. Stresses.*, vol. 5(3-4), pp. 283-298.
- [15] Lekhnitskii S.G.(1981); *Theory of Elasticity of an Anisotropic Body*, Moscow, Mir Pub.
- [16] Tanigawa Y., (1995); Some basic thermoelastic problems for nonhomogeneous structural materials. *Appl Mech Rev*; vol. 483, pp.77–89.
- [17] Obata Y., Noda N. (1994); Steady thermal stresses in a hollow circular cylinder and a hollow sphere of a functionally gradient material, *J. Therm. Stresses*, vol. 17(3), pp. 471–487.
- [18] Tutuncu N., Ozturk M. (2001); Exact solutions for stresses in functionally graded pressure vessels, *Composites, Part B*, vol. 32, pp. 683–686.
- [19] Kim, K.S., Noda, N., (2002); Green's function approach to unsteady thermal stresses in an infinite hollow cylinder of functionally graded material. *Acta Mech*; vol.156, pp.145–61.
- [20] Praveen, G.N., Reddy, J.N., (1998). Nonlinear transient thermoelastic analysis of functionally graded ceramic–metal plates. *Int J Solids Structure*; vol. 35, pp.4457–76.
- [21] Reddy, J.N., Chin, C.D., (1998). Thermomechanical analysis of functionally graded cylinders and plates. *Int J Solids Struct*; vol. 21, pp.593–626.
- [22] Praveen, G.N., Chin, C.D., Reddy. J.N., (1999). Thermoelastic analysis of a functionally graded ceramic–metal cylinder. *ASCE J Eng Mech*; vol. 125, pp.1259–67.
- [23] Reddy, J.N., (2000). Analysis of functionally graded plates. *Int J Numer Meth Eng* ; vol. 47, pp. 663–84.

- [24] Reddy, J.N., Cheng, Z.Q., (2001). Three-dimensional thermomechanical deformations of functionally graded rectangular plates. *Eur J Mech A: Solid*; vol. 20, pp. 841–60.
- [25] Reddy, J.N., Cheng, Z.Q., (2003). Frequency of functionally graded plates with three-dimensional asymptotic approach. *J Eng Mec*; vol. 129, pp. 896–900.
- [26] You, L.H., Zhang, J.J., You, X.Y., (2004); Elastic analysis of internally pressurized thick-walled spherical pressure vessels of functionally graded materials: *Int. J. of Pressure Vessels and Piping*; vol. 82, pp. 347–354.
- [27] Eslami, M.R., Babaei, M.H., and Poultangari, R. (2005); “Thermal and mechanical stresses in a fg thick sphere”. *Int. J. of Pressure Vessels and Piping*, vol. 82, pp. 522-527.
- [28] Wang, H.M., Ding, H.J., (2006); Transient responses of a magneto-electro-elastic hollow sphere for fully coupled spherically symmetric problem. *European Journal of Mechanics A/Solids*, vol. 25, pp. 965–980.
- [29] Tutuncu, N., (2007); Stresses in thick-walled FGM cylinders with exponentially-varying properties. *Eng. Struct.* vol. 29, pp. 2032–2035.
- [30] Tutuncu, N., Temel, B., (2009); A novel approach to stress analysis of pressurized FGM cylinders, disks and spheres. *Composite Structures*. vol. 91, pp. 385–390.
- [31] Ghosh, M. K., Kanoria, M., (2009); Analysis of thermoelastic response in a functionally graded spherically isotropic hollow sphere based on Green–Lindsay theory. *Acta Mech.* vol. 207, pp. 51-67.
- [32] Ghorbanpour, A., Salari, M., Khademizadeh, H., Arefmanesh, A., (2009); Magnetothermoelastic transient response of a functionally

graded thick hollow sphere subjected to magnetic and thermoelastic fields. Arch Appl Mech. vol. 79, pp. 481–497.

[۳۳] قناد، مهدی، رحیمی، غلامحسین، سیامک، اسماعیل زاده خادم، (۱۳۸۹): حل کلی استوانه‌های جدار

ضخیم متقارن محوری ساخته شده از مواد FG با استفاده از نظریه‌ی الاستیسیته‌ی مستوی، مجله‌ی فنی

مهندسی مدرس مهندسی مکانیک، دوره ۱۰، شماره ۳، ص ص ۴۱-۳۱.

[۳۴] قناد، مهدی، رحیمی، غلامحسین، سیامک، اسماعیل زاده خادم، (۱۳۸۹): حل کلی استوانه‌های جدار

ضخیم متقارن محوری ساخته شده از مواد FG با استفاده از نظریه‌ی تغییر شکل برشی، مجله‌ی فنی مهندسی

مدرس مهندسی مکانیک، دوره ۱۰، شماره ۴، ص ص ۲۶-۱۳.

[35] Borisov A.V. (2010); Elastic analysis of multilayered thick-walled spheres under external load, Mechanika, Kaunas: Technologija, vol. 4(84), pp. 28-32.

[36] Sadd, H., (2009); Elasticity theory, applications, and numerics, 2e. Burlington, MA01803, USA.

[37] Hetnarski, B., Eslami, M.,(2009); Termal Stresses-Advanced Theory And Applications, Springer, USA.

## Abstract

Thermo-mechanical analysis of functionally graded hollow sphere subjected to rotational, mechanical loads and one-dimensional steady-state thermal stresses is carried out in this study. The material properties are assumed to vary nonlinearly in the radial direction and the Poisson's ratio is assumed constant. The temperature distribution is assumed to be a function of radius, with general thermal and mechanical boundary conditions on the inside and outside surfaces of the sphere. In the analysis presented here the effect of non-homogeneity in FGM thick sphere was implemented by choosing a dimensionless parameter, named  $n_i$  ( $i = 1..4$ ), which could be assigned an arbitrary value affecting the stresses in the sphere. It is observed that the results for  $n_i$  ( $i = 3$ ) = -1 are different from those obtained for other values of  $n_i$  ( $i = 1..4$ ). Cases of pressure, temperature and combined loadings were considered separately. Using FEM simulations, the analytical findings for FGM spheres under the influence of internal pressure and temperature gradient were compared to finite element results. Eventually, the finite element analysis was carried on the hollow rotational sphere which were considered general boundary conditions involving mechanical and thermomechanical boundary conditions. It is concluded that by changing the value of  $n_i$  ( $i = 1..4$ ), the properties of FGM can be so modified that the lowest stress levels are reached. The present results agree well with existing results. Besides, the superposition laws are validated in the hollow FGM spheres.

**Key words:** FGM, FEM, Hollow sphere, Thermoelastic, Rotational sphere.



**Shahrood University of Technology**

**Mechanical Engineering Faculty**

**Title:**

**Thermoelastic Analysis of FGM Rotating  
Thick-Walled Spheres under Internal Pressure**

**Yahya Bayat**

**Supervisor(s):**

**Dr. M. Ghannad**

**Dr. H.R. Eipakchi**

**Sep 2011**